

## Universidad de Cuenca

Facultad de Ingeniería

Carrera de Electrónica y Telecomunicaciones

Diseño e implementación de un controlador PID de ganancia programada usando técnicas de inteligencia artificial

Trabajo de titulación previo a la obtención del título de Ingeniero en Electrónica y Telecomunicaciones

Autor:

Michael Alexander Criollo Gordillo

Director:

Luis Ismael Minchala Ávila

ORCID: 0000-0003-0822-0705

Cuenca, Ecuador

2023-03-07



#### Resumen

En este trabajo se analizan tres estrategias nuevas de control que mejoran la respuesta del sistema y se comparan con el control PID clásico. La eficiencia del controlador PID depende únicamente de sus ganancias  $K_p$ ,  $K_i$  y  $K_d$ . Por ello, las estrategias mejoran el proceso de control al encontrar las ganancias óptimas de manera programada. Estos algoritmos se basan en técnicas de inteligencia artificial como la lógica difusa, recocido simulado y el método de búsqueda A\*, dando lugar a los controladores FGS-PID, SA-PID y A\*-PID. Los algoritmos de control son probados en MATLAB y adaptados para su correcto funcionamiento sobre el sistema embebido STM32 núcleo-144 para controlar el nivel de agua de un sistema multitanque. Para ello, se realizan distintas pruebas de funcionamiento en simulaciones y sobre el sistema real, donde se evalúa la respuesta de la planta ante cambios de referencia, utilizando como índice de desempeño el tiempo de estabilización y porcentaje de sobreimpulso. Asimismo, se comprueba la operación del sistema de control, introduciendo posibles fallas en la planta a través de fugas en los tanques provocados por un agujero en el fondo. Finalmente, los resultados muestran la efectividad de los algoritmos al reducir el tiempo de estabilización y sobreimpulso en la respuesta del sistema multitanque, además de agregar cierta tolerancia a fallas en el sistema. Lo anterior permite el seguimiento de la referencia en presencia de fallas, lo cual no se consigue con el sistema de control PID clásico.

Palabras clave: controlador PID, inteligencia artificial, programación de ganancias, sistema multitanque



#### Abstract

This paper analyzes three new control strategies that improve system response and its comparison with classic PID control. The efficiency of the PID controller depends only on its gains Kp, Ki and Kd. Therefore, the strategies improve the control process by finding the optimal gains through the programed algorithm. The programmed gain control algorithms are based on artificial intelligence techniques such as fuzzy logic, the simulated annealing algorithm and the A\* search method, resulting in the FGS-PID, SA-PID and A\*-PID controllers. The control algorithms are tested in MATLAB and adapted on the STM32 core-144 embedded system, with the objective of controlling the water level of a multitank system. For this purpose, different performance tests are carried out in simulations and on the real system where the response of the plant to reference changes is evaluated. In addition, the settling time and percentage of overshoot are used as performance indexes. Also, the operation of the control system is tested by introducing possible failures in the plant, such as through leaks in the tanks caused by a hole in the bottom. Finally, the results show the effectiveness of the algorithms in reducing the settling time and overshoot in the response of the multitank system, furthermore, adding some tolerance to failures in the system. The aforementioned results allow the tracking of the reference in the presence of faults, which is not achieved with the classical PID control system.

Keywords: PID controller, artificial intelligence, gain scheduling, multitank system



## Índice de contenidos

1.	Intro	oducció	on Control of the Con	20
	1.1.	Identifi	cación del problema	20
	1.2.	Justific	ación	20
	1.3.	Alcanc	e	20
	1.4.	Objetiv	os	21
		1.4.1.	Objetivo general	21
		1.4.2.	Objetivos específicos	21
	1.5.	Contrib	pución	21
2.	Fun	dament	tos teóricos	23
	2.1.	Intelige	encia artificial	23
		2.1.1.	Fundamentos de la lógica difusa	23
		2.1.2.	Algoritmo recocido simulado	30
		2.1.3.	Algoritmo A*	32
	2.2.	Algorit	mos de control	34
		2.2.1.	Control proporcional-integral-derivativo (PID)	34
		2.2.2.	Control on-off	40
		2.2.3.	Control proporcional de tiempo variable	40
		2.2.4.	Controlador PID difuso de ganancias programables (FGS-PID)	41
3.	Esta	ado del	arte	46
	3.1.	Estado	del arte de los algoritmos de inteligencia artificial implementados en	
		sistem	as de control	46
	3.2.	Estado	del arte del sistema multitanque y las estrategias de control aplicadas .	48
	3.3.	Estado	del arte de los sistemas de control basados en STM32	49
4.	Meto	odologí	a a	51
	4.1.	Diseño	e implementación de los algoritmos de ganancia programada en MATLAB	51
		4.1.1.	Controlador PID con ganancia programada basado en lógica difusa (FGS-	
			PID)	51
		4.1.2.	Controlador PID con ganancia programada basado en el algoritmo reco-	
			cido simulado (SA-PID)	58
		4.1.3.	Controlador PID con ganancia programada basado en el algoritmo A	
			estrella (A*-PID)	61



	4.2.	Simula	ación del controlador PID con ganancia programada y sistema multitanque.	64
		4.2.1.	Modelado del sistema multitanque	64
		4.2.2.	Diseño del sistema de control	66
		4.2.3.	Simulación del sistema en MATLAB	68
	4.3.	Impler	nentación y adaptación de los algoritmos de ganancia programada y con-	
		trolado	ores PID en la placa STM32 núcleo-144	77
		4.3.1.	Adaptación de las funciones básicas	77
		4.3.2.	Adaptación de las funciones avanzadas	78
	4.4.	Integra	ación de la placa STM32 al tablero de control y comunicación con el sis-	
		tema r	nultitanque	84
		4.4.1.	Descripción del sistema	85
		4.4.2.	Diagrama de instrumentación y procesos del sistema	86
		4.4.3.	Principales componentes del sistema multitanque y comunicación con el	
			tablero de control	87
		4.4.4.	Descripción del hardware	91
5.	Res	ultados	S Company of the comp	94
	5.1.	Result	ados en la simulación	94
	5.2.	Result	ados del sistema multitanque	103
		5.2.1.	Funcionamiento del sistema multitanque y sistema de control	103
		5.2.2.	Resultados de las pruebas de funcionamiento sin fugas	105
		5.2.3.	Resultados de las pruebas de funcionamiento con fugas	109
6.	Con	clusior	nes y trabajos futuros	116
	6.1.	Conclu	usiones	116
	6.2.	Trabaj	os futuros	118
Δr	oénd	ice	-	120
, ,L	a	.00		0
Α.	Con	trolado	or PID	121
	A.1.	MATLA	AB	121
		A.1.1.	Determinación de la respuesta del sistema en un lazo de control PID	121
	A.2.	STM3	2CubeIDE	121
		A.2.1.	Inicialización de variables y determinación de la señal de control del al-	
			goritmo de control PID	121



В.	3. Controlador FGS-PID							
	B.1.	MATL	AB	. 123				
		B.1.1.	Implementación del controlador FGS-PID para un sistema representado					
			en espacio de estados	. 123				
		B.1.2.	Archivo fuzzy_control.fis	. 123				
		B.1.3.	Implementación del controlador FGS-PID para el control del sistema					
			multitanque en Simulink	. 125				
	B.2.	STM3	2CubeIDE	. 127				
		B.2.1.	Generación de las funciones de membresía y definición de las reglas					
			difusas	. 127				
		B.2.2.	Evaluación del sistema de inferencia difuso	. 130				
		B.2.3.	Determinación de las ganancias mediante el algoritmo FGS-PID	. 133				
C.	Con	trolado	or SA-PID	134				
	C.1.	MATL	AB	. 134				
		C.1.1.	Implementación del algoritmo de control SA-PID	. 134				
		C.1.2.	Determinación del costo de la función objetivo	. 134				
		C.1.3.	Determinación de valores vecinos de ganancia	. 135				
		C.1.4.	Implementación del controlador SA-PID para el control del sistema mul-					
			titanque en Simulink	. 135				
	C.2.	STM3	2CubeIDE	. 138				
		C.2.1.	Inicialización del algoritmo SA-PID	. 138				
		C.2.2.	Determinación de las ganancias mediante el algoritmo SA-PID	. 139				
		C.2.3.	Evaluación de la función objetivo	. 141				
		C.2.4.	Determinación de valores vecinos de ganancia	. 143				
D.	Con	trolado	or A*-PID	145				
	D.1.	MATL	AB	. 145				
		D.1.1.	Determinación de las ganancias mediante el algoritmo A*-PID	. 145				
		D.1.2.	Generación de un identificador único a cada nodo	. 146				
		D.1.3.	Implementación del controlador A*-PID para el control del sistema multi-					
			tanque en Simulink	. 147				
	D.2.	STM3	2CubeIDE	. 151				
		D.2.1.	Inicialización del algoritmo A*-PID	. 151				
		D.2.2.	Generación de un identificador único a cada nodo	154				

7



D.2.3. Determinación de las ganancias mediante el algoritmo A*-PID	154
Bibliografía	159
Anexos	166
Anexo A: Diseño de los tanques, armazón de la planta del sistema multitanque	∍ y
tablero de control	166



## Índice de figuras

2.1.	Diagrama de bioques de un sistema de control en lazo cerrado	34
2.2.	Repuesta de la planta a un escalón unitario. Imagen adaptada de [1]	37
2.3.	Método de la ganancia última, oscilaciones sostenidas. Imagen adaptada de [1].	38
2.4.	La respuesta tiempo-temperatura de un controlador On-Off. Imagen adaptada	
	de [2]	40
2.5.	Señal PWM, (relación entre $t_{on}$ y $t_c$ ). Imagen adaptada de [3]	41
2.6.	Controlador PID difuso de ganancias programables. Imagen adaptada de [4]	41
2.7.	Funciones de membresía para la variable del error $e(k)$ y derivada del error	
	$\Delta e(k)$ . Elaborada con datos de [4]	44
2.8.	Funciones de membresía para las variables $K_{p}^{'}$ y $K_{d}^{'}$ . Elaborada con datos de	
	[4]	44
2.9.	Funciones de membresía para la variable $\alpha$ . Elaborada con datos de [4]	45
4.1.	Funciones de membresía para la variable $K_{i}^{'}$	54
4.2.	Fuzzy Logic Designer de MATLAB	55
4.3.	Edición de las funciones de membresía	56
4.4.	Edición de las reglas difusas	56
4.5.	Comparación del controlador PID y FGS-PID.	58
4.6.	Comparación del controlador PID y SA-PID	60
4.7.	Espacio de búsqueda	62
4.8.	Comparación del controlador PID y A*-PID	64
4.9.	Esquema simplificado del sistema multitanque. Imagen adaptada de [5]	65
4.10	.Sistema de control PID con ganancia programada y sistema multitanque	67
4.11	.Sistema de control PID con ganancia programada y sistema multitanque en	
	Simulink	68
4.12	.Subsistema Parámetros	69
4.13	.Subsistema Errores	69
4.14	.Subsistema del modelo del sistema de multitanque.	70
4.15	.Controlador PID	71
4.16	.Bloque del controlador FGS-PID	73
4.17	.Bloque del controlador SA-PID.	74
4.18	.Bloque del controlador A*-PID	75
4.19	.Definición del espacio de búsqueda del controlador A*-PID	75

4.20	Determinación de los nodos sucesores del controlador A*-PID	76
4.21	.Diagrama de flujo del algoritmo SA-PID	80
4.22	Diagrama de flujo del algoritmo A*-PID.	83
4.23	Esquema general del sistema multitaque y sistema de control.	85
4.24	Diagrama de proceso e instrumentación del sistema multitanque y sistemas de	
	control. Imagen adaptada de [5].	86
4.25	Bomba Favson F3012. Imagen tomada de [5].	87
4.26	Electroválvula Winner WVA4-3. Imagen tomada de [5]	87
4.27	.Electroválvula BACOENG 2W-15. Imagen tomada de [6]	88
4.28	Electroválvula U.S. SOLID USSMSV00002. Imagen tomada de [7]	88
4.29	.Sensor ultrasónico HC-SR04. Imagen tomada de [8]	89
4.30	.Sensor de flujo de agua DIGITEN. <i>Imagen tomada de [9].</i>	89
4.31	.Placa STM32F413ZH núcleo-144. Imagen tomada de [10].	90
4.32	.Módulo relé de 4 canales. <i>Imagen tomada de [11].</i>	90
4.33	Convertidor de PWM a voltaje analógico 0-10V. Imagen tomada de [12]	91
4.34	Diseño del sistema multitanque. <i>Imagen tomada de [5].</i>	92
4.35	Diseño del tablero de control	93
4.36	Distribución de los terminales de conexión en la parte frontal del tablero de control	93
5.1.	Respuesta del sistema en la simulación ante cambios de referencia utilizando	
	el algoritmo de control PID	95
5.2.	Respuesta del sistema en la simulación ante cambios de referencia utilizando	
	el algoritmo de control FGS-PID	96
5.3.	Respuesta del sistema en la simulación ante cambios de referencia utilizando	
	el algoritmo de control SA-PID	97
5.4.	Respuesta del sistema en la simulación ante cambios de referencia utilizando	
	el algoritmo de control A*-PID.	98
5.5.	Respuesta del sistema en la simulación ante presencia de fugas en el tanque 1	
	utilizando un controlador PID	99
5.6.	Respuesta del sistema en la simulación ante presencia de fugas en el tanque 1	
	utilizando un controlador FGS-PID	99
5.7.	Respuesta del sistema en la simulación ante presencia de fugas en el tanque 1	
	utilizando un controlador SA-PID	100
5.8.	Respuesta del sistema en la simulación ante presencia de fugas en el tanque 1	
	utilizando un controlador A*-PID	100



5.9.	Respuesta del sistema en la simulación ante presencia de tugas en el tanque 2
	utilizando un controlador PID
5.10	Respuesta del sistema en la simulación ante presencia de fugas en el tanque 2
	utilizando un controlador FGS-PID
5.11	Respuesta del sistema en la simulación ante presencia de fugas en el tanque 2
	utilizando un controlador SA-PID
5.12	Respuesta del sistema en la simulación ante presencia de fugas en el tanque 2
	utilizando un controlador A*-PID
5.13	.Sistema multitanque construido
5.14	.Tablero de control construido.
5.15	Estrategias para reducir el error en la medición
5.16	Sistema de fugas del sistema multitanque construido
5.17	Respuesta del sistema multitanque ante cambios de referencia utilizando el al-
	goritmo de control PID
5.18	Respuesta del sistema multitanque ante cambios de referencia utilizando el al-
	goritmo de control FGS-PID
5.19	Respuesta del sistema multitanque ante cambios de referencia utilizando el al-
	goritmo de control SA-PID
5.20	Respuesta del sistema multitanque ante cambios de referencia utilizando el al-
	goritmo de control A*-PID
5.21	Respuesta del sistema ante presencia de fugas en el tanque 1 utilizando el
	algoritmo de control PID
5.22	Respuesta del sistema ante presencia de fugas en el tanque 1 utilizando el
	algoritmo de control FGS-PID
5.23	Respuesta del sistema ante presencia de fugas en el tanque 1 utilizando el
	algoritmo de control SA-PID
5.24	Respuesta del sistema ante presencia de fugas en el tanque 1 utilizando el
	algoritmo de control A*-PID
5.25	Respuesta del sistema ante presencia de fugas en el tanque 2 utilizando el
	algoritmo de control PID
5.26	Respuesta del sistema ante presencia de fugas en el tanque 2 utilizando el
	algoritmo de control FGS-PID
5.27	Respuesta del sistema ante presencia de fugas en el tanque 2 utilizando el
	algoritmo de control SA-PID



5.28. Respuest	a del	sistema	ante	presencia	de	fugas	en	el	tanque	2	utilizando	el	
algoritmo	de co	ontrol A*-	PID										114



## Índice de tablas

2.1.	Acciones básicas de control. <i>Tomada de [13].</i>	35
2.2.	Regla de sintonía de Ziegler-Nichols (primer método). Elaborada con datos de	
	[1]	37
2.3.	Regla de sintonía de Ziegler-Nichols (segundo método). Elaborada con datos	
	de [1]	38
2.4.	Reglas de sintonía por criterios integrales. Elaborada con datos de [14]	39
2.5.	Reglas difusas de sintonía para $K_p^{'}$ . Elaborada con datos de [4]	43
2.6.	Reglas difusas de sintonía para $K_d^{'}$ . Elaborada con datos de [4]	43
2.7.	Reglas difusas de sintonía para $\alpha$ . Elaborada con datos de [4]	43
4.1.	Reglas difusas de sintonía para $K_i^{'}$	54
4.2.	Constantes físicas modelo del sistema multitanque. Elaborada con datos de [5] .	66
4.3.	Parámetros de los controladores PID	72
4.4.	Parámetros de los controladores FGS-PID	73
5.1.	Resultados ante cambios de referencias utilizando control PID	95
5.2.	Resultados ante cambios de referencias utilizando control FGS-PID	96
5.3.	Resultados ante cambios de referencias utilizando control SA-PID	97
5.4.	Resultados ante cambios de referencias utilizando control A*-PID	98
5.5.	Resultados en la simulación ante presencia de fugas en el tanque 1 utilizando	
	un controlador PID	99
5.6.	Resultados en la simulación ante presencia de fugas en el tanque 1 utilizando	
	un controlador FGS-PID	99
5.7.	Resultados en la simulación ante presencia de fugas en el tanque 1 utilizando	
	un controlador SA-PID	100
5.8.	Resultados en la simulación ante presencia de fugas en el tanque 1 utilizando	
	un controlador A*-PID	101
5.9.	Resultados en la simulación ante presencia de fugas en el tanque 2 utilizando	
	un controlador PID	101
5.10	Resultados en la simulación ante presencia de fugas en el tanque 2 utilizando	
	un controlador FGS-PID	102
5.11	.Resultados en la simulación ante presencia de fugas en el tanque 2 utilizando	
	un controlador SA-PID.	102



5.12. Resultados en la simulación ante presencia de lugas en el tanque 2 utilizando
un controlador A*-PID
5.13. Resultados del sistema multitanque utilizando control PID
5.14. Resultados del sistema multitanque utilizando control FGS-PID
5.15. Resultados del sistema multitanque utilizando control SA-PID
5.16. Resultados del sistema multitanque utilizando control A*-PID
5.17. Resultados ante presencia de fugas en el tanque 1 utilizando control PID 110
5.18. Resultados ante presencia de fugas en el tanque 1 utilizando control FGS-PID 111
5.19. Resultados ante presencia de fugas en el tanque 1 utilizando control SA-PID 111
5.20.Resultados ante presencia de fugas en el tanque 1 utilizando control A*-PID $112$
5.21. Resultados ante presencia de fugas en el tanque 2 utilizando control PID 113
5.22. Resultados ante presencia de fugas en el tanque 2 utilizando control FGS-PID 113
5.23. Resultados ante presencia de fugas en el tanque 2 utilizando control SA-PID 114
5.24. Resultados ante presencia de fugas en el tanque 2 utilizando control A*-PID 114
6.1. Comparación de resultados del sistema multitanque simulado
6.2. Comparación de resultados del sistema multitanque real



## Índice de extractos de código

A.1. Función PIDcontrol()
A.2. Función PID_Init()
A.3. Función PID_control()
B.1. Algoritmo de control FGS-PID en MATLAB
B.2. Archivo fuzzy_control.fis
B.3. Función sfun_fuzzycontrol
B.4. Función Fuzzy_Init
B.5. Función gaussmf
B.6. Función trimf
B.7. Función trapmf
B.8. Función eval_fuzzy
B.9. Función fuzz
B.10.Función defuzz
B.11.Función Reglas_str2num
B.12.Función find_index
B.13.Función FGS_Init
B.14.Función FGS_control
C.1. Algoritmo de control SA-PID en MATLAB
C.2. Función CostFunction
C.3. Función CreateNeighbor
C.4. Función sfun_SA
C.5. Función SA_Init
C.6. Función Simulated_Annealing
C.7. Función calcule_cost
C.8. Función SettlingTime
C.9. Función Overshoot
C.10.Función IAE_calc
C.11.Función ITAE_calc
C.12.Función ISE_calc
C.13.Función ITSE_calc
C.14.Función RiseTime
C.15.Función CreateNeighbor
D.1. Algoritmo de control A*-PID en MATLAB

15

# **U**CUENCA

D.2.	Funcion GenerateID
D.3.	Función sfun_Astar
D.4.	Función Astar_Init
D.5.	Función reserve_memory_Astar
D.6.	Función generate_ID
D.7.	Función Aestrella
D.8.	Función delimitar_coordenadas
D.9.	Función contador



## **Dedicatoria**

## A mis padres:

Quienes me apoyan en todo momento, brindándome su amor y paciencia.

## A mis hermanos Mateo y Anthony:

Con los que comparto los mejores momentos.

## A Claudia P.

Quien es la compañía perfecta, brindándome su motivación.



## **Agradecimientos**

Agradezco a mi familia por el apoyo incondicional que me han brindado, en el transcurso de mi vida y en mi formación académica.

También, agradezco a mi tutor el ingeniero Ismael Minchala, por brindar parte de su tiempo y conocimientos en todo el proceso que hizo posible la culminación de este trabajo.

Finalmente, a mis amigos, quienes me han acompañado en esta etapa de mi vida.

Michael Alexander Criollo Gordillo



## Abreviaciones y Acrónimos

```
A* A Star. 21, 23, 32, 46, 47, 61-63, 67, 76, 82, 84, 97, 98, 100, 102, 105, 108, 111, 114,
     116-119
ASA Adaptive Simulated Annealing. 47
BA Bat Algorithm. 46
BFS Best First Search. 47
DE Differential Evolution. 46
FA Firefly Algorithm. 46
FGS Fuzzy Gain Scheduling. 21, 41–43, 47, 48, 57, 60, 63, 67, 73, 74, 76, 95, 99–102, 106,
     110, 113, 116, 117
FIS Fuzzy Inference System. 57
FLC Fuzzy Logic Control. 46
GA Genetic Algorithm. 46, 47
GCC GNU Compiler Collection. 77
GS Gain Scheduling. 66, 68, 77, 117, 119, 120
IA Artificial Intelligence. 23, 46, 64
IAE Integral Absolute Error. 38, 39, 47, 48, 58, 59, 81
IDE Integrated Development Environment. 77
ISE Integral Square Error. 39, 47
ITAE Integral of Time multiplied Absolute Error. 38, 39, 46, 47
ITSE Integral of Time multiplied Square-Error. 39, 47
LQR Linear Quadratic Regulator. 47
MIMO Multiple-Input Multiple-Output. 64, 71
```

MSE Mean Squared Error. 47



PD Proporcional-Derivativo. 52

PI Proportional-Integral. 39

**PID** Proportional–Integral–Derivative. 20–22, 34, 36, 37, 39, 41–43, 46–52, 57–61, 63, 64, 67, 68, 70, 71, 73–76, 79, 81, 82, 84, 94–103, 105–114, 116–119

PSO Particle Swarm Optimization. 46

**PWM** Pulse Width Modulation. 40, 48–50, 85, 90, 103

**SA** Simulated Annealing. 21, 23, 30, 46, 47, 59–61, 67, 73–76, 79, 81, 96, 100, 102, 103, 105, 107, 111, 113, 114, 116–118

**ZN** Ziegler-Nichols. 20, 47, 57, 72



#### Introducción

En este capítulo se describe la identificación del problema, justificación, alcance, objetivos y las contribuciones del proyecto.

## 1.1. Identificación del problema

Hoy en día el controlador Proportional-Integral-Derivative (PID) es el más utilizado en los procesos de control. Esto obedece a razones de simplicidad algorítmica, facilidad de uso y buen comportamiento. Actualmente, existen métodos más eficientes para el despliegue de sistemas de control. No obstante, en el caso de los procesos industriales, la mayoría de los controladores, cerca del 90 %, utilizan algoritmos PID [15].

El controlador PID ha demostrado ser el adecuado en muchas aplicaciones industriales. Sin embargo, su uso generalizado no siempre resulta en resultados eficientes, ya que no todos los procesos son lineales y/o con poco retardo en el tiempo, donde este controlador se comporta de mejor manera. En la práctica, los procesos presentan no linealidades generadas por perturbaciones y, en ocasiones, sistemas con grandes retardos o con múltiples entradas y salidas. Por tal motivo, para encontrar una solución óptima se han diseñado distintos métodos para sintonizar las ganancias: proporcional  $(K_p)$ , integral  $(K_i)$  y derivativa  $(K_d)$  de un controlador PID. Entre las estrategias más primitivas, se encuentra la sintonización de estos parámetros mediante el método de Ziegler-Nichols (ZN). Mientras tanto, otras estrategias basadas en inteligencia artificial, corresponden a la sintonización de ganancias mediante algoritmos genéticos, redes neuronales, álgebra de lógica difusa, etc.

## 1.2. Justificación

La eficiencia del controlador PID depende de la sintonización de las ganancias:  $K_p$ ,  $K_i$  y  $K_d$ . Por lo tanto, las técnicas de inteligencia artificial ajustan estos parámetros a los valores óptimos para obtener la respuesta del sistema de control deseada. Además, se logra que el sistema sea tolerante a fallas.

#### 1.3. Alcance

El alcance del proyecto consiste en explorar técnicas de inteligencia artificial que permitan sintonizar las ganancias de un controlador PID para brindar, entre otras cosas, tolerancia a



fallas. Entre las estrategias que se abordarán, están los algoritmos de búsqueda A estrella (A\*- A Star), recocido simulado (SA- Simulated Annealing) y el uso de la lógica difusa en un controlador PID de ganancia programada difusa (FGS-PID). El sistema de control y los algoritmos de ajuste de ganancia, en un principio, son probados en MATLAB y luego adaptados para su correcto funcionamiento sobre el sistema embebido STM32 núcleo-144, para el control de nivel de un sistema multitanque.

## 1.4. Objetivos

## 1.4.1. Objetivo general

Explorar técnicas de inteligencia artificial que permitan ajustar las ganancias de un controlador PID para mejorar su desempeño. Caso de estudio, sistema multitanque.

## 1.4.2. Objetivos específicos

- Revisar el estado del arte de los algoritmos de inteligencia artificial en el contexto de controladores PID con ganancia programada.
- Diseñar e implementar algoritmos de ganancia programada en MATLAB.
- Implementar los algoritmos de ganancia programada y controladores PID en la placa de desarrollo STM32 núcleo-144.
- Desplegar el sistema de control PID con ganancia programada sobre un sistema multitanque.
- Realizar pruebas de funcionamiento del controlador PID con ganancia programada y el sistema multitanque.
- Analizar el rendimiento de los algoritmos de ganancia programada ante presencia de fallas en la planta.

## 1.5. Contribución

Las contribuciones del proyecto son:

Diseño e implementación de los algoritmos de ganancia programada en MATLAB.



- Diseño e implementación de un sistema de control de ganancia programada sobre el sistema embebido STM32 núcleo-144.
- Sistema de control PID con ganancias programadas integrado en un tablero de control y regulación de un sistema multitanque.



## Fundamentos teóricos

En este capítulo se describen los fundamentos teóricos de los algoritmos de inteligencia artificial. Entre los que se detallan están los algoritmos de búsqueda A estrella (A\*), recocido simulado (SA) y los fundamentos teóricos de la lógica difusa. Además, se describen los principales conceptos de los algoritmos de control.

## 2.1. Inteligencia artificial

El término inteligencia artificial (IA) se conoce desde hace décadas; sin embargo, no se ha consolidado una definición concreta del mismo. Lo antes mencionado se debe, principalmente, a que se utiliza en distintos ámbitos tecnológicos y de la ciencia. En [16] se reúnen varias definiciones de inteligencia artificial, de distintos autores, separadas en cuatro categorías:

- Actuar humanamente: Sistemas capaces de realizar funciones que requieren inteligencia como las personas [17].
- Actuar racionalmente: El estudio de los agentes inteligentes [18] y el comportamiento inteligente en los artefactos [19].
- Pensar humanamente: Sistemas capaces de simular el pensamiento inteligente de los humanos [20]. La automatización de actividades como las decisiones, aprendizaje y resolución de problemas; actividades asociadas al pensamiento humano. [21].
- Pensar racionalmente: El estudio de las capacidades mentales con modelos computacionales [22], y cálculos que permiten razonar, percibir y actuar [23].

Existen varias definiciones de IA; sin embargo, en este proyecto se enfatizan los aportes brindados en la informática. Dentro de este campo, se describen algunas de las técnicas clásicas de búsqueda y de razonamiento de la IA, que son utilizados en la mayoría de resolución de problemas.

## 2.1.1. Fundamentos de la lógica difusa

La lógica difusa fue propuesta por Lotfi Zadeh en 1965, en su primera publicación sobre conjuntos difusos en [24]. Más adelante, Zadeh continuaría el desarrollo de la teoría de lógica difusa y conjuntos borrosos. A pesar de que, en aquella época, se consideraba innecesaria; la lógica difusa era tratada como una teoría ambigua que generaba imprecisión. A pesar de todo



esto, en la actualidad, su importancia destaca en el área de la inteligencia artificial. De hecho, se utiliza principalmente en el control de sistemas complejos de la industria y, de manera general, en el tratamiento de datos y toma de decisiones en sistemas.

## 1. Definición de lógica difusa

La lógica difusa hace referencia a una serie de teorías que brindan una manera más fácil de llevar a cabo los procesos de razonamiento, donde la información de entrada es imprecisa, incompleta, vaga o ambigua. La lógica difusa es un mecanismo de la inteligencia computacional que permite manejar información con un elevado nivel de complejidad en comparación con la lógica clásica. Se define como una lógica multivaluada donde los valores de verdad como sí/ no, verdadero/falso, 0/1, etc. permiten valores intermedios [25].

## 2. Conjuntos difusos

Para el entendimiento de los conjuntos borrosos es conveniente relacionarlo con ciertos términos de la teoría de conjuntos clásicos. Sin embargo, es importante considerar que, en la teoría convencional, el grado de pertenencia de un elemento solo puede tomar los valores de 0 o 1. Mientras que, en los conjuntos difusos un elemento puede pertenecer a un conjunto de forma parcial, valores entre 0 y 1 [26].

## 3. Función de membresía

En la teoría clásica, si A representa un subconjunto del conjunto universo  $U \to \{0,1\}$ , su función características  $\chi_A$  está definida por:

$$\chi_A(x) = \begin{cases} 1 & si \ x \in A \\ 0 & si \ x \notin A \end{cases}$$
 (2.1)

Es decir, si x está en A su función característica es 1, si no es 0.

En el caso de los conjuntos difusos, esta función se denomina función de membresía o pertenencia. De igual manera, si A representa un subconjunto del universo de discurso X, su función de membresía  $\mu_A$  está definida por  $\mu_A: X \to [0,1]$  [27]. En un conjunto difuso, el valor  $\mu_A(x)$ , donde  $x \in X$ , se denomina valor o grado de membresía.



Algunas de las funciones de membresía típicas son:

■ Función triangular:

$$\mu_{A}(x) = \begin{cases} 0, & x < a \\ \frac{x-a}{b-a}, & a \le x < b \\ \frac{c-x}{c-b}, & b \le x \le c \\ 0, & x > c \end{cases}$$
 (2.2)

Siendo a el límite inferior, c el límite superior, b el punto medio (tal que a < b < c). Otra forma de expresar la misma función se muestra en (2.3).

$$\mu_A(x) = \max\left(\min\left(\frac{x-a}{b-a}, \frac{c-x}{c-b}\right), 0\right)$$
 (2.3)

Función trapezoidal:

$$\mu_{A}(x) = \begin{cases} 0, & x < a \\ \frac{x-a}{b-a}, & a \le x < b \\ 1, & b \le x < c \\ \frac{d-x}{d-c}, & c \le x \le d \\ 0, & x > d \end{cases}$$
 (2.4)

Siendo a el límite superior, d el límite interior, b y c el límite de soporte superior e inferior respectivamente (tal que a < b < c < d). También expresada matemáticamente como:

$$\mu_A(x) = \max\left(\min\left(\frac{x-a}{b-a}, 1, \frac{d-x}{d-c}\right), 0\right)$$
 (2.5)

Función gaussiana:

$$\mu_A(x) = e^{-\frac{(x-m)^2}{2\sigma^2}} \tag{2.6}$$

Siendo m el valor medio y  $\sigma$  la desviación estándar ( $\sigma > 0$ ).

■ Función bell-shaped generalizada:

$$\mu_A(x) = \frac{1}{1 + \left|\frac{x-c}{a}\right|^{2b}} \tag{2.7}$$



Siendo c el centro de la función, a la mitad del ancho y junto a b los puntos que determinan las pendientes (-2b/a) sobre el punto de cruce [28].

## 4. Operaciones en conjuntos difusos

Algunas operaciones de la teoría de conjuntos clásicos como intersección, unión y complemento son definidas en los conjuntos difusos.

Siendo A y B subconjuntos del universo X, estas operaciones son definidas como:

$$\begin{array}{lll} \text{Operación} & \text{Conjunto clásico} & \text{Conjunto difuso} \\ & \text{Unión} & A \cup B = \{x | x \in A \text{ \'o } x \in B\} & \mu_{A \cup B}(x) = \max \left(\mu_A(x), \mu_B(x)\right) \\ & \text{Intersección} & A \cap B = \{x | x \in A \text{ \emph{y}} \ x \in B\} & \mu_{A \cap B}(x) = \min \left(\mu_A(x), \mu_B(x)\right) \\ & \text{Complemento de } A & \bar{A} = \{x | x \notin A\} & \mu_{\bar{A}}(x) = 1 - \mu_A(x) \end{array}$$

## 5. Variable lingüística

Según Zadeh [29], una variable lingüística se puede denotar como:

$$\langle x, X, T(x), G, M \rangle \tag{2.8}$$

#### Donde:

- x: el nombre de la variable.
- *X*: es el universo de discurso.
- T(x): es la colección de valores lingüísticos que x puede tomar.
- G: es una gramática que permite crear las etiquetas de T(x) como alto, muy alto, bajo, muy bajo, normal, etc.
- M: es una regla semántica que asocia los valores lingüísticos de T(x) con el universo de discurso X.

#### 6. Razonamiento aproximado

En [30], se define el razonamiento aproximado como un proceso de inferencia para encontrar una solución cercana de un sistema de ecuaciones de asignación relacional.



Este último se caracteriza por su falta de claridad en las conclusiones de premisas difusas. La inferencia utiliza operaciones como unión, intersección y complemento ya antes mencionados.

El razonamiento aproximado se emplea para representar y razonar con conocimientos expresados en una forma de lenguaje natural [31]. Ejemplo: "la aceleración tiene un valor positivo pequeño". Para convertir esta expresión en lenguaje natural a variables lingüísticas, se realiza de la siguiente manera:

- a) Definir símbolo A como la variable física de la "aceleración".
- b) Definir símbolo PP como el valor lingüístico de "positivo pequeño" de la "aceleración".
- c) En lenguaje natural la expresión es: A es PP.

## 7. Reglas difusas

Una regla difusa de la forma **IF-THEN** es expresada simbólicamente de la siguiente manera:

**IF** 
$$<$$
 proposición  $difusa >$  **THEN**  $<$  proposición  $difusa >$ 

La proposición difusa puede ser sencilla o compuesta, un ejemplo de proposición difusa es:

$$r: \mathbf{IF} x \text{ es } A \mathbf{THEN} y \text{ es } B$$

Dado que, el antecedente es difuso, todas las reglas se usan de forma parcial, y la conclusión o consecuencia es cierto hasta cierto punto [31].

## 8. Identificación de sistemas difusos

Un sistema difuso está compuesto de cuatro elementos [32]:

 Interfaz de fuzzificación: es la encargada de convertir las variables de entrada a variables difusas tomando en cuenta el grado de membresía de cada variable.

■ Base de conocimiento: conformada por un conjunto de reglas que determinan la

relación entre las variables de entrada con las de salida e información relacionada

con las funciones de membresía.

■ Mecanismo de inferencia: usando el conjunto de reglas definido en la base de co-

nocimientos, el mecanismo de inferencia obtiene la relación entre las variables de

salida y variables de entrada o premisas.

Interfaz de defuzzificación: al contrario de la fuzzificación, se encarga de convertir

el valor que devuelve el mecanismo de inferencia a un valor discreto o determinista.

Existen dos enfoques básicos en la implementación de un sistema difuso:

Mamdani

■ Takagi-Sugeno-Kang

La principal diferencia entre estos dos enfoques se da en la etapa de defuzzificación.

9. Modelo difuso de Mamdani

Este modelo convierte las variables de entrada, valores numéricos generalmente prove-

nientes de mediciones, a valores difusos para que puedan ser procesados por el meca-

nismo de inferencia. Dichos valores difusos son el grado de pertenencia de las entradas

de los distintos conjuntos borrosos del universo de discurso. Este sistema no necesita

de modelos matemáticos para controlar el sistema, el mecanismo de inferencia toma los

grados de membresía y, en base a un conjunto de reglas, genera la salida [33]. El con-

junto de reglas es del tipo si-entonces y está conformado por dos partes, el antecedente

y el consecuente. Ambas partes son expresiones lingüísticas, denotadas como ejemplo

de la siguiente manera.

Regla i: Si x es A y y es B entonces z es C

antecedente consecuente

Donde x y y son las entradas, z es la salida, A, B y C son variables lingüísticas definidas

por conjuntos difusos dentro del universo de discurso X, Y y Z respectivamente.

En la etapa de inferencia del modelo de Mamdani, generalmente, utiliza los métodos de

min-max y producto-max [34], dando como resultado un conjunto difuso, que aún no



puede ser entendido por el elemento de salida que usa variables numéricas. Para ello, se han establecido algunos de los métodos para convertir la salida difusa en numérica, entre los que están [35]:

• Método del centro de gravedad: consiste en encontrar el centro del área de la función de membresía del conjunto difuso implicado, matemáticamente la salida  $y^*$  está dada por:

$$y^* = \frac{\sum_{i=1}^{N} b_i \int_{U} \mu_{\hat{B}_i}(y) dy}{\sum_{i=1}^{N} \int_{U} \mu_{\hat{B}_i}(y) dy}$$
(2.9)

#### Donde:

- N: número de reglas.
- *U*: universo de discurso.
- $b_i$ : centro del área de la función de membresía  $\mu_{B_i}(y)$ , que se asocia con el conjunto difuso implicado  $\hat{B}_i$  para la i-ésima regla.
- $\int_U \mu_{\hat{B}_i}(y) dy$ : área bajo la función de membresía  $\mu_{\hat{B}_i}(y)$ .
- Método del centro promedio: la salida  $y^*$  es determinada por los centros de cada salida de las funciones de membresía. Para N reglas la salida es:

$$y^* = \frac{\sum_{i=1}^{N} b_i \mu_i(u_1, u_2, ..., u_n)}{\sum_{i=1}^{N} \mu_i(u_1, u_2, ..., u_n)}$$
(2.10)

#### Donde:

- $b_i$ : es el centro del área de la función de membresía  $B_i$ , que se asocia con el conjunto difuso implicado  $\hat{B}_i$  para la i-ésima regla.
- $\mu_i(u_1,u_2,...,u_n)=\sup_U\Big\{\mu_{\hat{B}_i}(y)\Big\}$ : siendo "sup" el supremo, interpretado como el valor más alto de  $\mu_{\hat{B}_i}(y)$ .
- Método del valor máximo: escoge el valor máximo de la función de membresía de la salida, aunque no es un método óptimo, es muy sencillo.



## 10. Modelo difuso de Takagi-Sugeno-Kang

Este modelo se usa en la representación de procesos con dinámica no lineal. Para ello, reúne la información ciertos modelos locales [32]. En este sentido, está conformado por un conjunto de reglas si-entonces de la siguiente forma:

Regla 
$$i$$
: si  $x_1(t)$  es  $MF_{1,i}$  y...y  $x_k(t)$  es  $MF_{k,i}$  entonces  $y_i(x(t)) = f_i(x(t))$ 

Donde la regla i-ésima de un conjunto de N reglas está denotada por  $x(t) = [x_1(t)... x_k(t)]$  que son las entradas, premisas o mediciones del sistema en el tiempo t.  $MF_{k,i}$  es la función de membresía de la k-ésima entrada en la i-ésima regla, la ecuación de salida  $y_i(x(t))$  es su modelo local y  $f_i(x(t))$  es una función de las entradas del modelo, generalmente es lineal.

La salida del modelo difuso  $y_{fuzzy}(t)$ , se determina a partir de una sumatoria ponderada entre su grado de activación normalizado y cada modelo local.

$$y_{fuzzy}(t) = \frac{\sum_{i=1}^{N} w_i(x(t)) \cdot y_i(x(t))}{\sum_{i=1}^{N} w_i(x(t))}$$
(2.11)

El grado de activación de la *i*-ésima regla,  $w_i(x(t))$  está definido por:

$$w_i(x(t)) = oper(\mu_i(x_1(t)), ..., \mu_i(x_k(t)))$$
 (2.12)

Donde la función  $oper(\cdot)$ , puede ser el producto u operador mínimo,  $\mu_i(x_k(t))$  es el grado de membresía de la entrada  $x_k(t)$ .

## 2.1.2. Algoritmo recocido simulado

El recocido simulado (SA-Simulated Annealing) es uno de los métodos metaheurísticos propuesto en 1983 por Kirkpatrick, Vecchi y Gellat como una técnica de optimización [36]. Además, se basa en el proceso metalúrgico de recocido, que consiste en calentar un metal por encima del punto de su fusión, para luego enfriarlo muy lentamente hasta llegar una temperatura muy baja. De esta manera, se forma una estructura estable y sin defectos [37].

El algoritmo recocido simulado busca la mejor solución (óptimo global) del problema propuesto. Para ello, en cada iteración de este algoritmo de búsqueda, no se elige siempre un vecino que mejore la solución; sino que, en algunas ocasiones, soluciones peores. Esto con la finali-

dad de no quedar atrapado en un óptimo local. Esta estrategia de elegir soluciones peores se hace en base a una función de probabilidad que controla los movimientos de escape. Además, si la solución va por buen camino conforme avanza la búsqueda, la función de probabilidad reduce dichos movimientos [38].

```
Algoritmo 1 Pseudocódigo del algoritmo de recocido simulado
```

```
Definir: Solución inicial x.
Definir: Función Objetivo f(x).
Definir: Temperatura inicial T = T_0.
Definir: Máximo número de iteraciones N.
Definir: Iteración i = 0.
  mientras i < N hacer
    x_1 = \text{SeleccionAleatoria}(\text{SolucionesVecinas}(x));
    Calcular \Delta E = f(x_1) - f(x)
    si \Delta E < 0 entonces
       Se acepta la nueva solución, x = x_1
    si no
       Se acepta x = x_1 con probabilidad p
    fin si
    i = i + 1;
    T = q(i,T);
  fin mientras
  devolver x
```

En el pseudocódigo del Algoritmo 1, se muestra como el algoritmo de recocido simulado selecciona de manera aleatoria una posible solución entre vecinos del estado actual, y si la solución es mejor, esta pasa a ser inmediatamente la nueva solución. Caso contrario, la solución será aceptada en base a la función de probabilidad. La función de probabilidad se muestra a continuación, esta depende de dos parámetros, el incremento de energía  $(\Delta E)$  y la temperatura T.

$$p = \exp\left(-\frac{\Delta E}{T}\right) \tag{2.13}$$

La temperatura parte de un valor inicial  $(T_0)$  y decrece conforme avanza la búsqueda. En el pseudocódigo, se expresa esta función de temperatura T, misma que se actualiza en cada iteración i como g(i,T). Dado que es una función decreciente, llegará a un punto donde solo se permitirán soluciones que igualen o mejoren la solución actual [39]. La manera más sencilla de elegir la función de temperatura es con un enfriamiento lineal. Pero, existen otras opciones, por ejemplo [40] presenta las siguientes.

Descenso exponencial:

$$g(i,T) = \alpha \cdot T \tag{2.14}$$

Donde,  $\alpha$  es una constante que se próxima a uno, generalmente se usan valores entre [0.8-0.99].

Criterio de Boltzmann:

$$T_i = \frac{T_0}{(1 + \log(i))} \tag{2.15}$$

Criterio de Cauchy:

$$Ti = \frac{T_0}{(1+i)} {(2.16)}$$

Definiendo el número de iteraciones, el criterio de Cauchy (Cauchy modificado) es expresado como:

$$g(i,T) = \frac{T}{(1+\beta T)} \tag{2.17}$$

Donde,  $\beta>0$  es un valor muy pequeño, para i iteraciones  $\beta=\frac{T_0-T_f}{iT_0T_f}$ 

## 2.1.3. Algoritmo A\*

El algoritmo A estrella (A\*-A Star) es un método de búsqueda heurística propuesto en 1968 por P. Hart, B. Raphael y N. Nilsson; lo que esperaban los autores al desarrollar el algoritmo era reducir la cantidad de nodos expandidos en la búsqueda del camino de menor costo, ruta óptima. Para ello, el algoritmo informa constantemente, cuál nodo debería expandir [41]. Por tal motivo, se encuentra clasificado dentro de los algoritmos de búsqueda en grafos de tipo informado.

El algoritmo A\* emplea dos listas para guardar la información de los nodos. La primera se denomina lista de abiertos y contiene todos los nodos vecinos que han sido expandidos del nodo actual. La lista de cerrados que guarda los nodos que fueron el nodo actual.

Para dar con la ruta óptima, el algoritmo usa la función de evaluación F = G + H. El término G toma en cuenta el costo que genera al moverse del nodo origen hasta el nodo actual y el valor heurístico H estima el costo de desplazarse del nodo actual al nodo de destino [42].

A continuación, se muestra el pseudocódigo del algoritmo A\*.

```
Algoritmo 2 Pseudocódigo del algoritmo A*
Definir: Nodo inicial NI y destino ND
Definir: Lista vacía de nodos abiertos y cerrados
Definir: Función de evaluación F = G + H
  Colocar NI en la lista de abiertos
  F(NI) = H(NI)
  repetir
    si Lista de abiertos está vacía entonces
      devolver No solución y finalizar
    fin si
    Seleccionar el nodo N, con F mínima, de la lista de abiertos
    Mover N en la lista de cerrados
    si N = ND entonces
      devolver ruta de NI hasta ND y finalizar
    fin si
    Expandir(N) obteniendo un conjunto de sucesores
    para cada S \in (Sucesores(N)) hacer
      si S \notin Lista abierta y S \notin Lista cerrada entonces
        Colocar S en la lista de abiertos
        Guardar N como el predecesor de S
        Calcular F(S) = G(S) + H(S)
      si no
        Recalcular G(S)
        si G(actual) es mejor G(antiquo) entonces
           Guardar N como el nuevo predecesor de S
           Recalcular F(S) = G(S) + H(S)
        fin si
      fin si
    fin para
  hasta que el nodo destino se haya encontrado
```

Al empezar el algoritmo, se coloca el nodo inicial en la lista de abiertos. Luego, se realiza una estimación del coste empleando la función objetivo F. Dado que, el nodo actual es el mismo que el nodo inicial, el coste generado por desplazamiento es nulo (G(NI) = 0).

A continuación, el algoritmo repite una serie de instrucciones hasta encontrar el nodo destino o fallar cuando la lista de abiertos está vacía. Si este no es el caso, el algoritmo selecciona de la lista de abiertos el nodo con menor valor de F. Luego, elimina el nodo de la lista de abiertos y lo coloca en la lista de cerrados. Además, se verifica si el nodo actual corresponde al destino para finalizar el proceso iterativo, en dicho caso se devuelve la ruta recorrida (información que se almacena en sus predecesores), caso contrario se expande el nodo actual obteniendo un conjunto de nodos sucesores.

Para cada sucesor del nodo actual, se verifica si no se encuentra en la lista de nodos abiertos o en la lista de nodos que fueran expandidos. Si este es el caso, se agrega el nodo en la lista

de abiertos y se guarda la información de su predecesor. Además, se calcula el valor de F del nodo; en el caso de que el nodo sucesor se encuentre en la lista de abiertos. Seguidamente, se verifica si el costo del camino recorrido desde el nodo inicial, hasta dicho nodo, es menor. Si esto sucede, se actualiza la información de su predecesor y recalcula su función de evaluación [43].

## 2.2. Algoritmos de control

## 2.2.1. Control proporcional-integral-derivativo (PID)

Este tipo de controlador se caracteriza por su sencillez y robustez. En la actualidad, se siguen utilizando a pesar de haber cumplido un siglo desde los primeros sistemas de control basados en principios PID; siendo el trabajo de Minorsky, en el año 1922, uno de los primeros registros de su importancia teórica [44]. Es muy utilizado en la industria, gran parte sus aplicaciones de control son resueltas por los controladores PID. Especialmente, cuando la dinámica del sistema es adecuada (por ejemplo, se ha verificado su buen funcionamiento para sistemas con dinámica de segundo y primer orden) y requerimientos de control no muy exigentes (limitados por la respuesta del sistema ante cambios rápidos de referencia y comportamientos del error).

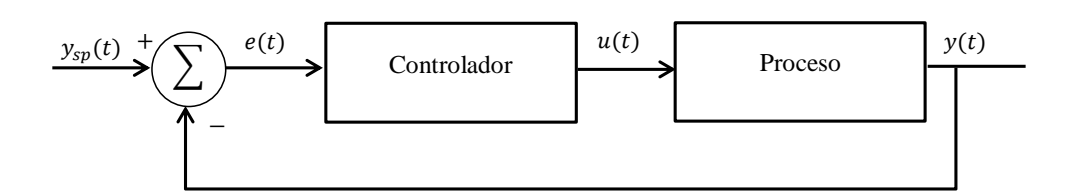


Figura 2.1: Diagrama de bloques de un sistema de control en lazo cerrado.

El controlador PID es un mecanismo de control de lazo cerrado (véase Figura 2.1), diseñado con la finalidad de hacer cero el error de estado estacionario, diferencia entre una señal deseada y la respuesta real de la salida del sistema. Para ello, hace usos de tres parámetros de control: proporcional, integral y derivativo [45].

#### 1. Acciones de control

■ Acción de control proporcional (P): esta acción genera una salida de control, u(t), proporcional a la entrada,  $e(t) = y_{sp}(t) - y(t)$ ; en el dominio de tiempo esta



acción de control es expresada como:  $u(t) = K_p e(t)$ , y su función de transferencia como:  $U(s) = K_p E(s)$  [46].

El control proporcional funciona para cualquier sistema estable, al aumentar  $K_p$  la velocidad de respuesta del sistema aumenta y el error en régimen permanente (off-set) disminuye. Sin embargo, también aumenta la inestabilidad del sistema [47].

■ Acción de control integral (I): esta acción genera una salida de control proporcional al error acumulado, garantizando la reducción del error del sistema en régimen permanente (referencia constante - error cero). En el dominio de tiempo, esta acción de control es expresada como:  $u(t) = K_i \int_0^t e(\tau) d\tau$ , y su función de transferencia como:  $U(s) = \frac{K_i}{s} E(s)$  [46].

De manera similar que el control proporcional, al incrementar  $K_i$ , incrementa parte de la velocidad de respuesta del sistema. Pero, provoca más inestabilidad al sistema [47].

■ Acción de control derivativa (D): esta acción genera una salida proporcional a la derivada de la señal de error; en el dominio de tiempo esta acción de control es expresada como:  $u(t) = K_d \frac{de(t)}{dt}$ , y su función de transferencia como:  $U(s) = K_d s E(s)$  [46].

Al incrementar el valor del término derivativo se incrementa la estabilidad del sistema, pero se reduce parte de su velocidad de respuesta, conservando el mismo comportamiento del error del sistema en régimen permanente [47].

Estas acciones de control se resumen en la Tabla 2.1, donde se presenta como responde el sistema si se aumenta el valor de sus ganancias. Esto en lo que se refiere a su tiempo de subida, sobreimpulso, tiempo de establecimiento y error estacionario.

Tabla 2.1: Acciones básicas de control. Tomada de [13].

Acción de Control	Tiempo de subida	Sobreimpulso	Tiempo de establecimiento	Error estacionario
Si $K_p$ aumenta	Disminuye	Aumenta	Cambia poco	Disminuye
Si $K_i$ aumenta	Disminuye	Aumenta	Aumenta	Eliminado
Si $K_d$ aumenta	Cambia poco	Disminuye	Disminuye	Cambia poco

## 2. Ecuación del controlador PID [48]

Al realizar la suma de los tres términos, donde la acción integral I representa el pasado, acción proporcional P el presente y la acción derivativa D el futuro. La ecuación del

control PID es:

$$u(t) = \underbrace{K_p e(t)}_{P} + \underbrace{\frac{K_p}{T_i} \int_{0}^{t} e(\tau) d\tau}_{I} + \underbrace{K_p T_d \frac{de(t)}{dt}}_{D}$$
(2.18)

y su función transferencia es:

$$C_{PID}(s) = \frac{U(s)}{E(s)} = K_p \left( 1 + \frac{1}{T_i s} + T_d s \right)$$
 (2.19)

## Donde:

•  $K_p$ : ganancia proporcional.

 $\blacksquare$   $T_i$ : tiempo integral.

 $\blacksquare$   $T_d$ : tiempo derivativo.

Dominio del tiempo.

• u(t) : señal de control.

• e(t) : señal de error.

### Dominio s:

• U(s): transformada de Laplace de la señal de control.

• E(s): transformada de Laplace de la señal de error.

#### 3. Métodos de sintonización de controladores PID

Reglas de sintonización de Ziegler-Nichols (primer método) [1]: es un método en lazo abierto que consiste en obtener la respuesta de la planta a la entrada de un escalón unitario, de tal forma que la salida sea una curva sigmoidal o forma de S (véase Figura 2.2). Esto quiere decir que lo ideal es que la planta no tenga polos complejos conjugados ni integradores.

Para modelizar la planta como un sistema de primer orden con tiempo muerto, se traza una línea tangente en el punto de inflexión y se señala los puntos de cruce con el eje del tiempo y el eje donde c(t)=K (véase Figura 2.2). Esto permite determinar los valores de las constantes L y  $\tau$ , y definir la siguiente función de transferencia.



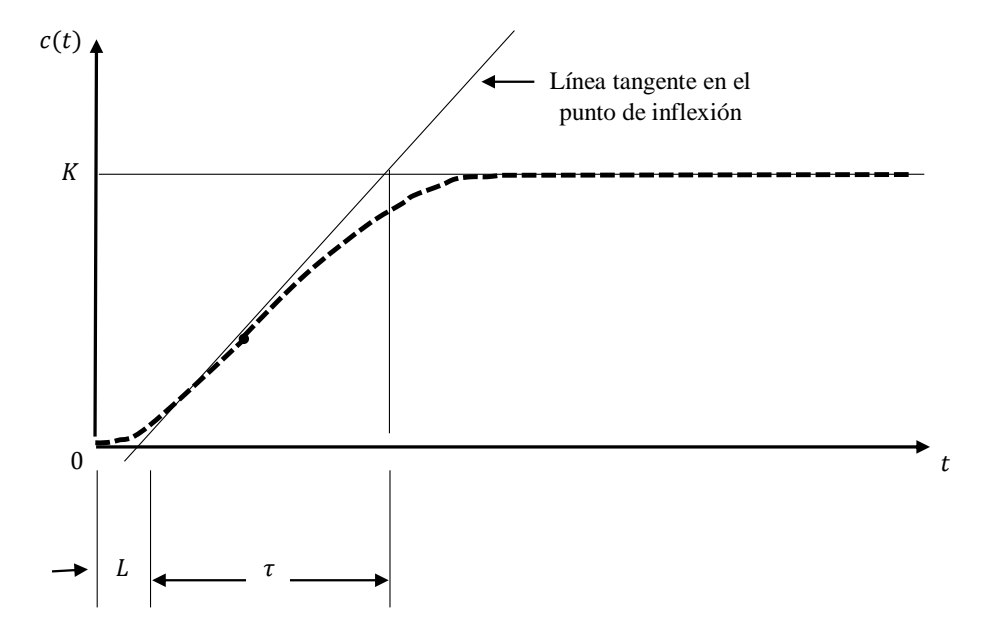


Figura 2.2: Repuesta de la planta a un escalón unitario. Imagen adaptada de [1].

$$\frac{C(s)}{U(s)} = \frac{Ke^{-Ls}}{\tau s + 1}$$
 (2.20)

Donde:

- *L*: es el tiempo de retardo.
- $\tau$ : es una constante de tiempo.
- K: es la ganancia del sistema.

Los parámetros de L y  $\tau$  son utilizados para la sintonización del controlador PID, estableciendo los valores de  $K_p$ ,  $T_i$  y  $T_d$  en base a las relaciones de la Tabla 2.2.

Tabla 2.2: Regla de sintonía de Ziegler-Nichols (primer método). Elaborada con datos de [1].

Controlador	$K_p$	$T_i$	$T_d$
Р	$\frac{\tau}{L}$	$\infty$	0
PI	$0.9\frac{\tau}{L}$	$\frac{L}{0.3}$	0
PID	$1.2 \frac{\tau}{L}$	2L	0.5L

■ Reglas de sintonización de Ziegler-Nichols (segundo método) [1]: es un método en lazo cerrado, consiste en colocar los tiempos  $T_i = \infty$  y  $T_d = 0$ . Posteriormente, se varía la ganancia  $K_p$  desde cero hasta un valor que genere oscilaciones sostenidas a la salida del sistema (si no genera oscilaciones no se puede aplicar este método). El valor antes mencionado, se denomina ganancia crítica o última  $K_u$ 



y al periodo de la oscilación, periodo crítico o último  $T_u$ .

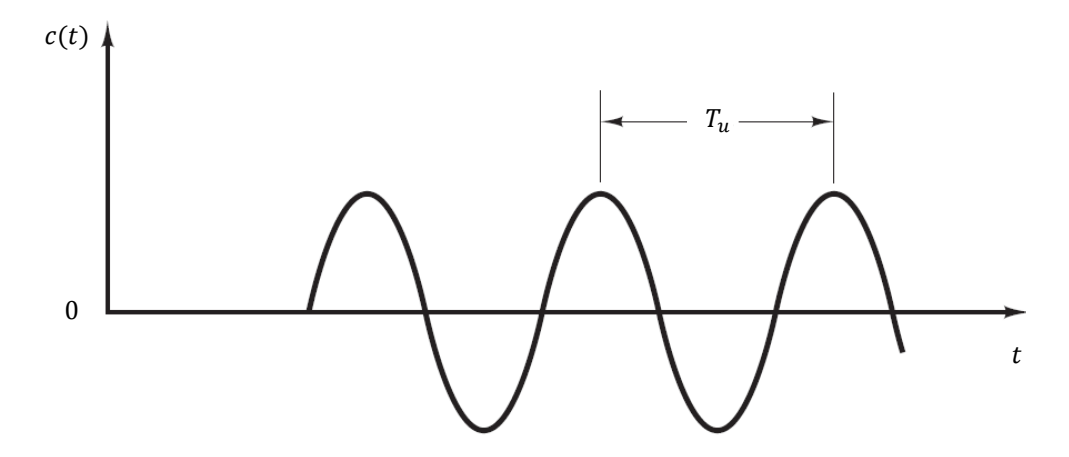


Figura 2.3: Método de la ganancia última, oscilaciones sostenidas. Imagen adaptada de [1].

Se obtienen los valores de  $K_p$ ,  $T_i$  y  $T_d$  con las relaciones que se muestran en la Tabla 2.3.

Tabla 2.3: Regla de sintonía de Ziegler-Nichols (segundo método). Elaborada con datos de [1].

Controlador	$K_p$	$T_i$	$T_d$
Р	$0.5K_u$	$\infty$	0
PI	$0.45K_u$	$\frac{T_u}{1.2}$	0
PID	$0.6K_u$	$0.5T_u$	$0.125T_{u}$

## 4. Sintonización por criterios integrales

La necesidad de evaluar el comportamiento de los sistemas de control, condujo a la determinación de índices de desempeño a partir de la señal del error e(t). Los criterios integrales o índices de desempeño más empleados en los sistemas de control son:

■ IAE (Integral del valor absoluto del error)

$$IAE = \int_0^\infty |e(t)| dt \tag{2.21}$$

■ ITAE (Integral del tiempo por el error absoluto)

$$ITAE = \int_0^\infty t |e(t)| dt$$
 (2.22)

ISE (Integral del error cuadrático)

$$ISE = \int_0^\infty e^2(t)dt \tag{2.23}$$

■ ITSE (Integral del tiempo por el error cuadrático)

$$ITSE = \int_0^\infty te^2(t)dt \tag{2.24}$$

La finalidad de este método es encontrar los parámetros del controlador que minimicen el costo de cierta función objetivo, los parámetros encontrados serán óptimos según los criterios de desempeño elegidos [14].

Un claro ejemplo de este método se encuentra en el trabajo de Lopez en 1967 [49]; el autor propuso un método de sintonización por criterios integrales para rechazo de perturbaciones en un PID ideal. Al suponer el modelo del sistema de primer orden (2.20), se busca minimizar la integral de error. No obstante, el estudio se limitó para valores de  $\frac{L}{\tau}$ , definido como factor de incontrolabilidad, entre 0 y 1. El método determinó las siguientes ecuaciones para la sintonía:

$$K_p = \frac{1}{K} a \left(\frac{L}{T}\right)^b \tag{2.25}$$

$$T_{i} = \frac{\tau}{c\left(\frac{L}{\tau}\right)^{d}} \tag{2.26}$$

$$T_d = \tau e \left(\frac{L}{\tau}\right)^f \tag{2.27}$$

Donde los valores a, b, c, d, e y f dependen del tipo de controlador y el criterio de desempeño, por ejemplo para controladores PI y PID, con los criterios IAE, ITAE y ISE se muestra en la Tabla 2.4.

Tabla 2.4: Reglas de sintonía por criterios integrales. Elaborada con datos de [14].

Criterio	Controlador	а	b	C	d	e	f
IAE	PI	0.984	-0,986	0.608	-0.707	-	-
IAL	PID	1.435	-0.921	0.878	-0.749	0.482	1.137
ITAE	PI	0.859	-0.977	0.674	-0.68	-	-
IIAE	PID	1.357	-0.947	0.842	-0.738	0.381	0.995
ICE	PI	1.305	-0.959	0.492	-0.739	-	-
ISE	PID	1.495	-0.945	1.101	-0.771	0.560	1.006



### 2.2.2. Control on-off

También conocido como control todo o nada, es un algoritmo sencillo de implementar. Su funcionamiento se basa en comparar la salida del sistema con su referencia para cambiar de un estado a otro. Debido a que su salida únicamente puede tener dos estados, el controlador no es capaz de tener un valor exacto a su salida generando una constante oscilación con respecto a la señal de referencia [50]. A esta diferencia, entre un estado a otro, se conoce como histéresis. El ejemplo más común del uso de este controlador es en los sistemas de regulación de temperatura (Figura 2.4).

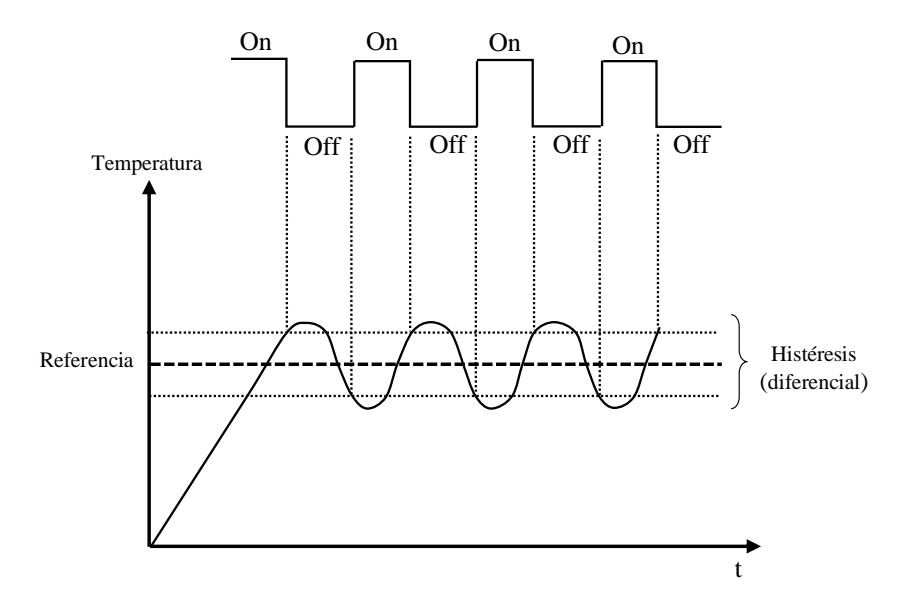


Figura 2.4: La respuesta tiempo-temperatura de un controlador On-Off. *Imagen adaptada de [2]*.

## 2.2.3. Control proporcional de tiempo variable

Partiendo de la idea del controlador on-off, donde se tienen únicamente dos estados, desactivado 0% y activado 100%; el controlador proporcional de tiempo variable entrega potencia de forma porcentual entre 0 y 100%. Este controlador se basa en el concepto de modulación de ancho de pulso (PWM). Misma que combina la relación entre el tiempo de activación  $t_{on}$  y el tiempo de un ciclo  $t_c$  para obtener una potencia promedio (Figura 2.5). A este porcentaje o relación se le denomina ciclo de trabajo y es determinado según (2.28). El control PWM a menudo se usa en controladores eléctricos [51].

$$ciclo de trabajo = \frac{t_{on}}{t_c} \cdot 100$$
 (2.28)



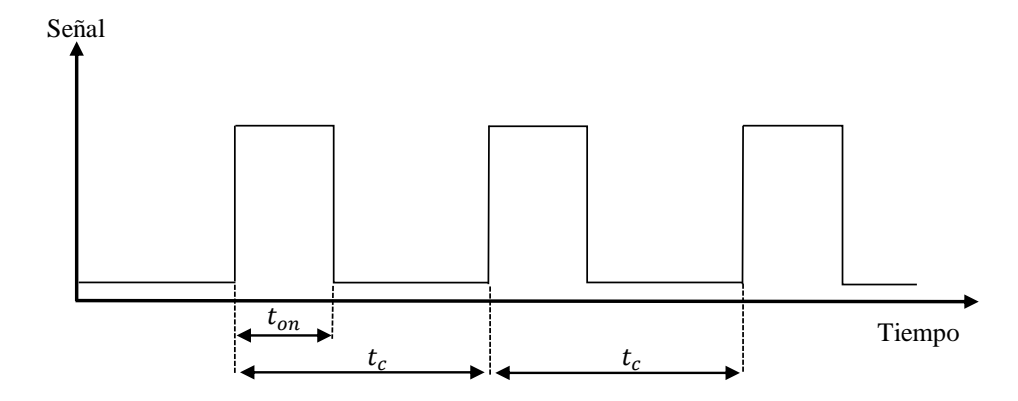


Figura 2.5: Señal PWM, (relación entre  $t_{on}$  y  $t_{c}$ ). Imagen adaptada de [3].

## 2.2.4. Controlador PID difuso de ganancias programables (FGS-PID)

El controlador PID difuso de ganancias programables (FGS, por sus siglas en inglés Fuzzy Gain Scheduling) utiliza el razonamiento aproximado y un conjunto de reglas difusas para determinar las ganancias  $K_p$ ,  $K_i$  y  $K_d$  del controlador PID cuando el sistema se encuentra en funcionamiento. Lo antes mencionado, fue propuesto ya hace algunas décadas en [4], donde se plantea el siguiente esquema de control (Figura 2.6).

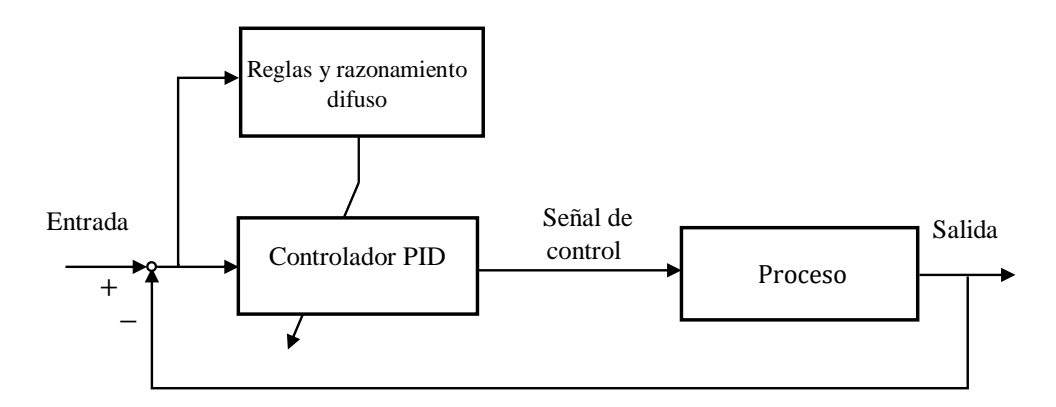


Figura 2.6: Controlador PID difuso de ganancias programables. Imagen adaptada de [4].

## 1. Algoritmo de control FGS-PID

En un principio se normaliza los valores de  $K_p$  y  $K_d$  entre 0 y 1 utilizando (2.29) y (2.30).

$$K_{p}' = \frac{K_{p} - K_{(p,min)}}{K_{(p,max)} - K_{(p,min)}}$$
 (2.29)



$$K_{d}^{'} = \frac{K_{d} - K_{(d,min)}}{K_{(d,max)} - K_{(d,min)}}$$
(2.30)

Los parámetros de control  $K_p$  y  $K_d$  se encuentra en el rango de  $[K_{(p,min)}, K_{(p,max)}]$  y  $[K_{(d,min)}, K_{(d,max)}]$  respectivamente. Sus valores mínimos y máximos son establecidos a partir de las siguientes relaciones.

$$K_{(n.min)} = 0.32K_u$$
 (2.31)

$$K_{(p,max)} = 0.6K_u$$
 (2.32)

$$K_{(d,min)} = 0.08K_uT_u (2.33)$$

$$K_{(d,max)} = 0.15 K_u T_u$$
 (2.34)

## Donde:

- K<sub>u</sub>: es la ganancia límite, ganancia última o ganancia crítica.
- T<sub>u</sub>: es el periodo crítico.

En el caso de la acción integral del controlador, el tiempo integral es proporcional al tiempo derivativo,  $T_i=\alpha\cdot T_d$ 

El algoritmo del control FGS-PID utiliza como parámetro de entrada la señal de error e(k) y su diferencia  $\Delta e(k)$ , en la etapa de fuzzificación, donde se convierte los valores de entrada a valores difusos. A continuación, el mecanismo de inferencias usando un conjunto de reglas predefinidas y razonamiento difuso devuelve como salida los valores normalizados  $K_p'$ ,  $K_d'$  y el valor proporcional  $\alpha$ ; se utiliza el método del centroide para realizar la defuzzificación. Finalmente, las ganancias del controlador PID son obtenidas a partir de (2.35 - 2.37).

$$K_{p} = (K_{(p,max)} - K_{(p,min)}) K_{p}' + K_{(p,min)}$$
(2.35)

$$K_{d} = (K_{(d,max)} - K_{(d,min)}) K_{d}' + K_{(d,min)}$$
(2.36)

$$K_i = \frac{K_p}{\alpha T_d} = \frac{K_p^2}{\alpha K_d} \tag{2.37}$$



## 2. Reglas difusas

El conjunto de reglas que utiliza el algoritmo FGS-PID se detallan en las Tablas 2.6, 2.6 y 2.7:

Tabla 2.5: Reglas difusas de sintonía para  $K_p'$ . Elaborada con datos de [4].

					r			
				$\Delta e$	$\overline{(k)}$			
		NB	NM	NS	ZO	PS	PM	PB
	NB	В	В	В	В	В	В	В
	NM	S	В	В	В	В	В	S
	NS	S	S	В	В	В	S	S
e(k)	ZO	S	S	S	В	S	S	S
, ,	PS	S	S	В	В	В	S	S
	PM	S	В	В	В	В	В	S
	PB	В	В	В	В	В	В	В

Tabla 2.6: Reglas difusas de sintonía para  $K'_d$ . Elaborada con datos de [4].

				•	u			
				$\Delta e$	(k)			
		NB	NM	NS	ZO	PS	PM	PB
	NB	S	S	S	S	S	S	S
	NM	В	В	S	S	S	В	В
	NS	В	В	В	S	В	В	В
e(k)	ZO	В	В	В	В	В	В	В
	PS	В	В	В	S	В	В	В
	PM	В	В	S	S	S	В	S
	PB	S	S	S	S	S	S	S
e(k)	ZO PS PM	B B B	B B B	B B S	B S S	B B S	B B B	B B S

Tabla 2.7: Reglas difusas de sintonía para  $\alpha$ . Elaborada con datos de [4].

riogia	o anao	ao ac	Siritor	na pa	iu a.	Liabo	rada c	orr aa
				$\Delta e$	$\overline{(k)}$			
		NB	NM	NS	ZO	PS	PM	PB
	NB	2	2	2	2	2	2	2
	NM	3	3	2	2	2	3	3
	NS	4	3	3	2	3	3	4
e(k)	ZO	5	4	3	3	3	4	5
	PS	4	3	3	2	3	3	4
	PM	3	3	2	2	2	3	3
	PB	2	2	2	2	2	2	2

En las Tablas 2.5, 2.6 y 2.7 se encuentran denotadas siete variables lingüísticas de entrada: NB, NM, NS, ZO, PS, PM y PB donde las letras ZO hace referencia valores cercanos a cero, la letra P a valores positivos, N valores negativos junto a sus etiquetas B para valores grandes, M valores medianos, S valores pequeños.

Las variables lingüísticas de salida son: S para valores pequeños, B para valores grandes



y valores constantes entre 2 y 5.

La entrada y salida están relacionadas a partir de varias reglas difusas de la forma sientonces. Estas últimas son obtenidas de las Tablas 2.5, 2.6 y 2.7 tomando como salida la intersección de las entradas. Por ejemplo, para la primera y última regla su expresión es:

Regla 
$$1:\,$$
 si  $e(k)$  es NB,  $\Delta e(k)$  es NB entonces  $K_p^{'}$  es B,  $\,K_d^{'}$  es S,  $\,\alpha$  es  $2$  :

Regla  $49:\, \text{si}\, e(k)$  es PB,  $\Delta e(k)$  es PM entonces  $K_p^{'}$  es B,  $\,K_d^{'}$  es S,  $\,\alpha$  es 2

### 3. Funciones de Membresía

Para determinar el grado de pertenencia de las variables del conjunto difuso se definen las funciones de membresía de forma triangular para la entrada (Figura 2.7), y para la salida funciones gaussianas y singletons (Figuras 2.8 y 2.9).

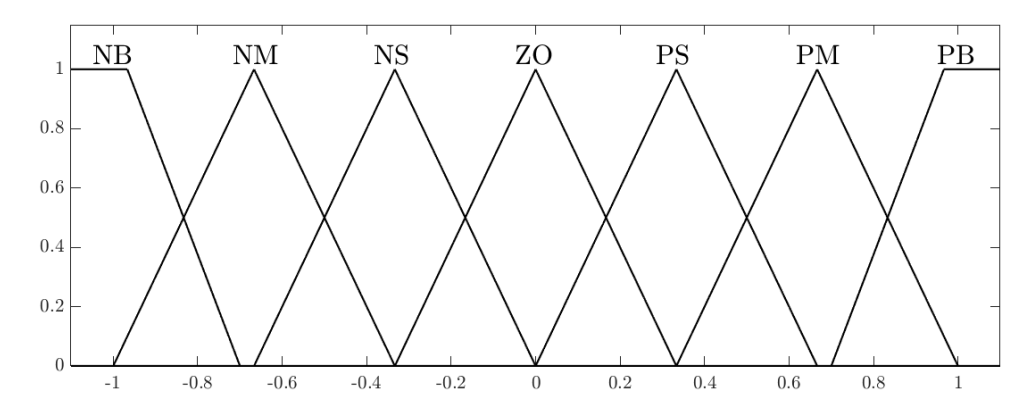


Figura 2.7: Funciones de membresía para la variable del error e(k) y derivada del error  $\Delta e(k)$ . Elaborada con datos de [4].

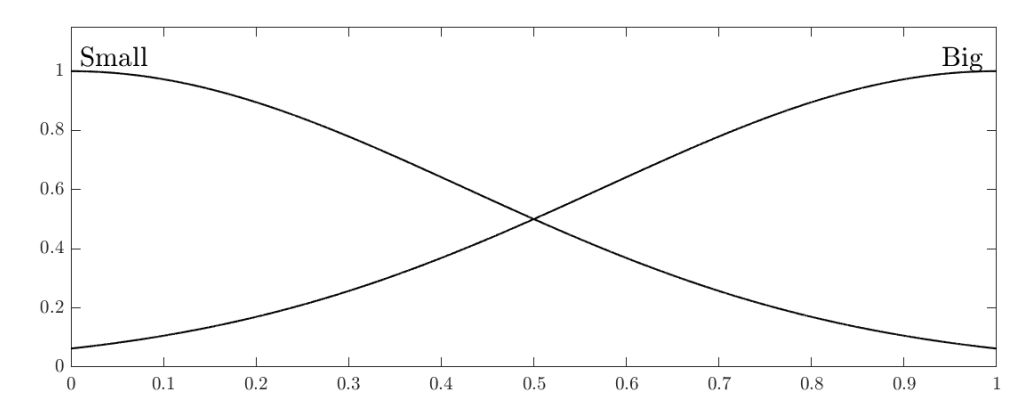


Figura 2.8: Funciones de membresía para las variables  $K_{p}^{'}$  y  $K_{d}^{'}$ . Elaborada con datos de [4].



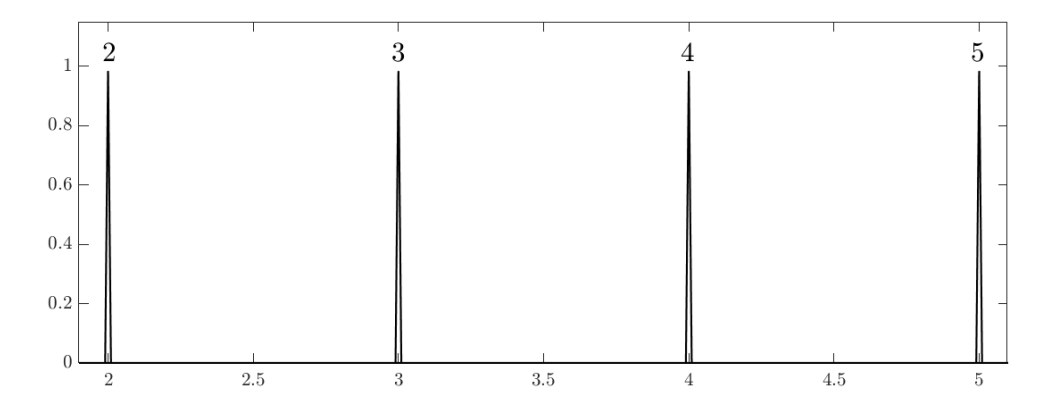


Figura 2.9: Funciones de membresía para la variable  $\alpha$ . *Elaborada con datos de [4].* 



### Estado del arte

En este capítulo, se describe el estado del arte de algunos algoritmos de IA implementados para la sintonización de ganancias en controladores PID, sobre todo aquellos que son de interés en esta investigación como el algoritmo A\*, recocido simulado y control basado en lógica difusa. Además, se detallan los trabajos relacionados con el control de sistemas de múltiples tanques y la implementación de sistemas de control en microcontroladores STM32. Para ello, este capítulo se divide en tres secciones, la primera detalla los algoritmos de inteligencia artificial implementados en el proceso de control, la segunda sección sobre el control de nivel en un sistema multitanque y la tercera el uso de plataformas de desarrollo STM32 para el proceso de control.

## 3.1. Estado del arte de los algoritmos de inteligencia artificial implementados en sistemas de control

Existen varias estrategias para la sintonización de las ganancias  $K_p$ ,  $K_i$  y  $K_d$  de un controlador PID. Entre los que destaca la literatura, tenemos el uso de algoritmos meta-heurísticos, por ejemplo, la técnica de optimización de enjambre de partículas (PSO), algoritmo bat (BA) y algoritmo firefly (FA) que son algoritmos bioinspirados; es decir, se basan en los sistemas biológicos o físicos de la naturaleza [52]. Un ejemplo de la aplicación del algoritmo PSO es presentado en [53] para mejorar la eficiencia de un controlador PID basado en lógica difusa (FLC) en un sistema no lineal de suspensión de un vehículo. Otro algoritmo meta-heurístico es la evolución diferencial (DE), este método de optimización presenta un mejor comportamiento que otros enfoques de sintonización al ser empleado en un sistema interconectado de energía térmica [54]. Otra técnica muy estudiada desde hace algunas décadas, es el uso de algoritmos genéticos (GA). Este es un método heurístico muy utilizado en problemas de optimización y puede ser implementado en la sintonización de las ganancias de un controlador PID, como se presenta en [55] aplicada a una planta concentradora de cobre.

Los autores de [56] propusieron como método de ajuste para controladores PID, el algoritmo recocido simulado (SA) en un sistema de control de movimiento con perturbación constante. Este estudio se basó en minimizar la integral en el tiempo del valor absoluto del error (ITAE) y eliminar el error de estado estable del sistema. El algoritmo SA se aplicó sobre tres diferentes controladores PID mostrando que cada controlador tiene su ventaja de acuerdo a los requisitos de control. En [57], se presenta un sistema de control PID con ajuste de ganancias en línea. Utilizando el algoritmo SA, se realiza una comparación con el algoritmo genético

demostrando una disminución considerable del tiempo de cálculo. Un estudio más reciente es presentado en [58], donde se realiza una mejora de este algoritmo denominado recocido simulado adaptativo (ASA- Adaptive Simulated Annealing), el estudio muestra como el uso de un algoritmo adaptativo mejora el rendimiento en los sistemas estudiados.

Un controlador PID con ganancia programada difusa (FGS-PID) utiliza reglas difusas para cambiar las ganancias del controlador PID durante el funcionamiento [59]. Se basa en la señal de error y su primera diferencia para determinar los parámetros del controlador, fue propuesto hace unas décadas demostrando un mejor rendimiento que métodos de sintonización como ZN y Kitamori [4]. Trabajos recientes como [60], demuestran que este controlador es más robusto y tiene buen comportamiento para el seguimiento de puntos de ajuste y rechazo a las perturbaciones; entre otras características como alcanzar la posición de estabilidad, rápidamente, y menor sobreimpulso [61].

En relación con el algoritmo A\*, su enfoque está dirigido a la optimización de rutas más que a la sintonización de ganancias del control PID. Por ejemplo, en [62] se buscaba mejorar la capacidad dinámica de un robot usando un algoritmo genético que ajusta la función de membresía de un controlador difuso e implementa el algoritmo de búsqueda A\* para obtener un movimiento más suave del robot. De manera similar, en el trabajo de [63] para el control de seguimiento de trayectoria de un robot móvil, se utilizaron tres algoritmos: el algoritmo A\*, algoritmo de optimización de enjambre híbrido y de enjambre de partículas, demostrando un aumento de la eficiencia de la estrategia de control al comparar los resultados con otras simulaciones.

En el caso de la sintonización de parámetros del controlador PID usando el algoritmo A\*, no existe un método definido. Sin embargo, artículos relacionados como [64] presenta una manera de implementar el algoritmo de búsqueda Best First Search (BFS). Para la sintonización (el algoritmo A\* se basa en BFS), este método plantea un nodo principal que se expande generando nodos secundarios. Así, se evalúan los nodos secundarios y se escoge el que genere buenos resultados. De esta manera, el nodo elegido pasa a ser un nodo principal para seguir expandiéndose y continuar la búsqueda.

Uno de los puntos más importantes de la implementación del algoritmo de optimización, como GA, SA o A\* en la sintonización de ganancias, es la determinación de la función objetivo. En efecto, de ello depende la mejoría del sistema de control. En [65], se comparan diferentes índices de desempeño usados en la función objetivo, tales como: IAE, ITAE, ISE, ITSE, MSE y LQR, aplicados sobre un algoritmo rápido de SA. De esta forma, se concluye que, el índice

de desempeño IAE trabaja un poco mejor que el resto. Así mismo, en [66] propone funciones multiobjetivo que combinan no sólo los criterios de desempeño de la integral del error, sino también parámetros característicos de la señal como el porcentaje de sobreimpulso (OS), tiempo de estabilización  $(t_{ss})$  y tiempo de rizado  $(t_r)$ .

### 3.2. Estado del arte del sistema multitanque y las estrategias de control aplicadas

Este proyecto parte del resultado del trabajo previo de "Diseño e implementación de los sistemas de instrumentación, comunicaciones y control de un sistema multitanque" presentado en [5]. En dicho trabajo, los autores diseñan un sistema multitanque que consta de dos tanques de reserva, un tanque de bombeo, un sistema de instrumentación integrado en un tablero de control. Entre cada tanque, se implementa una electroválvula que regula el paso del agua, la primera electroválvula controla el flujo de entrada del sistema de forma proporcional, a través de una señal de voltaje. La segunda electroválvula, comprendida entre los dos tanques de reserva, tiene únicamente dos modos de operación, totalmente abierto y totalmente cerrado. Por lo tanto, el flujo del agua es controlado a través de una señal PWM.

Finalmente, la última electroválvula controla el flujo de salida mediante su apertura. Esta última es proporcional al tiempo de alimentación de la válvula. Se realiza el control del nivel del agua de los dos tanques de reserva mediante sensores ultrasónicos. La estrategia de control en este trabajo, consta de dos esquemas. El primero consiste en la implementación de controladores PID clásicos en su totalidad y el segundo se le agrega un controlador FGS-PID en la segunda electroválvula. En las pruebas, se evalúa la respuesta de la planta ante cambios de referencia, los resultados muestran una ligera mejoría en el tiempo de estabilización y una disminución del sobreimpulso con la implementación del controlador FGS-PID.

En [67] se presenta un sistema de tres tanques colocados en forma de cascada y un tanque de reserva, donde se almacena el agua que se suministra al sistema utilizando una bomba. El sistema está conformado por dos tipos de válvulas, válvulas manuales y electroválvulas. En referencia a las válvulas manuales, son de tipo solenoides, por lo que únicamente tiene dos posiciones (abierta o cerrado). De hecho, para ajustar de forma proporcional, a este tipo de válvulas se envía una señal PWM. Esto permite que la electroválvula se active o desactive de forma progresiva, de acuerdo a los valores establecidos en el controlador. Se proponen dos estrategias de control, la primera un controlador fuzzy, sus resultados muestran un correcto seguimiento a la referencia. Sin embargo, el proceso será dependiente en gran medida de su ganancia  $K_p$ , ya que un valor alto produce recalentamiento de las válvulas y mayor suscepti-

bilidad a perturbaciones. La segunda estrategia de control se basa en redes neuronales. En este contexto, se estudian dos métodos de aprendizaje diferente, red neural inversa y modelo diferencial, obteniendo mejores resultados con el primero.

Otro estudio similar al presentado anteriormente es [68], el sistema propuesto consta de: un tanque principal, un tanque de perturbación de nivel y un tanque de reserva. Además, dos electroválvulas que trabajan en forma proporcional, una bomba sumergible y un sensor. La primera electroválvula controla un flujo de entrada proveniente del tanque de perturbación, como su nombre lo indica este flujo perturba al sistema de control de nivel. La segunda electroválvula conectada entre el tanque principal y de reserva, controla el flujo de salida. Mientras que, el flujo de entrada del sistema está determinado por el accionar de la bomba. Se compara una estrategia de control de red neuronal basado en el modelo inverso con una estrategia de control difuso. Para lograrlo, se emplearon tres parámetros de evaluación de desempeño del sistema, el sobreimpulso generado, el tiempo de estabilización y el porcentaje de error de estado estacionario. Los resultados muestran que la estrategia de control neuronal elimina el sobreimpulso y reduce en gran medida el error en estado estacionario y su tiempo de estabilización.

### 3.3. Estado del arte de los sistemas de control basados en STM32

STM32 es una familia de microcontroladores de 32 bits fabricados a partir de procesadores ARM Cortex-M. Estos dispositivos se utilizan en el desarrollo de proyectos que requieran el procesamiento de señales digitales, capacidades en tiempo real, operaciones de bajo consumo, conectividad y alto rendimiento junto a la sencillez de desarrollo [69]. Los microcontroladores STM32 se implementan en varios proyectos de control. Por ejemplo, en el trabajo presentado en [70], se desarrolla un sistema de control de temperatura de respuesta rápida y alta precisión utilizando el algoritmo PID. El sistema antes mencionado consta de un enfriador termoeléctrico accionado a través de una señal PWM y un sensor de temperatura. La señal PWM se ajusta de acuerdo al valor de control determinado por el algoritmo PID. Los resultados obtenidos presentan un sistema estable con respuesta rápida y un error de ±0.5°C. Un sistema similar, presentado en [71], consiste en un sistema adaptativo de control de la temperatura del agua. Este sistema usa un algoritmo PID difuso para controlar la potencia de un calentador de agua de energía eléctrica. De hecho, los resultados muestran una mejoría en el tiempo de estabilización, disminución del sobreimpulso y rápida respuesta en comparación al PID clásico.

En [72] se muestra el diseño de un sistema de control de velocidad de un motor de CC. En este caso, el sistema usa un algoritmo PID que ajusta la velocidad del motor variando el ciclo de trabajo de la señal PWM. La implementación cumple con los objetivos de control, obteniendo un valor pequeño de estado estacionario, buena estabilidad, precisión en el control y bajo consumo de energía. Una implementación más completa es presentada en [73], consiste en un sistema automático de control de pH de la solución de nutrientes en la fábrica de plantas inteligentes. El sistema mencionado consta de una serie de sensores para la adquisición de datos como: temperatura, humedad, intensidad de luz, captura de imágenes, concentración de dióxido de carbono, pH de la solución nutritiva; y módulos para el control como: módulo de humidificación, iluminación LED, acondicionador de aire, módulo de ajuste de pH de la solución nutritiva y suministro de dióxido de carbono. En este trabajo, el estudio se enfoca en el ajuste del valor de pH en la solución nutritiva. Por tal motivo, propone dos esquemas de control, el PID clásico y PID experto. Este último es una mejora del PID clásico que agrega reglas expertas de control y un preajuste de parámetros. De forma similar, los resultados muestran que a pesar de las dificultades de ajuste del valor de pH, los dos sistemas cumplen su objetivo. Además, se establecen ventajas claras en la regulación de pH al usar el esquema de control PID experto.



## Metodología

En este capítulo, se detalla el diseño e implementación de los algoritmos de inteligencia artificial para el ajuste de ganancia de un controlador PID. Simultáneamente, se presenta, de manera técnica, la metodología de diseño de estos algoritmos sobre el software de MATLAB y su implementación sobre un sistema multitanque simulado. Además, se presenta la adaptación de estos algoritmos sobre la placa STM32 núcleo-144 y su integración para el control de un sistema físico de múltiples tanques.

### 4.1. Diseño e implementación de los algoritmos de ganancia programada en MATLAB

En esta sección, se describen los conceptos considerados para el diseño de los distintos algoritmos de programación de ganancias en MATLAB. Lo antes mencionado se sustentará en algunas secciones de código para mayor entendimiento.

## 4.1.1. Controlador PID con ganancia programada basado en lógica difusa (FGS-PID)

Este esquema de control se basa en el presentado en la Sección 2.6, con la diferencia de que se busca eliminar la dependencia de los valores  $K_u$  y  $T_u$  obtenidos en la sintonización por el método de Ziegler-Nichols. Para ello, usando (2.31 - 2.34), y la reglas de sintonía de la Tabla 2.3 se obtiene que:

$$K_{(p,min)} = 0.533K_p$$
 (4.1)

$$K_{(p,max)} = K_p \tag{4.2}$$

$$K_{(d.min)} = 1.067K_d \tag{4.3}$$

$$K_{(d,max)} = 2K_d \tag{4.4}$$

Además, se elimina la dependencia del valor de la acción integral de la derivativa (2.37). Reemplazándola por la siguiente ecuación:

$$K_{i} = (K_{(i,max)} - K_{(i,min)}) K_{i}' + K_{(i,min)}$$
(4.5)

Donde los valores  $K_{(i,min)}$  y  $K_{(i,max)}$  son determinados de acuerdo a los siguientes criterios:

- $K_{(i,min)} = 0$ , implica un controlador con acción proporcional y derivativa (PD). Este reduce los transitorios como el tiempo de subida, el sobreimpulso y las oscilaciones en la salida, sin embargo, en entornos con ruido puede crear una gran inestabilidad [74].
- $K_{(i,max)} = K_i$ , indica que el valor más alto que puede tomar la ganancia integral es  $K_i$ , siendo este un valor conocido y obtenido por cualquier método de sintonía PID, por tanto, garantiza la estabilidad en la salida del lazo de control.

En base a estos criterios y además de que no es preferible eliminar la acción integral del controlador, se propone el siguiente rango.

$$K_{(i,min)} = 0.01K_i$$
 (4.6)

$$K_{(i,max)} = 0.85K_i (4.7)$$

Donde los valores de 0.01 y 0.85 son obtenidos al realizar distintas pruebas. Estas consisten en ajustar el intervalo de manera que reduzcan el sobreimpulso y tiempo de estabilización en sistemas de segundo, tercer y cuarto orden, cuyas funciones de trasferencias son:

$$G_1(s) = \frac{e^{-0.5s}}{(s+1)^2} \tag{4.8}$$

$$G_2(s) = \frac{4.228}{(s+0.5)(s^2+1.64s+8.456)}$$
(4.9)

$$G_3(s) = \frac{27}{(s+1)(s+3)^3} \tag{4.10}$$

Para este controlador, se definen las siguientes variables lingüísticas para la entrada del error:

- NB (negativo grande): la señal de salida está muy por encima del valor de referencia.
- NM (negativo mediano): la señal de salida está medianamente encima del valor de referencia.
- NS (negativo pequeño): la señal de salida está por encima, pero muy cercana a la señal



de referencia.

- **ZO** (cercano a cero): la señal de salida está muy cerca del valor de referencia.
- PS (positivo pequeño): la señal de salida está por debajo, pero muy cercana de la señal de referencia.
- PM (positivo mediano): la señal de salida está medianamente por debajo de la señal de referencia.
- PB (positivo grande): la señal de salida está muy por debajo de la señal de referencia.

Las variables lingüísticas para la primera diferencia de la señal del error  $\Delta e(k)$ :

- **NB** (negativo grande): la derivada del error tiene una pendiente negativa.
- NM (negativo mediano): la derivada del error tiene una pendiente medianamente negativa.
- NS (negativo pequeño): la derivada del error tiene una pendiente negativa, casi constante.
- **ZO** (cercano a cero): la derivada del error tiene una pendiente casi o completamente constante.
- PS (positivo pequeño): la derivada del error tiene una pendiente positiva, casi constante.
- PM (positivo mediano): la derivada del error tiene una pendiente medianamente positiva.
- **PB** (positivo grande): la derivada del error tiene una pendiente positiva.

Las variables lingüísticas de salida para  $K_p$  son:

- **small** (valor pequeño): reducción de la ganancia  $K_p$ , aumenta estabilidad y disminuye la velocidad de respuesta.
- **big** (valor grande): aumento de la ganancia *Kp*, disminuye la estabilidad pero, aumenta la velocidad de respuesta.

Las variables lingüísticas de salida para  $K_d$  son:

- **small** (valor pequeño): aumenta la velocidad de respuesta, menor estabilidad.
- big (valor grande): incrementa la estabilidad del sistema, conserva el comportamiento de error en régimen permanente.

Las variables lingüísticas de salida para  $K_i$  son:

S (valor pequeño): acción integral casi nula, controlador dependiente del término derivativo.

- SM (valor medianamente pequeño): un valor medianamente bajo de término integral genera un pequeño incremento en la velocidad respuesta del sistema, afectando un poco su estabilidad.
- **BM** (valor medianamente grande): un valor medianamente grande incrementa la velocidad de respuesta del sistema, pero a su vez incrementa su inestabilidad.
- **B** (valor grande) : acción integral fuerte, mayor velocidad de respuesta del sistema y mayor inestabilidad.

Las funciones de membresía para el caso de  $K_p$  y  $K_d$  están representadas en las Figuras 2.7 y 2.8. Los conjuntos de reglas difusas de sintonía, correspondientes a estas funciones, se presentan en las Tablas 2.5 y 2.6. La función de membresía para la ganancia  $K_i$ , se muestra en la Figura 4.1. Mientras tanto, sus respectivas reglas difusas, se presentan en la Tabla 4.1.

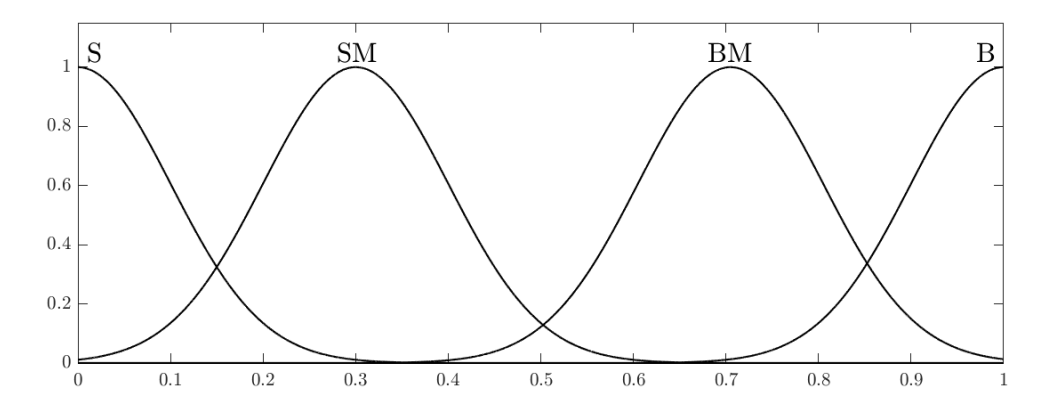


Figura 4.1: Funciones de membresía para la variable  $K_i$ .

	ο TZ'
Tabla 4.1: Reglas difusas de sintonía par	аn.

							$\imath$
			$\Delta e$	(k)			
	NB	NM	NS	ZO	PS	PM	PB
NB	В	В	В	В	В	В	В
NM	BM	BM	В	В	В	BM	BM
_			BM	В	BM	BM	SM
ZO	S	SM	BM	BM	BM	SM	S
PS	SM	BM	BM	В	BM	BM	SM
PM	BM	BM	В	В	В	BM	BM
PB	В	В	В	В	В	В	В
	NB NM NS ZO PS PM	NB B NM BM NS SM ZO S PS SM PM BM	NB NM NB B B NM BM BM NS SM BM ZO S SM PS SM BM PM BM BM	NB         NM         NS           NB         B         B         B           NM         BM         BM         B           NS         SM         BM         BM           ZO         S         SM         BM           PS         SM         BM         BM           PM         BM         BM         B	$\begin{array}{cccccccccccccccccccccccccccccccccccc$	$\begin{array}{c ccccccccccccccccccccccccccccccccccc$	$\begin{array}{c ccccccccccccccccccccccccccccccccccc$

Por otra parte, en cuanto a implementación, MATLAB proporciona un conjunto de funciones para el diseño, análisis y simulación de sistemas basados en lógica difusa en el Toolbox Fuzzy



Logic. Dentro de este entorno de desarrollo, la herramienta Fuzzy Logic Designer (Figura 4.2) posibilita agregar y eliminar variables de entrada y salida. Además de especificar las funciones de membresía y detallar las reglas difusas de la forma si-entonces. Para acceder a esta herramienta se puede utilizar el comando fuzzy.

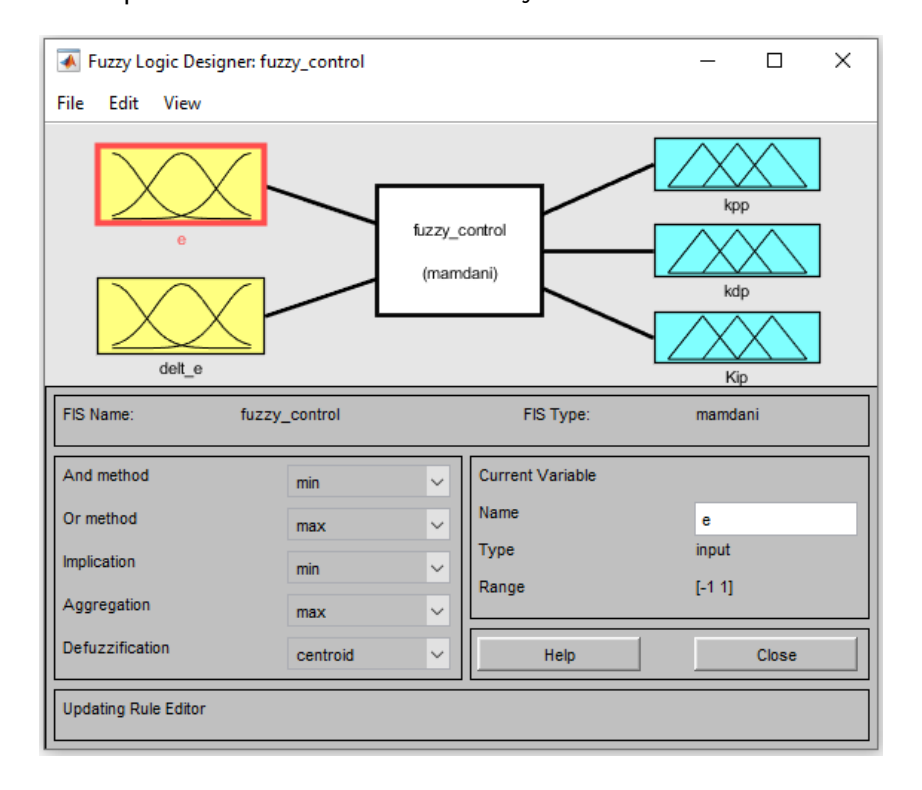


Figura 4.2: Fuzzy Logic Designer de MATLAB.

Se definen dos entradas, la señal del error y su diferencia, con funciones de membresía similares. En la Figura 4.3 se resalta la función de membresía para la variable lingüística de entrada ZO, donde los parámetros configurables son: el rango de valores del error de [-1 1], rango de visualización de [-1 1], nombre ZO, tipo triangular y valores que definen la forma de la función ([-0.3333 0 0.3333]).



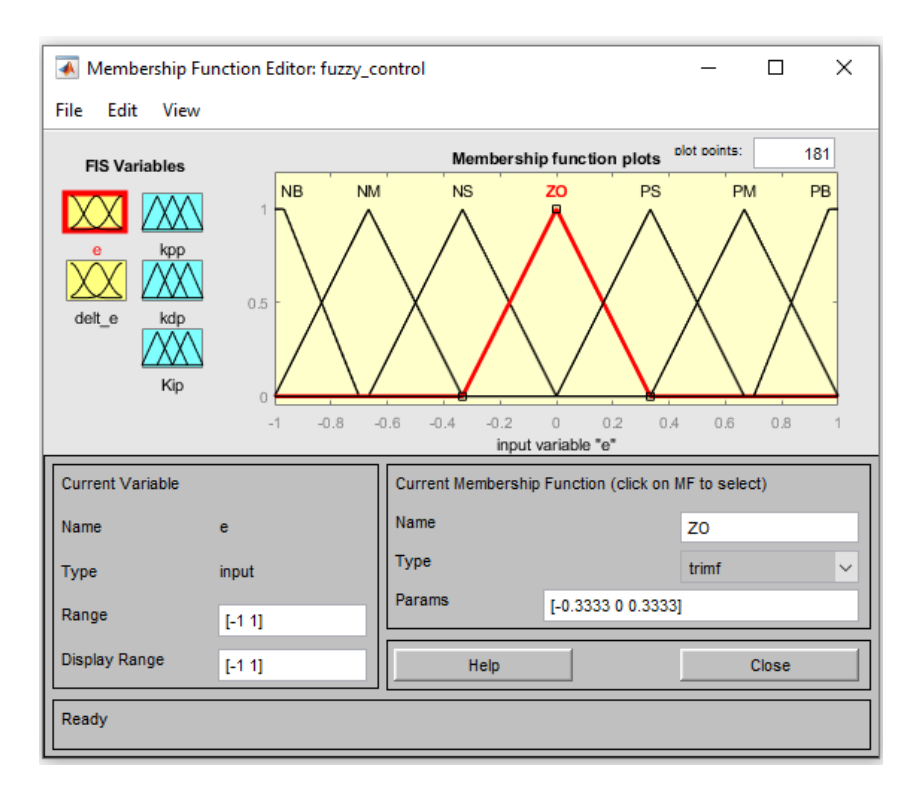


Figura 4.3: Edición de las funciones de membresía.

Luego de agregar las funciones de membresía para las dos entradas y tres salidas; se puede agregar, modificar o eliminar el conjunto de reglas con la herramienta Rule Editor mostrada en la Figura 4.4.

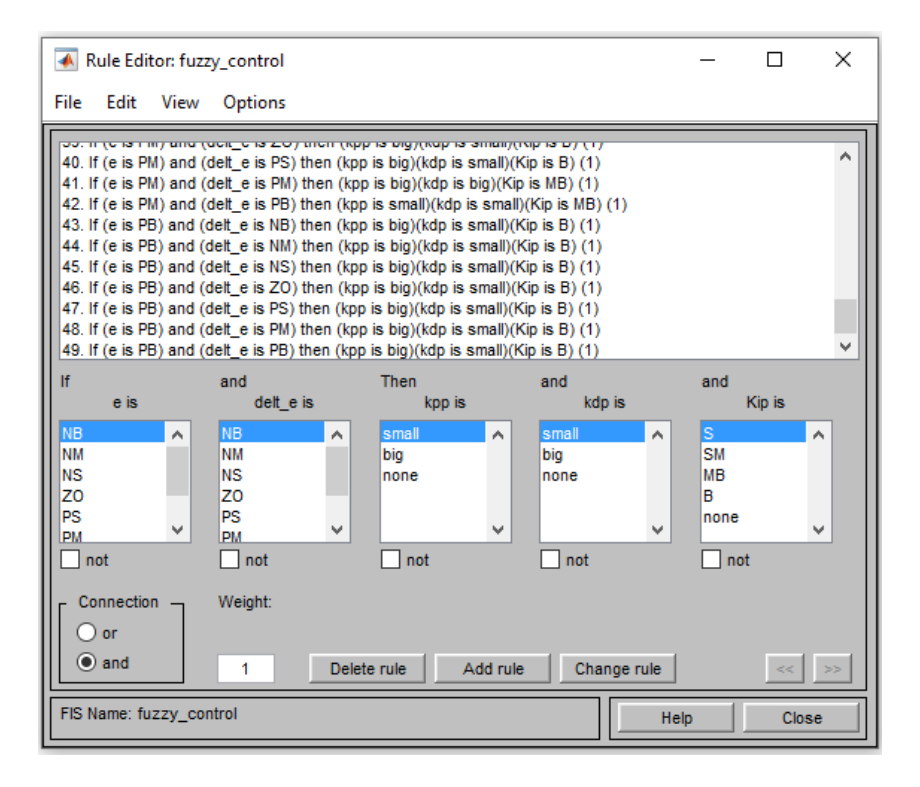


Figura 4.4: Edición de las reglas difusas.

El Toolbox Fuzzy Logic permite seleccionar entre los dos sistemas de inferencia difusa, ya sea de tipo Mamdani o Sugeno. A la vez, es posible pasar de un sistema a otro. En la configuración de este controlador, se utiliza un sistema de inferencia difuso (FIS) tipo Mamdani. Al finalizar la configuración, se genera un archivo con extensión .fis, en el Apéndice B.2 se muestra el contenido del archivo.

La sección de código, presentado en B.1, muestra un ejemplo de la implementación del controlador para un sistema representado en espacio de estados en tiempo discreto, utilizando un tiempo de muestreo de 0.01 seg. Primero, se lee el archivo para generar un sistema difuso denominado 'fis' y, a continuación, se determina la salida con la función 'evalfis'. Para ello, se utiliza la entrada del error y su diferencia. La salida corresponde a los valores normalizados. Por esto, sus ganancias  $K_p$ ,  $K_d$  y  $K_i$ , se obtienen a partir de (2.35 - 2.37).

La comparación entre los dos controladores se presenta en la Figura 4.5 para las funciones de transferencia (4.8), (4.9) y (4.10), donde los parámetros del controlador PID para estas funciones son obtenidos por el método de sintonía de ZN en [4]. En la Figura 4.5(a) se muestra la respuesta del sistema  $G_1(s)$  empleando el controlador PID para una entrada de escalón unitario, esta presenta un sobreimpulso de 32.98 % y tiempo de estabilización de 4.31 seg. La respuesta del sistema de tercer orden se muestra en la Figura 4.5(b), esta se caracteriza por tener un sobreimpulso de 17.04 % y tiempo de estabilización de 5.46 seg. Por último, la respuesta mostrada en la Figura 4.5(c), correspondiente a  $G_3(3)$ , presenta un sobreimpulso de 33.74 % y tiempo de estabilización de 3.73 seg.

Utilizando el controlador FGS-PID estos valores se reducen, obteniendo un sobreimpulso de 9.65 % y tiempo de estabilización de 3.19 seg en el sistema de segundo orden; un sobreimpulso de 6.21 % y tiempo de estabilización de 5.01 seg en el sistema de tercer y un sobreimpulso de 8.77 % y tiempo de estabilización de 2.93 seg en el sistema de cuarto orden.

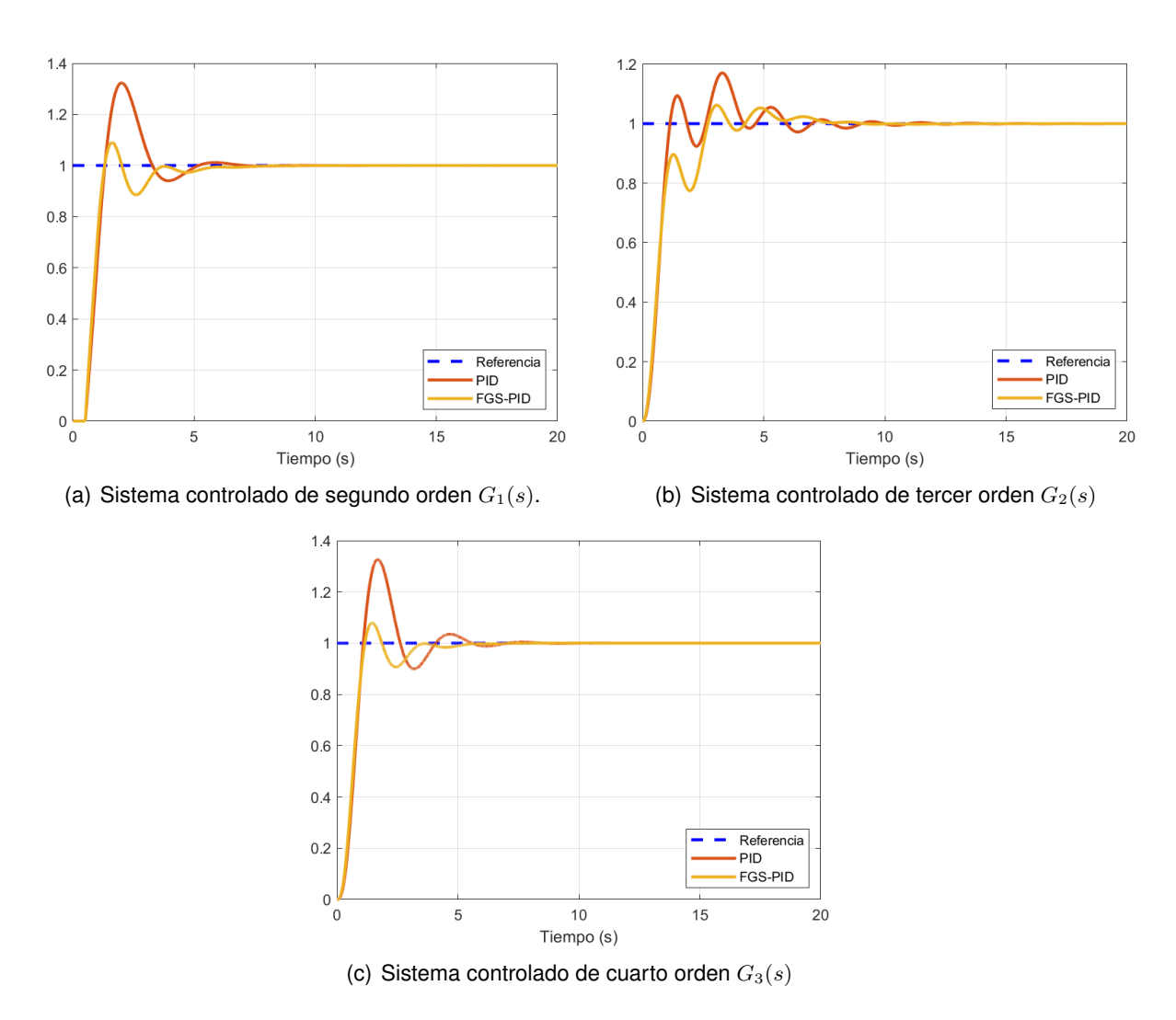


Figura 4.5: Comparación del controlador PID y FGS-PID.

# 4.1.2. Controlador PID con ganancia programada basado en el algoritmo recocido simulado (SA-PID)

A partir de los fundamentos del algoritmo recocido simulado, pseudocódigo presentado en el Algoritmo 1, a continuación se detalla la implementación respectiva. La solución inicial corresponde a los valores  $K_p$ ,  $K_d$  y  $K_i$ . Estos últimos se calculan por cualquier método de sintonía para el controlador PID.

La función objetivo (J) utiliza múltiples variables de desempeño. Además, se basa en la reducción del sobreimpulso (OS), tiempo de estabilización  $(t_{ss})$  y la integral del valor absoluto del error (IAE). Para unir los diferentes índices de desempeño en una sola función objetivo, se utilizan pesos  $(w_i)$  para cada variable, la función objetivo es definida en (4.11).



$$J = w_1 \cdot IAE + w_2 \cdot t_{ss} + w_3 \cdot OS \tag{4.11}$$

En las pruebas de funcionamiento se establece los siguientes valores:  $w_1=0.05$ ,  $w_2=0.05$  y  $w_3=0.9$ . Estos son considerados a partir del estudio realizado en [66], donde se analiza el rendimiento del controlador PID sintonizado para control de procesos usando un algoritmo genético multi-objetivo.

En MATLAB, para evaluar la función objetivo, se calcula la respuesta del sistema luego del lazo de control PID para una señal de referencia. Se utilizan distintos valores de ganancia del controlador y el modelo del sistema expresado en su función de transferencia (Extracto de código A.1).

Los parámetros de desempeño OS y  $t_{ss}$  son obtenidos utilizando la función 'stepinfo'. Esta última permite calcular las características del modelo de sistema o su conjunto de datos en respuesta a un escalón unitario de entrada. En efecto, el valor de IAE es obtenido mediante su aproximación de la integral por el método trapezoidal. Finalmente, en la evaluación de la función objetivo se verifica si, para un valor de ganancia, se produce inestabilidad en la salida. En el caso de que, el costo generado de la función objetivo tienda a infinito, se verifica su implementación en el Extracto de código presentado en C.2.

El algoritmo utiliza la función de temperatura con descenso exponencial, caracterizada en (2.14), la misma que se actualiza en cada iteración. Además del número máximo de iteraciones, se define un número de sub-iteraciones. Este proceso tiene la finalidad de que las soluciones vecinas de cada iteración se encuentren alejadas entre sí, ya que depende del cambio de las tres ganancias  $K_p$ ,  $K_d$  y  $K_i$ . El algoritmo de SA-PID para la sintonización de ganancias es presentado en el Extracto de código C.1.

La función CreateNeighbor (Apéndice C.3) genera soluciones vecinas de manera aleatoria en cada sub-iteración. Por tanto, al inicio se define la función de probabilidad (4.12), donde f(x) es la probabilidad de elegir una de las tres ganancias a variar en la sub-iteración. Además, la variable aleatoria x es la elección de la ganancia a variar (siendo,  $1 = K_p$ ,  $2 = K_i$ ,  $3 = K_d$ ). Cabe recalcar que, la ganancia  $K_i$  tiene mayor probabilidad de ser elegida.

$$f(x) = \begin{cases} 1/5 & , x = 1 \\ 1/2 & , x = 2 \\ 3/10 & , x = 3 \end{cases}$$
 (4.12)

UCUENCA 60

La determinación del valor de las ganancias es aleatoria. De hecho, cada valor es equiprobable dentro de su rango. Es decir, las ganancias son variables aleatorias continuas con distribución uniforme continua,  $K_p \sim U(K_{(p,min)},K_{(p,max)})$ ,  $K_d \sim U(K_{(d,min)},K_{(d,max)})$  y  $K_i \sim U(K_{(i,min)},K_{(i,max)})$ .

La comparación entre los dos controladores se muestra en la Figura 4.6, para esto se utiliza las funciones de transferencia (4.8), (4.9) y (4.10). Donde la respuesta empleando el controlador SA-PID en el sistema de segundo orden tiene un sobreimpulso casi nulo, de 0.0001 % y un tiempo de estabilización de 3.46 seg. Para el sistema de tercer orden se tiene un sobreimpulso de 0.0015 % y un tiempo de estabilización de 4.32 seg. Por último, el sistema de cuarto orden presenta un sobreimpulso de 0.0029 % y un tiempo de estabilización de 3.69 seg. Estos resultados demuestran una reducción del sobreimpulso y tiempo de estabilización con respecto al controlador PID, incluso un mejor desempeño en la reducción del sobreimpulso que el controlador FGS-PID.

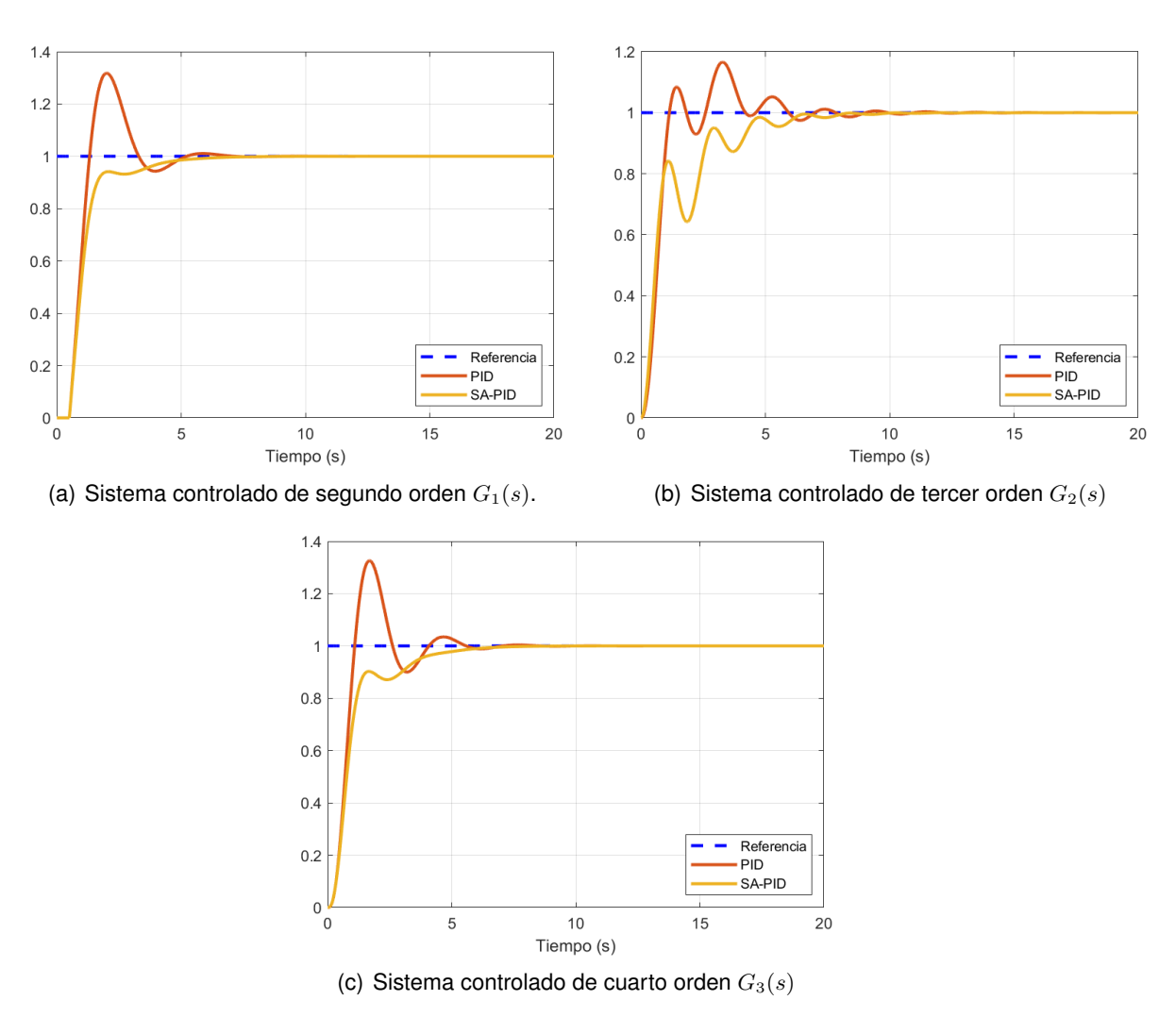


Figura 4.6: Comparación del controlador PID y SA-PID



Estas pruebas se realizaron utilizando 50 iteraciones, la elección de este valor busca una buena relación entre el número de soluciones vecinas analizadas y la carga computacional que implica. Además, se utiliza 5 sub-iteraciones, este valor considera la probabilidad de variar la ganancia  $K_p$  (menor probabilidad de ser elegida, 1/5). Por último  $T_0 = 0.025$  y  $\alpha = 0.99$  son valores propuestos por los autores de [75] en la implementación de algoritmo SA estándar en MATLAB.

## 4.1.3. Controlador PID con ganancia programada basado en el algoritmo A estrella (A\*-PID)

En base a los fundamentos teóricos del algoritmo  $A^*$ , Algoritmo 2, se plantea su implementación para la programación de ganancias del controlador PID. Al iniciar el algoritmo, se define un nodo inicial y un nodo destino. El nodo inicial corresponde a los valores de ganancia  $K_p$ ,  $K_d$  y  $K_i$  obtenidos con cualquier método de sintonía del controlador PID. En el caso del nodo destino, se busca el nodo que mejora las características del controlador. Sin embargo, al no conocerlo se tienen dos opciones. La primera consiste en la elección de un nodo aleatorio dentro del espacio de búsqueda y al final del algoritmo considerar como destino a uno de los nodos analizados que mejoraron las características del controlador. La segunda opción es elegir un nodo que no se encuentra en el espacio de búsqueda. En ese caso, el algoritmo analizará todos los valores de su espacio de búsqueda y, al final, seleccionará el nodo con mejor evaluación.

De acuerdo a la Figura 4.7, el espacio de búsqueda es representado en una matriz de tres dimensiones con i filas, j columnas y k capas. Es decir, existen i valores de  $K_p$  elegidos entre el rango  $[K_{(p,min)},K_{(p,max)}]$ , j valores de  $K_p$  elegidos entre el rango  $[K_{(d,min)},K_{(d,max)}]$  y k valores de  $K_i$  entre el rango de  $[K_{(i,min)},K_{(i,max)}]$ . Por lo tanto, cada nodo de la matriz corresponde una combinación de las ganancias.



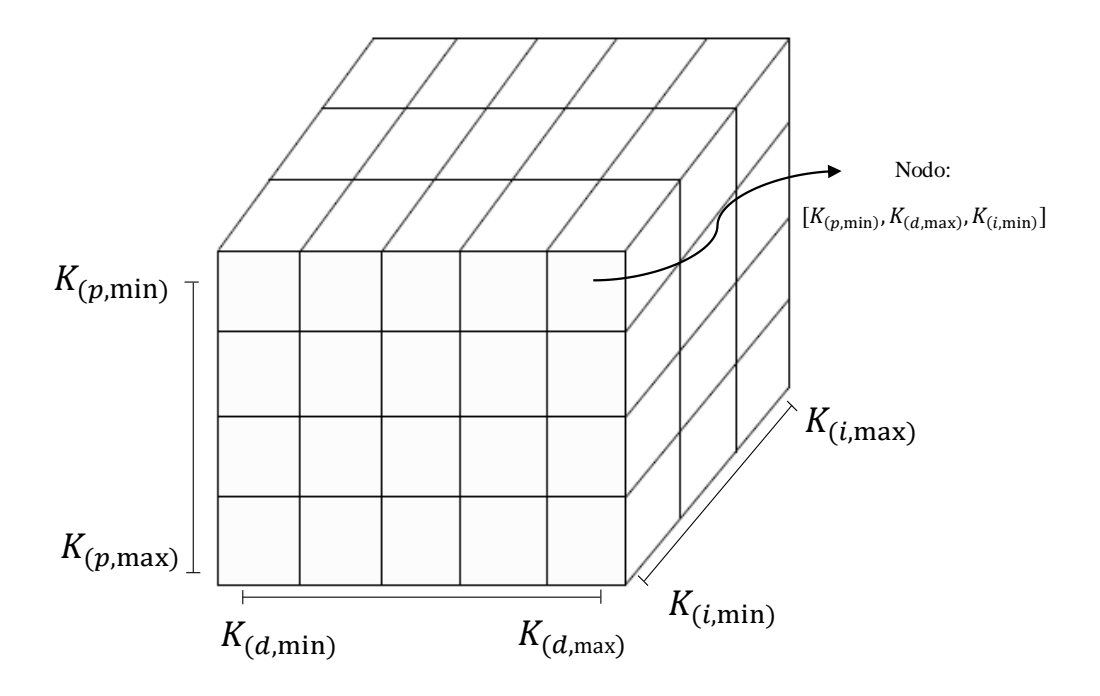


Figura 4.7: Espacio de búsqueda

En MATLAB, para mejorar el proceso de búsqueda, se asigna un identificador a cada nodo. Dicho identificador es un número entero positivo que es una transformación lineal de la fila i, columna j y la capa k, de acuerdo al Extracto de código D.2. Para la comparación realizada en la Figura 4.8 se utiliza una matriz con dimensiones i=2, j=6 y k=3, lo que equivale a un espacio de búsqueda de 36 nodos. Es evidente que la dimensión del espacio de búsqueda está relacionado con la complejidad computacional que implica analizar los nodos. Entre más grande es el espacio de búsqueda, mejores soluciones se encontrarán, sin embargo, implica mayor carga computacional, además de requerir mayor cantidad de memoria.

El Extracto de código D.1, desarrollado en MATLAB, muestra el proceso de búsqueda del algoritmo, donde un nodo o ganancia es tratado como una coordenada en el espacio tridimensional. Por tanto, la función de expansión del algoritmo corresponde a la elección de las coordenadas adyacentes con respecto a la coordenada actual. Mientras que, los nodos sucesores son los valores de ganancias en las coordenadas adyacentes.

El algoritmo  $A^*$  emplea la función de evaluación F = G + H para encontrar las ganancias que mejoren el proceso de control, para este algoritmo H es descrita de manera similar por (4.11) permitiendo estimar si la ganancia actual está cerca de la solución óptima. Es importante considerar que entre más cerca esté de la solución, el valor de H disminuirá. Por otro lado, G descrita en (4.13), toma en cuenta el costo que genera el moverse de la ganancia inicial hasta



la actual. Sin mencionar que entre más se aleje de la ganancia inicial, aumenta la inestabilidad en el sistema. Por ello, el costo es mayor.

$$G(x,y,z) = G(X_1,Y_1,Z_1) + \sqrt{(x-X_1)^2 + (y-Y_1)^2 + (z-Z_1)^2}$$
 (4.13)

La expresión (4.13) se basa en la distancia Euclidiana entre dos puntos en un espacio tridimensional. El primer punto  $(X_1,Y_1,Y_1)$  corresponde al índice del nodo de inicio y el punto (x,y,z) al índice del nodo actual.

Al evaluar una nueva ganancia, su identificador se guarda en la lista de abiertos. Esto se realiza para evitar que, en otra iteración, se calcule nuevamente su estimación H. En el caso de G, su valor se actualiza siempre que este sea menor al calculado previamente.

Luego de analizar los nodos expandidos, a partir de la lista de abiertos de los nodos, se determina el valor de F con menor costo. Posteriormente, se elimina dicho nodo de la lista de abiertos y se coloca en la lista de cerrados. Se continúa el proceso de búsqueda, tomando la coordenada de este nodo como inicio.

La comparación entre los dos controladores se muestra en la Figura 4.8, para esto se utiliza las funciones de transferencia (4.8), (4.9) y (4.10). Donde la respuesta del sistema de segundo orden empleando el controlador A\*-PID tiene un tiempo de estabilización de 3.96 seg y sobreimpulso de 1.14%. Para el sistema de tercer orden se tiene un sobreimpulso de 0.65% y un tiempo de estabilización de 4.11 seg. Por último, el sistema de cuarto orden presenta un sobreimpulso de 1.030% y un tiempo de estabilización de 3.25 seg. Los resultados muestran una disminución en estos dos índices de desempeño con respecto al controlador PID, además de un menor sobreimpulso que el controlador FGS-PID.

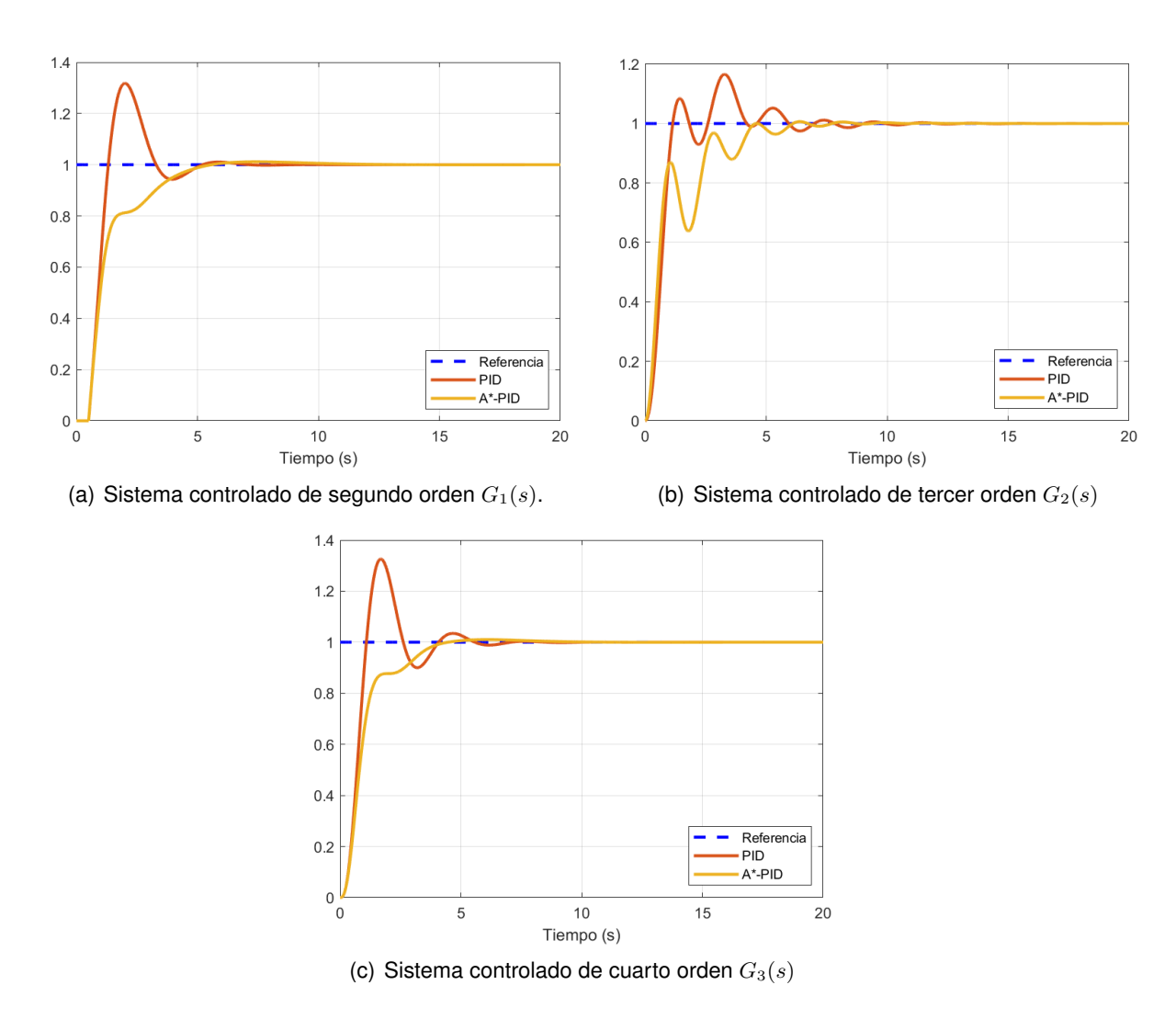


Figura 4.8: Comparación del controlador PID y A\*-PID

## 4.2. Simulación del controlador PID con ganancia programada y sistema multitanque.

En esta sección, se describe el modelado del sistema multitanque y los criterios considerados en la simulación de los algoritmos de IA para la programación de ganancias del controlador PID.

## 4.2.1. Modelado del sistema multitanque

El sistema multitaque es un sistema MIMO que consta de dos variables de salida y tres variables de control. Las variables de salida representan el nivel de agua del tanque 1 y tanque 2. Mientras que, las variables de entrada son el porcentaje de apertura de las válvulas; donde la primera válvula controla el flujo de entrada al sistema, la segunda válvula el flujo que sale del tanque 1 e ingresa al tanque 2 y la tercera válvula el flujo de salida del tanque 2. El diagrama



del sistema, se presenta en la Figura 4.9.

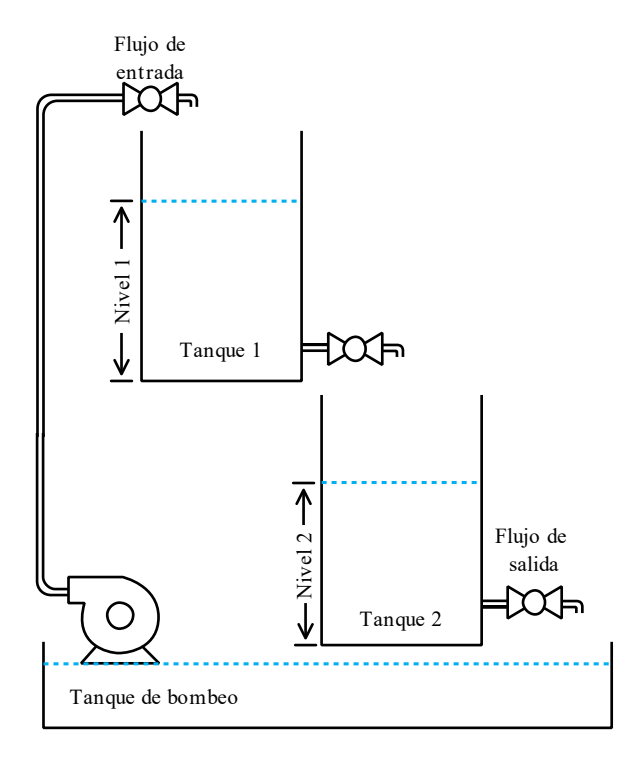


Figura 4.9: Esquema simplificado del sistema multitanque. *Imagen adaptada de [5]*.

Las ecuaciones diferenciales que describen la dinámica del sistema son:

$$\frac{dh1}{dt} = \frac{1}{A_1} \left( u_1 q_0 - u_2 a_2 \sqrt{2gh_1} \right) 
\frac{dh_2}{dt} = \frac{1}{A_2} \left( u_2 a_2 \sqrt{2gh_1} - u_3 a_3 \sqrt{2gh_2} \right)$$
(4.14)

### Donde:

- $A_1$ ,  $A_2$ : área de la sección transversal de los tanques 1 y 2.
- lacksquare  $a_2, a_3$ : área de la sección transversal de los tubos que conecta las válvulas 2 y 3.
- g: aceleración de la gravedad.
- $h_1$ ,  $h_2$ : nivel de agua de los tanques 1 y 2.
- $q_0$ : caudal permanente o nominal de la bomba.
- $u_1$ ,  $u_2$ ,  $u_3$ : Porcentaje de apertura de las válvulas 1, 2 y 3, valores en el rango de 0 (válvula completamente cerrada) y 1 (válvula completamente abierta).

Se agregan fallas al sistema por medio de fugas provocadas por un agujero en el fondo de

UCUENCA 66

los tanques 1 y 2. Estas fugas se modelan como un flujo de salida. Por tanto, el modelo del sistema descrito anteriormente se representa de la siguiente manera:

$$\frac{dh1}{dt} = \frac{1}{A_1} \left( u_1 q_0 - l_1 - u_2 a_2 \sqrt{2gh_1} \right) 
\frac{dh_2}{dt} = \frac{1}{A_2} \left( u_2 a_2 \sqrt{2gh_1} - l_2 - u_3 a_3 \sqrt{2gh_2} \right)$$
(4.15)

Donde:

- $a_{l_1}, a_{l_2}$ : área de la sección transversal de los agujeros que provocan la fuga en los tanques 1 y 2.
- $l_1$ ,  $l_2$ : flujo de salida en las fugas de los tanques 1 y 2.

$$l_1 = k_{l_1} a_{l_1} \sqrt{2gh_1} \tag{4.16}$$

$$l_2 = k_{l_2} a_{l_2} \sqrt{2gh_2} (4.17)$$

•  $k_{l_1}$ ,  $k_{l_2}$ : indicador de la presencia de fugas en los tanques 1 y 2;

$$k_{1,2} = \begin{cases} 0, & ext{no existe fuga} \\ 1, & ext{existe fuga} \end{cases}$$
 (4.18)

Las constantes físicas del sistema se presentan en la Tabla 4.2.

Tabla 4.2: Constantes físicas modelo del sistema multitanque. Elaborada con datos de [5]

Constante	Valor	Unidad
$a_2$	$4.380 \times 10^{-5}$	$m^2$
$a_3$	$4.601 \times 10^{-5}$	$m^2$
$A_1$	0.04	$m^2$
$A_2$	0.04	$m^2$
$q_0$	$6.667 \times 10^{-5}$	$m^3/s$
$\underline{}$	9.81	$m/s^2$

### 4.2.2. Diseño del sistema de control

El sistema de control de ganancia programada (GS-Gain Scheduling), diseñado a partir de algoritmos de inteligencia artificial, es implementado en el sistema multitanque de acuerdo al esquema presentado en la Figura 4.10. Donde  $h_1$  y  $h_2$  son los niveles de referencia medidos de los tanques;  $ref_{h_1}$  y  $ref_{h_2}$  son los niveles de referencia deseados. Las señales de error  $e_1$ ,  $e_3$  se obtienen a partir de la diferencia del nivel medido con el deseado. Mientras que,  $e_2$  se

obtiene a partir de la diferencia entre los niveles medidos  $(h_2 - h_1)$  con la diferencia de los niveles de referencia deseados  $(ref_{h_1} - ref_{h_2})$ . Las señales de error ingresan al controlador PID y son empleadas por los algoritmos de ganancia programada para el ajuste en línea del controlador. Finalmente, las señales de control  $u_1$ ,  $u_2$  y  $u_3$ , realizan acción sobre la planta a través de la apertura o cierre de las válvulas.

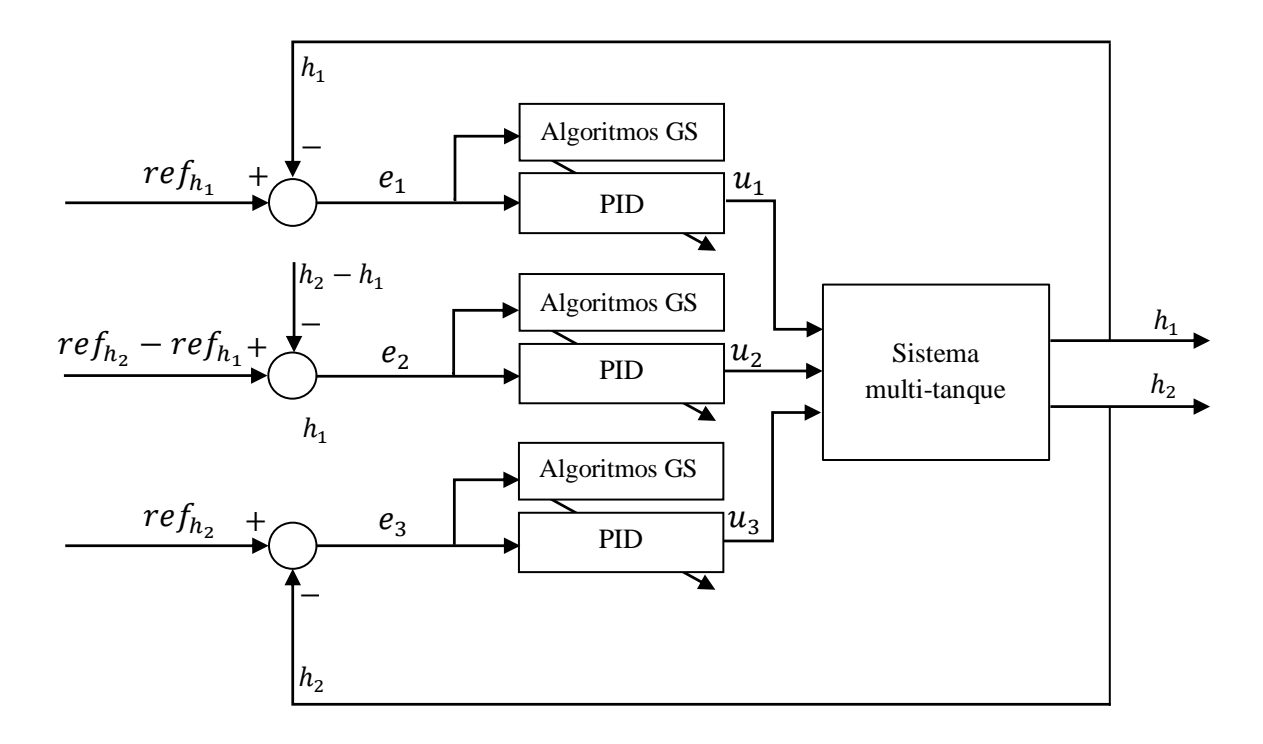


Figura 4.10: Sistema de control PID con ganancia programada y sistema multitanque.

En este proyecto, se analizan cuatro esquemas de control. El PID clásico donde sus valores de ganancia son obtenidos por cualquier método de sintonía o de manera experimental. El esquema de control FGS-PID trabaja con el error y su primera diferencia, se caracteriza por su ajuste de ganancias en tiempo real. Es decir, luego de cada muestra, se realiza el ajuste de las ganancias. Respecto al esquema de control SA-PID, trabaja en línea, pero su ajuste lo hace luego de un determinado número de muestras. La razón es que este esquema de control analiza el comportamiento del sistema ante cambios de referencia, evaluando su tiempo de estabilización y sobre-impulso. Finalmente, el esquema de control A\*-PID, similar al anterior, trabaja luego de determinadas muestras.

Estos controladores son implementados, independientemente, en cada una de las válvulas para el control del nivel de agua en los tanques 1 y 2. El tiempo de muestreo que se utiliza es de un segundo, debido a que el cambio de estado de abierto a completamente cerrado de la válvula proporcional es muy lento (>5 s).



## 4.2.3. Simulación del sistema en MATLAB

Se realiza la simulación de los controladores en el entorno de programación MATLAB, usando su entorno gráfico Simulink. En la Figura 4.11, se muestra el diagrama en bloques de la implementación. A partir de ello, se realiza la comparación entre el esquema de control PID y los algoritmos GS.

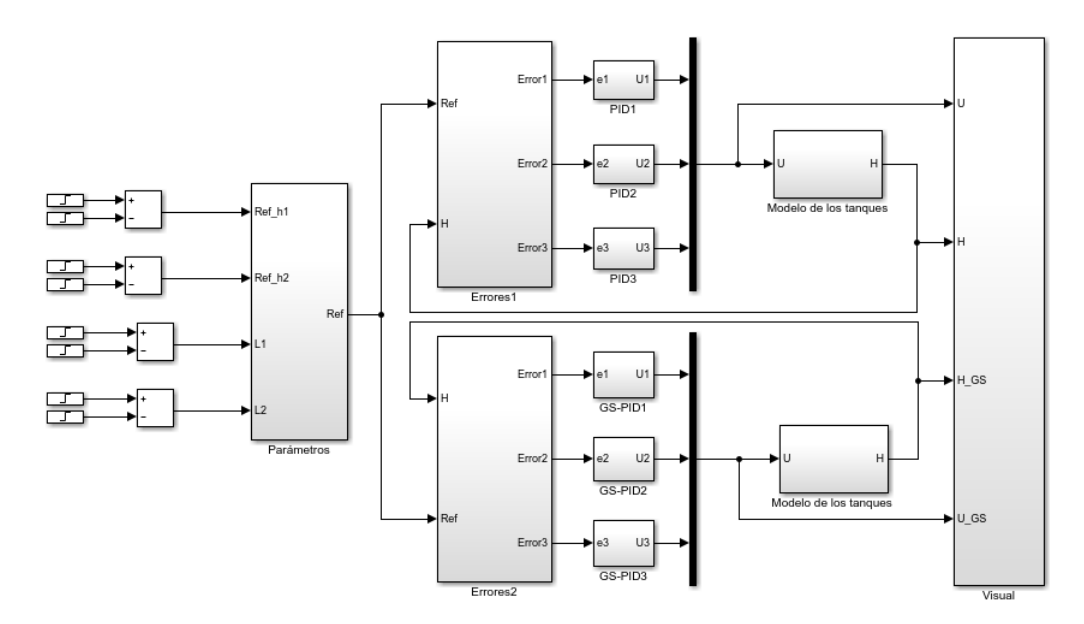


Figura 4.11: Sistema de control PID con ganancia programada y sistema multitanque en Simulink.

La simulación del sistema está compuesta por subsistemas entre los que se diferencian:

### 1. Parámetros

Este subsistema es único para los cuatro esquemas de control. De hecho, contiene los niveles de referencias deseados de los tanques,  $Ref_{h1}$ ,  $Ref_{h2}$  y los parámetros del sistema de fugas.



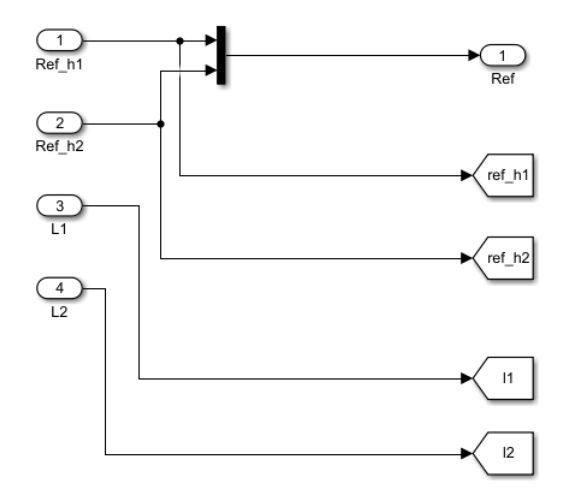


Figura 4.12: Subsistema Parámetros.

### 2. Errores

Este subsistema determina las señales de error a partir de los niveles de referencia deseados con los medidos a la salida del sistema. A pesar de su naturaleza de subsistema independiente para cada controlador, todos los niveles de referencia realizan la misma función.

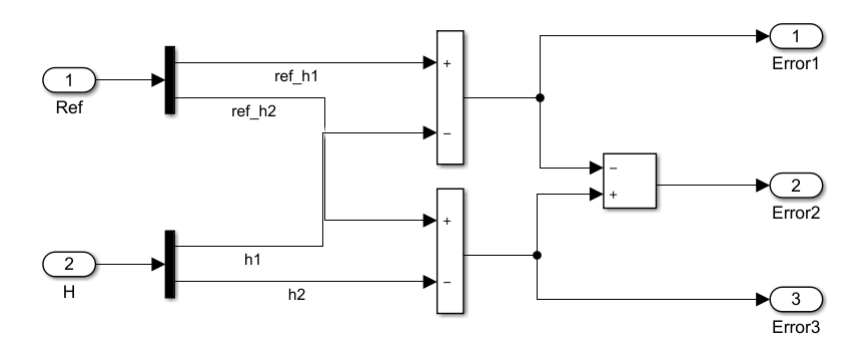


Figura 4.13: Subsistema Errores



### 3. Modelo de tanques

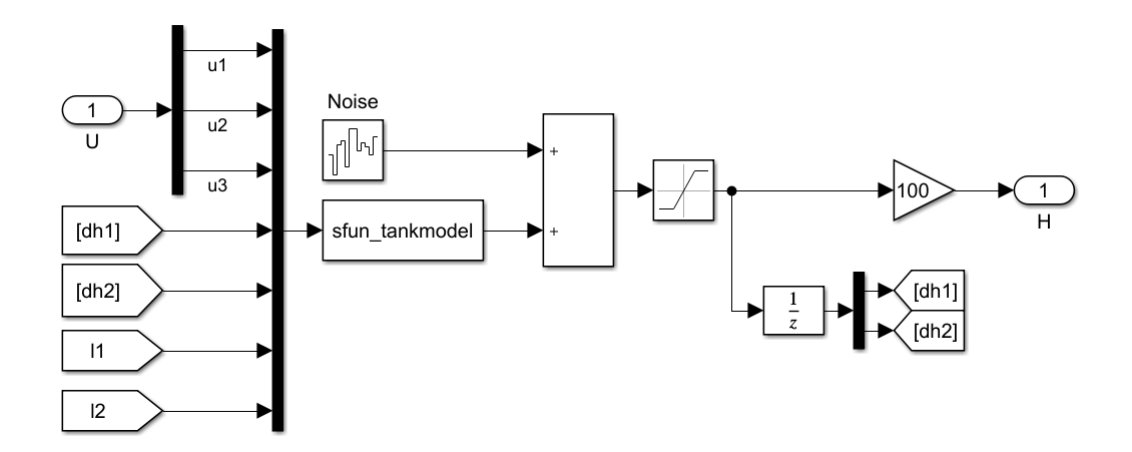


Figura 4.14: Subsistema del modelo del sistema de multitanque.

Como su nombre lo indica, este subsistema modela el sistema multitanque, resolviendo las ecuaciones de diferencia descritas en la Sección 4.2.1. Para ello, parte de funciones-S o funciones del sistema, estas funciones permiten ampliar las capacidades de Simulink y diseñar bloques de propósito general. Tal es el caso de modelar un sistema dinámico complejo caracterizado por su no-linealidad. El bloque de funciones-S hace uso de archivos que necesitan un código estructurado para que Simulink lo pueda ejecutar. Por esto, MATLAB proporciona plantillas de ejemplificación. En este caso, para modelar el sistema, se modifica el archivo de sfuntmp1.m.

### 4. Visualización

Este subsistema permite visualizar las gráficas resultantes obtenidas en la simulación. Estas consisten en la visualización de los valores de: nivel de fluido de los tanques  $H_1$  y  $H_2$ , nivel de referencia deseado  $Ref_{h_1}$  y  $Ref_{h_2}$ ; y, señales de control  $u_1$ ,  $u_2$  y  $u_3$ .

### 5. Controlador PID

La Figura 4.15 muestra la representación en bloques del controlador PID en Simulink. El esquema presentado ha sido implementado en cada una de las tres válvulas. De hecho, su señal de control, escrita en (4.19), se obtiene discretizando la función de transferencia del controlador PID continuo mostrada en (2.18).



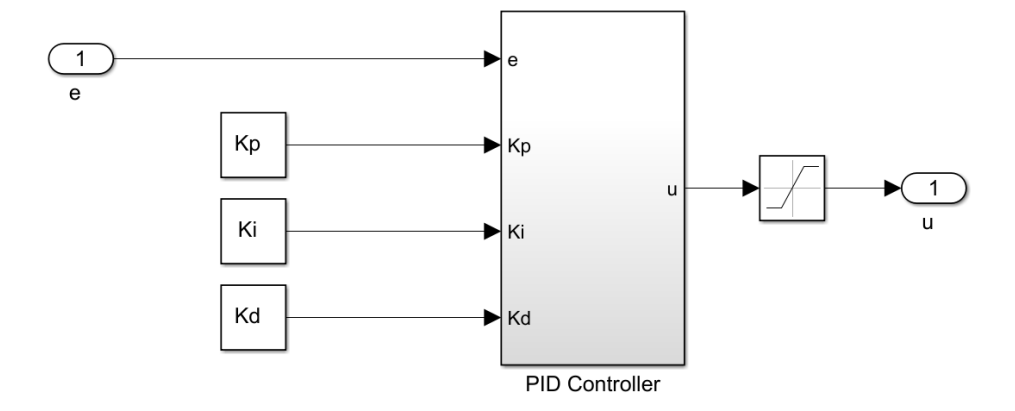


Figura 4.15: Controlador PID.

$$u[k] = K_p e[k] + K_i T_s \sum_{i=1}^{n} e[i] + \frac{K_d}{T_s} \Delta e[k]$$
(4.19)

### Donde:

- u[k]: señal de control.
- e[k]: señal del error obtenido de la diferencia de la señal de salida y la señal de referencia.
- $\Delta e[k] = e[k] e[k-1]$
- T<sub>s</sub>: tiempo de muestreo.
- lacksquare  $K_p,\,K_d$  y  $K_i$ : parámetros de controlador  $extstyle{PID}$   $(K_d=T_dK_p,\,K_i=rac{K_p}{T_i})$

La señal de salida corresponde al porcentaje de apertura de las válvulas, por lo que su valor es saturado entre el rango de 0 y 1. En este contexto, 0 es completamente cerrado y 1 completamente abierto. En el caso de la válvula 3, la señal de control es negada, ya que controla el flujo de salida del tanque 2; a diferencia de las otras válvulas que controlan el flujo de entrada del tanque 1 y tanque 2. Los parámetros del controlador son obtenidos de manera experimental, es decir, sintonía mediante prueba-error [13]. Este método de sintonización de lazo cerrado sugiere fijar el valor de  $K_p$  igual o cercano a uno, reduciendo  $K_d$  y  $K_i$  al mínimo (cero). El valor de  $K_p$  se ajusta tomando en cuenta la acción de control proporcional descrita en la Sección 2.2.1. Luego de encontrar el valor se ajusta de la misma manera para  $K_d$  y  $K_i$ .

Los parámetros de los controladores mostrados en la Tabla 4.3 son elegidos de acuerdo a los siguientes criterios y consideraciones:

1) El sistema multitanque es un sistema MIMO, por lo que utilizar el método de sintoni-

zación ZN genera inestabilidad, esto sumado a que el sistema no es lineal [76].

- 2) Las señales de control  $u_1$ ,  $u_2$  y  $u_3$  representan el porcentaje de apertura de las válvulas, cuyos valores están comprendidos entre 0 y 1.
- 3) El error máximo y mínimo es conocido. Para  $e_1=ref_{h_1}-h_1$  es máximo cuando  $h_1=0,\,ref_{h_1}=30$  (altura del tanque 1 en cm) y mínimo cuando  $h_1=30,\,ref_{h_1}=0,$  de igual forma  $\max(e_3)=30$  y  $\min(e_3)=-30$ . Por último, para  $e_2=e_3-e_1$  se tiene que el valor  $\max(e_2)=60$  y  $\min(e_2)=-60$ .
- 4) El método de prueba-error sugiere, en un principio, fijar las ganancias  $K_d$  y  $K_i$  a cero (únicamente acción proporcional donde  $u(t)=K_pe(t)$ ). Por tanto, si  $\max(u_1)=1$ , entonces puede ser expresada como  $K_p \max(e_1)=1$ ; usando el criterio 3) da como resultando  $K_p=\frac{1}{\max(e_1)}=0.033$ , este valor indica el mínimo  $K_p$  que garantiza una apertura completa de la válvula 1 cuando el error es máximo, por lo que, establece el límite inferior de  $K_p$  para el método. El mismo análisis se realiza para  $e_2$  y  $e_3$ , donde el mínimo  $K_p$  es 0.0166 y 0.033 respectivamente.
- 5) El límite superior de  $K_p$  para el método se hace considerando un caso crítico del sistema real, suponiendo que para todos los valores de  $e_1$  tal que  $e_1 \geq 0.1$  hace que  $u_1=1$ , es decir, la salida se satura provocando una apertura completa de la válvula en cada pequeño error. Este efecto no es deseado, ya que la respuesta del sistema se encontrará en constante oscilación (similar al control on-off). Por tanto, este criterio establece que el límite superior es  $K_p=\frac{1}{e_1}=10$ , lo mismo aplica para  $e_2$  y  $e_3$ .
- 6) Los ajustes de  $K_d$  y  $K_i$  se realiza teniendo en cuenta las acciones básicas de control de la Tabla 2.1. Por tanto, partiendo desde cero se aumenta el valor de  $K_d$ , para disminuir el sobreimpulso y tiempo de establecimiento. Y se ajusta  $K_i$  para eliminar el error de estado estacionario. Además, se utiliza valores bajos para evitar que de la señal de control se sature constantemente.

Tabla 4.3: Parámetros de los controladores PID.

	PID 1	PID 2	PID 3
$K_p$	0.2	0.2	0.7
$K_d$	0.01	0.1	0.1
$K_i$	0.000575	0.0007	0.0015

Los valores de ganancias presentados en Tabla 4.3 son usados para las pruebas en la simulación. En el caso del sistema real se utiliza los mismos valores de  $K_p$  y  $K_d$ , y se ajusta levemente el término integral  $K_i$ . Para mejorar la respuesta del sistema, reducien-

do el tiempo de estabilización, los valores de ganancias considerados para las pruebas en el sistema real son:  $K_i=0.0005$ ,  $K_i=0.0001$  y  $K_i=0.001$  en los controladores PID

#### 6. Controlador FGS-PID

1, 2 y 3 respectivamente.

El esquema de control FGS-PID presentado en la Figura 4.16, es implementado sobre una función-S. Los parámetros de entrada que necesita esta función, corresponde a la señal del error  $e_k$  y su diferencia  $\Delta e_k$ . Debido a que estas dos señales de entrada deben encontrarse en el rango de -1 y 1 de acuerdo a sus funciones de membresía, se limita su salida sobre este rango. La función sfun\_fuzzycontrol implementada en el Extracto de código B.3, calcula las ganancias del controlador de la manera similar que en el Extracto código B.1 para un sistema representado en espacio de estados.

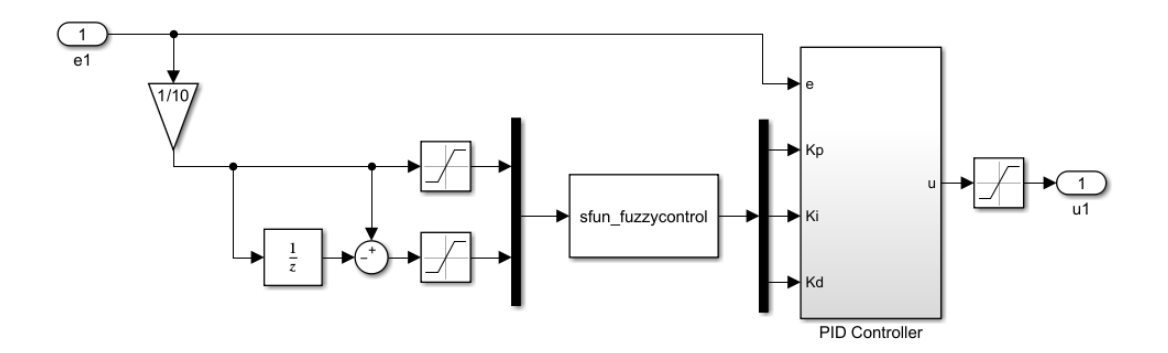


Figura 4.16: Bloque del controlador FGS-PID.

El algoritmo FGS-PID usa reglas y razonamiento difuso para determinar los parámetros del controlador PID en cada periodo de muestreo. Dichos parámetros están comprendidos en un rango mínimo y máximo, especificado en la Tabla 4.4.

Tabla 4.4: Parámetros de los controladores FGS-PID.						
PID 1 PID 2 PID 3						
$[K_{(p,min)};K_{(p,max)}]$	[0.1066; 0.2]	[0.1066; 0.2]	[0.3731; 0.7]			
$[K_{(d,min)};K_{(d,max)}]$	[0.0107; 0.02]	[0.1067; 0.2]	[0.1067; 0.2]			
$[K_{(i,min)};K_{(i,max)}]$	$[5.75 \cdot 10^{-6}; 4.9 \cdot 10^{-4}]$	$[7 \cdot 10^{-6}; 5.9 \cdot 10^{-4}]$	$[1.5 \cdot 10^{-5}; 1.3 \cdot 10^{-3}]$			

# 7. Controlador SA-PID

La Figura 4.17, muestra la representación en bloques del controlador SA-PID. El algoritmo principal se encuentra dentro la función sfun\_SA implementada en el Extracto de

**U**CUENCA

código C.4. A diferencia del esquema FGS-PID, este controlador no actúa sobre cada muestra, sino luego de un determinado número de muestras especificadas antes de la ejecución (en la simulación del sistema multitanque se eligen 500 muestras para asegurar la estabilización en la respuesta). Así, el algoritmo se habilita en cada cambio de referencia, realizando en cada activación una actualización de las iteraciones y subiteraciones, determinación de las ganancias vecinas y cálculo del valor de la función objetivo. El algoritmo se detiene luego de cumplir con el número de iteraciones y subiteraciones que fueron especificadas. A partir de ese punto, las ganancias con mejores resultados son definidas como los nuevos parámetros del controlador. El algoritmo utiliza las condiciones iniciales descritas en la Sección 4.1.2 a excepción de las iteraciones. Recordando que el número de sub-iteraciones se eligen para asegurar al menos un cambio de la ganancia  $K_p$  en 5 activaciones del algoritmo, y el número de iteraciones se eligen en relación al número de soluciones vecinas analizadas y la carga computacional que implica. Para la simulación del sistema multitanque se reducen a 8 iteraciones, lo que equivale a 40 activaciones de algoritmo o cambios de referencia.

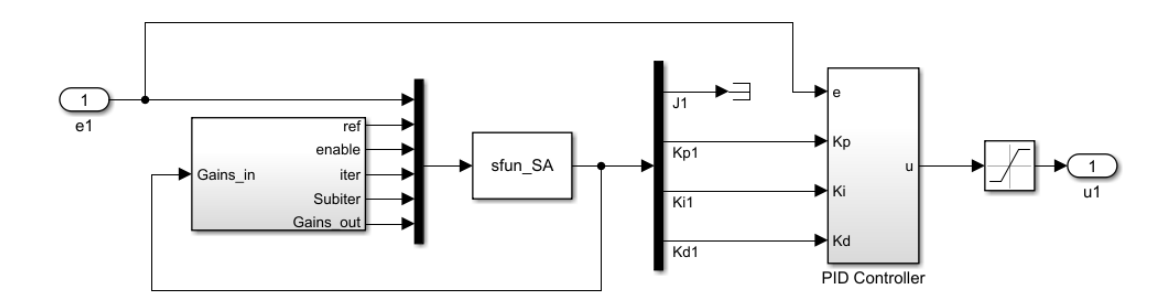


Figura 4.17: Bloque del controlador SA-PID.

#### 8. Controlador A\*-PID

El algoritmo principal de este esquema de control, que se muestra en la Figura 4.18, es implementado en la función sfun\_Astar descrita en el Extracto de código D.3. De forma similar al controlador SA-PID, este sistema se habilita en los cambios de referencia. Además, en él se determina el costo de la función F usando muestras de la señal de salida luego del cambio de referencia.



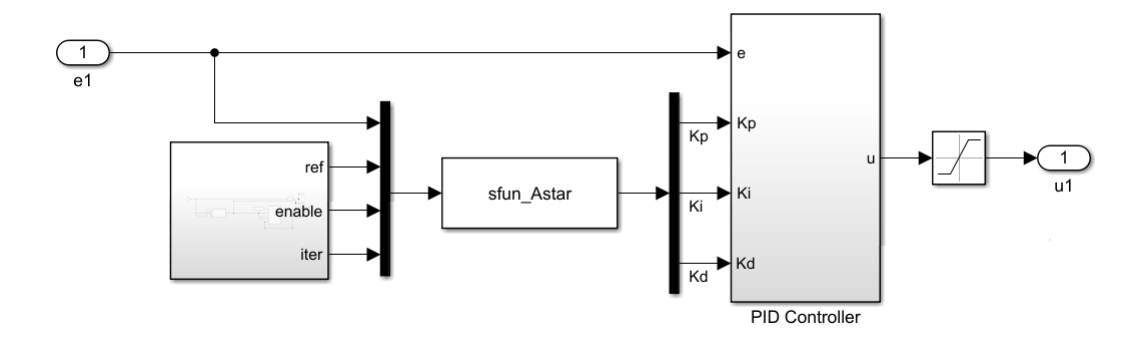


Figura 4.18: Bloque del controlador A\*-PID.

Por otra parte, en la ejecución del algoritmo lo ideal es encontrar el nodo destino, sin embargo, puede darse el caso que dicho nodo no esté en el espacio de búsqueda, en esta situación todos los nodos son analizados, seleccionado aquel nodo con menor costo en la heurística H. Al finalizar, se establece los valores de ganancias asociados a este nodo como los nuevos parámetros del controlador. Si bien, para un espacio de búsqueda pequeño no es problema analizar todos los nodos, cuando crece dicho espacio resulta conveniente tener control de la cantidad de nodos que se desea analizar, es por ese motivo que para la implementación del este algoritmo se agrega el parámetro de iteraciones. El algoritmo se ejecuta hasta completar el número de iteraciones inicialmente establecidas o encontrar el nodo destino. Para la simulación del sistema multitanque se estableció 40 iteraciones, que representa la misma cantidad de soluciones vecinas que se analiza en el controlador SA-PID. El espacio de búsqueda está dimensionado de tal forma que cuente con el número de nodos necesarios para cumplir con las iteraciones. Además, para tener el mismo número de valores de ganancias se elige una matriz cuadrada con dimensiones i=4, j=4 y k=4. Como ejemplo, en la Figura 4.19 se muestra el espacio de búsqueda para el controlador de la tercera válvula (PID 3).

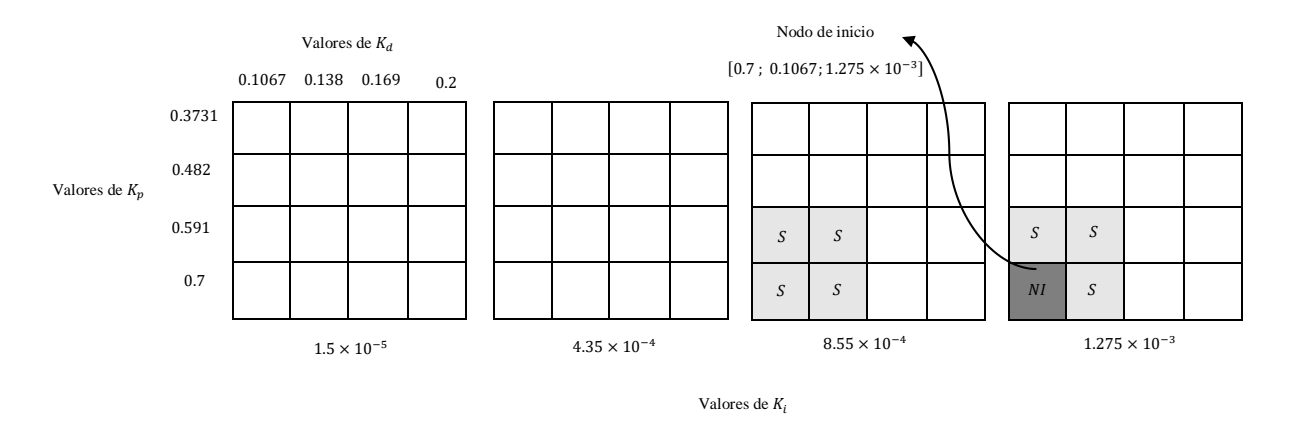


Figura 4.19: Definición del espacio de búsqueda del controlador A\*-PID.

La Figura 4.19 describe de manera gráfica el funcionamiento del controlador PID-A\*, donde cada recuadro representa un nodo con la combinación de las ganancias  $K_p$ ,  $K_d$ y  $K_i$ . Además, al inicio del algoritmo se define el nodo de inicio (gris oscuro), este nodo tiene los valores de ganancia más cercanos al controlador PID. Los nodos sucesores (gris claro) son nodos adyacentes al nodo actual, que en este caso es el nodo de inicio. El nodo NI es colocado en la lista de cerrados y los nodos sucesores S en la lista de nodos abiertos. Para cada nodo sucesor se evalúa la función objetivo F y entre las soluciones analizadas es elige la menor,  $\min(F)$ . Para el ejemplo presentado, suponiendo que el nodo  $N = [0.591; 0.138; 8.55 \cdot 10^{-4}]$  es el nodo como menor evaluación de F (véase la Figura 4.20), el algoritmo continúa el proceso de búsqueda generando nuevos sucesores en el orden indicado (de  $S_1$  hasta  $S_{26}$ ). En el caso de que el nodo está en la lista de cerrados (nodo rojo) su F es mínima, por tanto, no se evalúa nuevamente, por otra parte, si el nodo sucesor está en la lista de abiertos (nodo azul), se verifica que el costo de G sea menor y si lo es se actualiza. El algoritmo continúa este proceso hasta que la lista de nodos abiertos esté vacía, es decir, se haya analizado todos los nodos. También finaliza cuando el número iteraciones llega a su límite o cuando se encuentra el nodo destino. El proceso de generación de nodos, en su programación en MATLAB, se apoya de la función delimitar\_coord() y contador, presentes en el Extracto de código D.3.

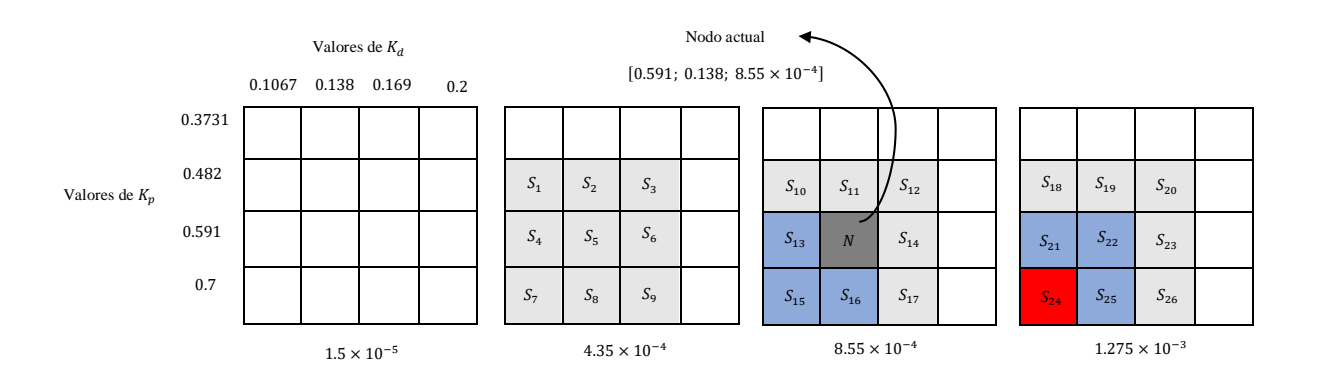


Figura 4.20: Determinación de los nodos sucesores del controlador A\*-PID.

Tanto el controlador SA-PID como el A\*-PID usan el mismo rango de valores que el control FGS-PID mostrando en la Tabla 4.4; sin embargo, cuando el sistema deja de funcionar correctamente es necesario un ajuste de los valores de  $K_i$ , el nuevo rango cuando el sistema se encuentra en falla está dado por (4.20) y (4.21). Debido a que la respuesta del sistema no alcanza la referencia, presencia de fugas en los tanques, es necesario aumentar el sobreimpulso, a su vez, eliminar el error de estado estacionario. Precisamente por esto es que el

**UCUENCA** 77

nuevo rango de ganancias  $K_i$  está por encima del anteriormente considerado.

$$K_{(i,min)} = 1.2K_i$$
 (4.20)

$$K_{(i,max)} = 2.5K_i$$
 (4.21)

# 4.3. Implementación y adaptación de los algoritmos de ganancia programada y controladores PID en la placa STM32 núcleo-144

La programación de los microcontroladores STM32 se realiza en entornos de desarrollo con lenguaje de programación C/C++. Existen algunas opciones para su programación, incluido el IDE de Arduino. Sin embargo, esta opción limita las capacidades del microcontrolador. Una opción mejor es STM32Cube IDE, un entorno de desarrollo libre creado por el propio fabricante ST. El entorno antes mencionado, se basa en Eclipse y el conjunto de herramientas de GCC para la compilación. Además, este ambiente cuenta con generación de código de inicio, configuración de los periféricos de forma visual, modo debugger y otras funcionalidades que maximizan las opciones de desarrollo.

En esta sección, se explica el proceso de implementación de los algoritmos en lenguaje C. Además, se aclara cómo ciertas funciones utilizadas en MATLAB son adaptadas para el diseño del controlador sobre STM32.

#### 4.3.1. Adaptación de las funciones básicas

Los algoritmos GS utilizan sentencias básicas como: if, for, while, switch que pueden ser traducidas directamente a su lenguaje en C. Otras funciones como max, min se definen en base a estas sentencias o directamente utilizando librerías como math.h. No obstante, la complejidad en pasar de un lenguaje a otro radica en la definición de variables y realizar operaciones con matrices/arrays. En el caso de MATLAB, estas operaciones son sencillas e intuitivas. Al emplear el lenguaje de programación C, cada variable debe definirse antes de ser utilizada. Para las matrices/arrays además de definir el tipo de dato, es necesario especificar su dimensión. Por ello, se generan ciertas complicaciones. Sin embargo, las complicaciones se solventan, fácilmente, al crear matrices/arrays de forma dinámica.

Otro de los aspectos importantes a la hora de programar en C, es el uso de punteros. Los

punteros contienen la información de la posición de memoria de una variable. Esto es útil a la hora de definir funciones; ya que, en lugar de enviar toda la matriz/array, se indica únicamente la posición de memoria donde se encuentra.

# 4.3.2. Adaptación de las funciones avanzadas

Todas la funciones avanzadas de MATLAB son creadas a partir de las sentencias básicas usadas en la programación. Por tanto, es posible adaptarlas en otro lenguaje de programación como C. En esta sub-sección, se describe la metodología usada en la adaptación de los algoritmos en C.

# 1. Funciones del algoritmo PID

- PID\_Init(): inicializa los valores de error actual  $e_k$ , error anterior  $e_{k-1}$ , error acumulado  $\sum_{i=1}^n e_i$ , salida de la planta  $y_k$ , referencia r y la señal de control  $u_k$ . Además, se definen las ganancias  $K_p$ ,  $K_d$  y  $K_i$  del controlador. La función se muestra en el Extracto de código A.2.
- PID\_control(): como se muestra en el Extracto de código en A.3, los parámetros de entrada de esta función serán el error actual, error pasado, error acumulado, las ganancias y el tiempo de muestreo. Esto con el objetivo de obtener la señal de control uk utilizando (2.18). Además, en cada ejecución del algoritmo, se actualizan las señales de error pasado y error acumulado.

# 2. Funciones del algoritmo FGS-PID

■ Fuzzy\_Init(): la función trabaja de forma parecida al diseñador de lógica difusa de MATLAB, en ella se especifica el rango de valores que puede tomar las entradas y salidas. En este caso, las entradas serán las señales de error  $e_k$  y su diferencia  $\Delta e_k$ . Mientras que, las salidas serán las ganancias normalizadas  $K_p'$ ,  $K_d'$  y  $K_i'$ . Además, se definen NB, NM, NS, ZO, PS, PM y PB como las variables lingüísticas de las dos entradas. Adicionalmente, small y big, para las salidas  $K_p'$  y  $K_d'$ . Mientras que, las variables S, SM, BM y B, para la salida  $K_i'$ .

Las funciones de membresía son creadas a partir de las funciones trimf(), trapmf() y guassmf() que calculan su valor usando (2.3), (2.5) y (2.6). Luego de establecer



las funciones de membresía de entrada y salida, se especifican las reglas difusas. Estas últimas tienen la forma "1 1 , 2 1 4" donde la coma separa las entradas de las salidas y su numeración es acuerdo al orden de definición de la variable lingüística (Extracto de código B.4).

eval\_fuzzy(): en analogía a la función evalfis en MATLAB, esta función evalúa el sistema de inferencia difusa de tipo Mamdani. Así, selecciona sus dos entradas, e<sub>k</sub> y Δe<sub>k</sub>, y las fuzzifica. En otras palabras, al valor medido del error o diferencia del error, se le asigna su valor de pertenencia en las funciones de membresía. En este caso, al ser dos variables en el antecedente de las reglas difusas, se utiliza el operador y/and para que la evaluación dé como resultado un valor único. Este operador representa la operación mín, en los conjuntos difusos. Luego de la fuzzificación, se realiza el proceso de inferencia de Mamdani por mínimos, devolviendo la misma cantidad de conjuntos difusos inferidos como el número de reglas. Por tanto, para defuzzificar es necesario agrupar estos conjuntos, esta etapa de agrupación emplea diferentes estrategias. La estrategia más común, usa la operación máx. Finalmente, en la última etapa, para convertir los valores difusos en valores que entienda el controlador, se efectúa la defuzzificación, para lo cual se emplea el método de centroide.

La función antes mencionada, se muestra en el Extracto de código B.8 y es apoyada por otras funciones para la etapa de fuzzificación, defuzzificación, reglas, etc., presentadas en los Extractos de código B.9 - B.12.

■ FGS\_control(): la función ajusta la señal del error y su diferencia para que se encuentre dentro del rango de [-1,1]. Además, como la salida de la función eval\_fuzzy() devuelve los valores normalizados, esta función se encarga de determinar las ganancias K<sub>p</sub>, K<sub>d</sub> y K<sub>i</sub> por medio de (2.35), (2.36) y (4.5). En adición, los valores mínimos y máximos de las ganancias, se definen previamente en la función FGS\_Init(). Estas funciones se detallan en Extracto de código B.13 y B.14.

#### 3. Funciones del algoritmo SA-PID

SA\_Init(): esta función contiene los valores iniciales de los parámetros que utiliza el algoritmo SA-PID. Entre ellos, se encuentran el número de iteraciones y subiteraciones, la cantidad de muestras tomadas de la señal de salida para el análisis de su estimación, la temperatura inicial T<sub>0</sub>, la constante α de la función de des-



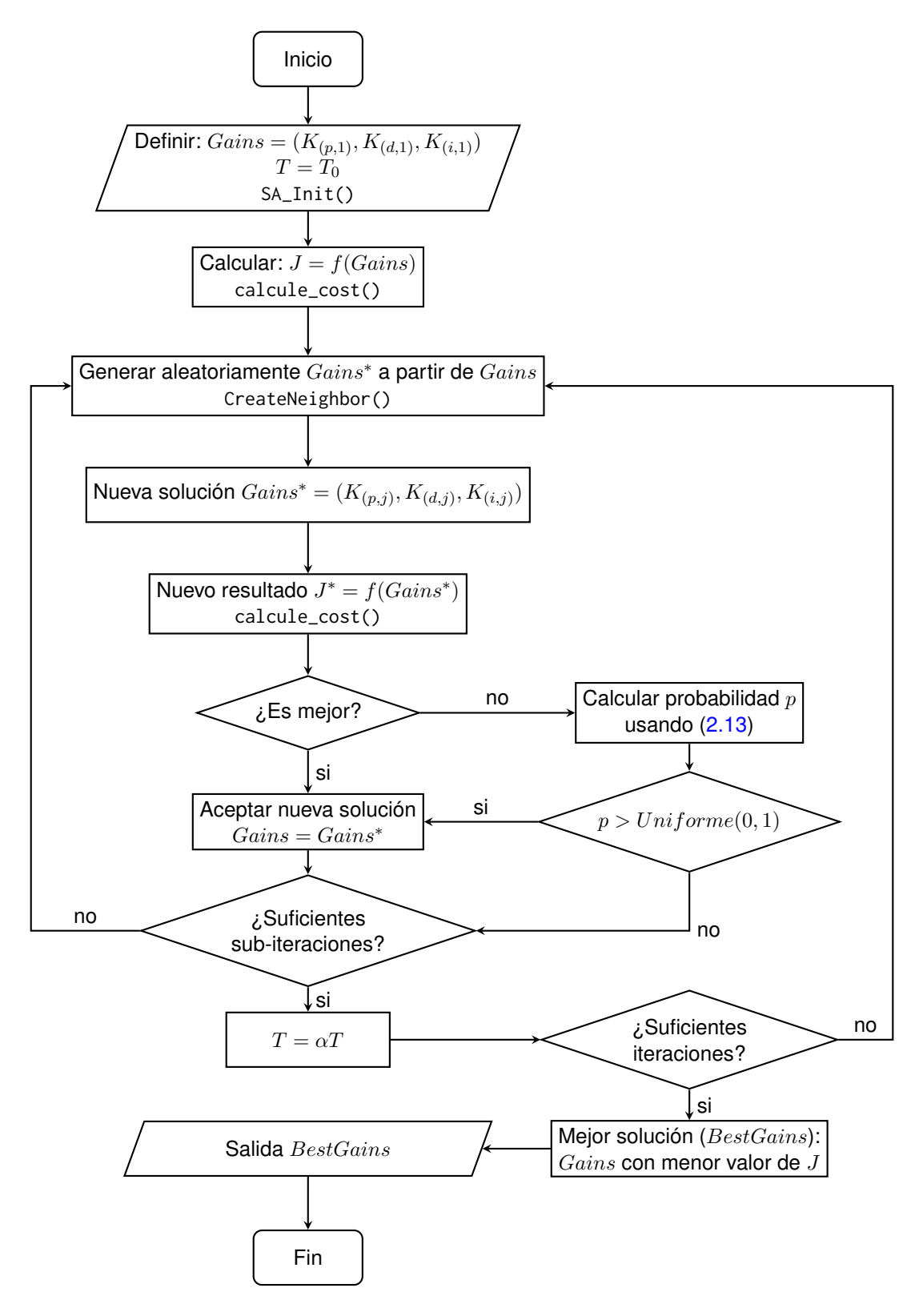


Figura 4.21: Diagrama de flujo del algoritmo SA-PID.



censo exponencial, el rango de ganancias usado para la generación de soluciones vecinas y algunas variables secundarias para conocer cuándo inicia o se habilita el algoritmo. La función se presenta en el Extracto de código C.5.

- Simulated\_Annealing(): es el algoritmo principal para la determinación de ganancias del controlador SA-PID, trabaja de la misma forma que la implementada en MATLAB. El funcionamiento del algoritmo parte de los fundamentos conceptuales del algoritmo de recocido simulado aplicado al problema planteado, programación de ganancias del controlador PID, dando como resultado el algoritmo mostrado en la Figura 4.21. Al iniciar el algoritmo, la función calcule\_cost() determina la solución inicial generada por las ganancias establecidas del controlador PID. A continuación, se crean ganancias vecinas por medio de la función CreateNeighbor(), comenzando con la primera iteración y sub-iteración. El algoritmo se habilita en cada cambio de referencia y utiliza determinadas muestras para calcular el costo. Si este nuevo valor es menor a la solución calculada, se actualiza. Caso contrario, la solución será aceptada o no basándose en la función de probabilidad descrita anteriormente en (2.13). Al completar el número de iteraciones y sub-iteraciones, el algoritmo asigna las ganancias del controlador PID aquellas con la mejor solución. El algoritmo se muestra a detalle en el Extracto de código C.6.
- calcule\_cost(): realiza la evaluación de la función objetivo, definida por (4.11).
  Esta función hace uso de los parámetros de desempeño OS, tss y IAE. En MATLAB, se obtienen estos parámetros utilizando la función stepinfo. Sin embargo, en C es necesario determinar cada parámetro. La metodología para el cálculo de los parámetros de desempeño, se especifica a continuación:
  - SettlingTime(): el tiempo de establecimiento  $t_{ss}$  es el tiempo en el que la señal de salida se mantiene dentro de un margen preestablecido. En el algoritmo se especifica este margen como el  $5\,\%$  de  $|y_{final}-y_{init}|$ . Matemáticamente,  $t_{ss}$  es el primer tiempo en que se cumple la siguiente relación.

$$|y(t) - y_{final}| \le 0.05 \times |y_{final} - y_{init}|$$
 (4.22)

Esta función se muestra en el Extracto de código C.8.



• Overshoot(): el porcentaje de sobreimpulso es determinado por (4.23).

$$OS = 100 \times \max\left(\frac{y(t) - y_{init}}{y_{final} - y_{init}} - 1\right)$$
(4.23)

 IAE\_calc(): la integral del error absoluto es aproximado por el método trapezoidal definido matemáticamente por (4.24).

$$\int_{a}^{b} f(x)dx \approx \frac{b-a}{2N} \sum_{n=1}^{N} (f(x_n) + f(x_{n+1}))$$
 (4.24)

El cálculo de IAE se presenta en el Extracto de código C.10.

Existen otros índices de desempeño como ITAE, ISE, ITSE y el tiempo de subida  $t_r$ . Estos índices fueron agregados con el fin de mejorar el algoritmo. Sin embargo, no son utilizados en este trabajo, sus códigos se presentan en C.11-C.14.

CreateNeighbor(): crea soluciones vecinas de las ganancias del controlador PID.
En cada sub-iteración, cualquiera de las ganancias se elige para cambiar su valor de manera aleatoria. Esta función trabaja de manera idéntica a la antes explicada en su implementación en MATLAB. Su correspondiente código en C, se muestra en el Extracto de código C.15.

#### 4. Funciones del algoritmo A\*-PID

- Astar\_Init(): esta función, detallada en el Extracto de código D.4, inicializa las variables que son definidas en el algoritmo A\*-PID. Entre ellas están: número de iteraciones, lista de cerrados y abiertos, dimensión del espacio de búsqueda, espacio de búsqueda, matriz F, H y G inicializadas en cero o valores no definidos, valores de Kp, Kd y Ki que serán analizados, la coordenada del nodo de inicio tomada a partir del nodo con la ganancia más cercana o igual a la establecida en el controlador PID, coordenada del nodo destino elegida aleatoriamente, o de un nodo que no se encuentra en el espacio de búsqueda, y matriz de identificadores de los nodos creada utilizando la función mostrada en el código D.6. Esta última hace uso de otras funciones como reserve\_memory\_Astar(), la cual asigna memoria de manera dinámica (Extracto de código D.5).
- Aestrella(): esta función se habilita en cada cambio de referencia y determina las ganancias del controlador PID mediante el algoritmo A\*. Además, la función traba-



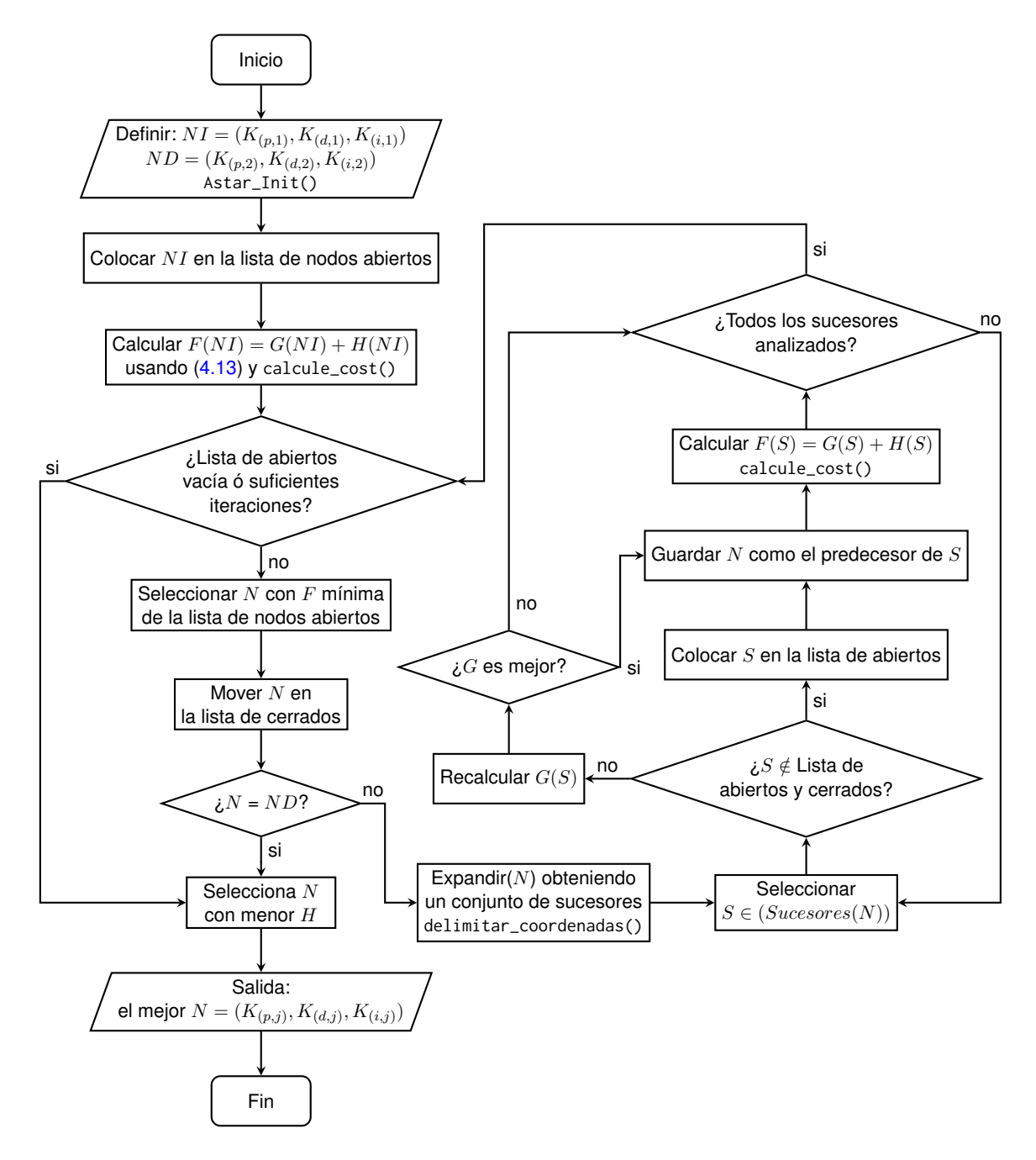


Figura 4.22: Diagrama de flujo del algoritmo A\*-PID.



ja de manera similar a la implementada en MATLAB, donde se consideraba a las ganancias como una coordenada del espacio tridimensional. El funcionamiento del algoritmo parte de los fundamentos conceptuales del algoritmo de A\* aplicado al problema planteado, programación de ganancias del controlador PID, dando como resultado el algoritmo mostrado en la Figura 4.22. Al inicio de esta función, los parámetros por defecto del controlador se encuentran asignados en una coordenada, denotada como la coordenada de inicio. Esta coordenada hace referencia a la ubicación del nodo de inicio; este nodo se evalúa usando F(NI) = G(NI) + H(NI), donde G(NI) = 0 por ser la distancia en un mismo punto y H(NI) es la estimación realizada usando la función calcule\_cost(). El nodo de inicio es el único nodo de la lista de abiertos; por ello, es elegido como el de F mínima, se mueve de la lista de nodos abiertos a la de cerrados y es expandido generando un conjunto de sucesores. Los sucesores son los nodos adyacentes a dicha coordenada; para cada sucesor, se verifica que no se encuentre en la lista de abiertos o cerrados. En el caso de que no se encuentre, se hace la evaluación del sucesor, F(S) = G(S) + H(S), y se agrega el nodo a la lista de abiertos. Si se encuentra, se recalcula G(S) y el algoritmo se repite, tomando el nodo con la F mínima de la lista de abiertos y finaliza cuando esta lista esté vacía o cuando se exceda el número máximo de iteraciones establecidas. Esta acción se agrega para tener un mejor control sobre el algoritmo. Al finalizar, el algoritmo usa el espacio de búsqueda analizado para establecer las nuevas ganancias del controlador PID a partir del nodo con el menor valor de la heurística H. La implementación de la función en el lenguaje de programación C, se muestra a detalle en el Extracto de código D.7.

delimitar\_coordenadas(): es una función secundaria, como su nombre lo indica, es utilizada para limitar el espacio de búsqueda y seleccionar los nodos que son expandidos, su código se presenta en el código D.8 y es apoyada de una función auxiliar denominada contador. Esta función es un contador de base 3 mostrada en el Extracto de código D.9.

# 4.4. Integración de la placa STM32 al tablero de control y comunicación con el sistema multitanque

En esta sección, se describe la metodología implementada en la integración de los algoritmos de ganancia programada para el control del sistema multitanque y su comunicación con el



tablero de control.

#### 4.4.1. Descripción del sistema

El sistema multitanque es el resultado del proyecto previo "Diseño e implementación de los sistemas de instrumentación, comunicaciones y control de un sistema multitanque" disponible en [5], consta de dos tanques de reserva, un tanque de bombeo, tres electroválvulas que controlan el flujo de entrada y salida de los tanques y sensores para medir el nivel del agua.

Los sensores y electroválvulas se conectan directamente al tablero de control, donde su componente principal, la placa de desarrollo STM32 núcleo-144, se encarga de la medición de las señales, gestión de los algoritmos de control y generación de señales de control para las electroválvulas. Para esta última, la placa STM32 genera señales PWM. Por ello, trabaja de manera conjunta con un módulo convertidor de señales, así como módulos relés que acondicionan las señales de voltaje de la placa con las electroválvulas. Además de las tareas presentadas anteriormente, la placa STM32 utiliza la comunicación serial para enviar datos del nivel medido de los tanques, nivel de referencia y de las señales de control. Estos datos son interpretados en un programa en MATLAB, mismo que se encarga de presentar los resultados de manera gráfica. El esquema general del sistema se presenta en la Figura 4.23

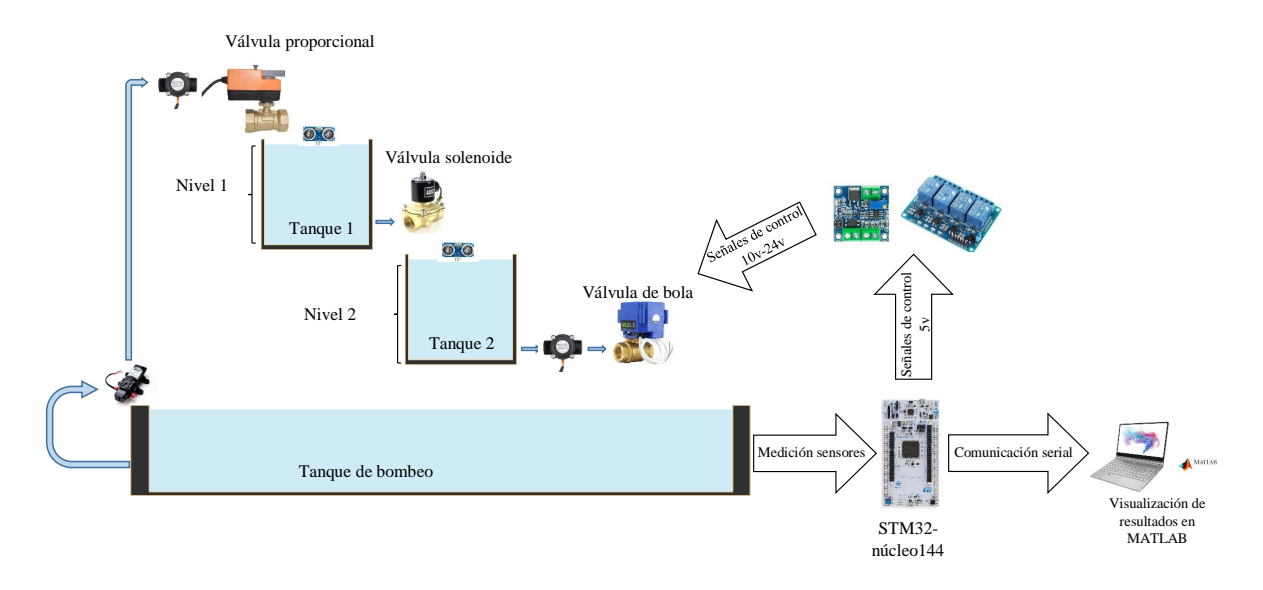


Figura 4.23: Esquema general del sistema multitaque y sistema de control.



## 4.4.2. Diagrama de instrumentación y procesos del sistema

En la Figura 4.24 se presenta el diagrama de procesos e instrumentación del sistema multitanque y el sistema de control. Este diagrama es diseñado utilizando la norma ISA/ANSI 5.1. El sistema cuenta con una bomba de agua conectada con el tanque de bombeo y la válvula de retención FV100 encargada de proteger la bomba. FV108 es una válvula que permite introducir perturbaciones al sistema o liberar la presión en caso de ser necesario. El sistema cuenta con tres electroválvulas FCV101, FCV103 y FCV106. La primera se encarga de controlar el flujo de entrada del primer tanque de reserva, la segunda controla el flujo de salida de tanque 1 y el flujo de entrada del tanque 2; y, la tercera electroválvula controla el flujo de salida del tanque 2. Existen cuatro sensores, LT104 y LT105 son sensores de distancia que miden el nivel de agua en los tanques de reserva; FT102 y FT107 son sensores de caudal que miden el flujo de entrada y salida. Los sensores son conectados directamente al nodo FC200 que, a su vez, controla las tres electroválvulas. Además, este nodo se conecta con el nodo UG300, mismo que permite la toma de datos y su representación gráfica.

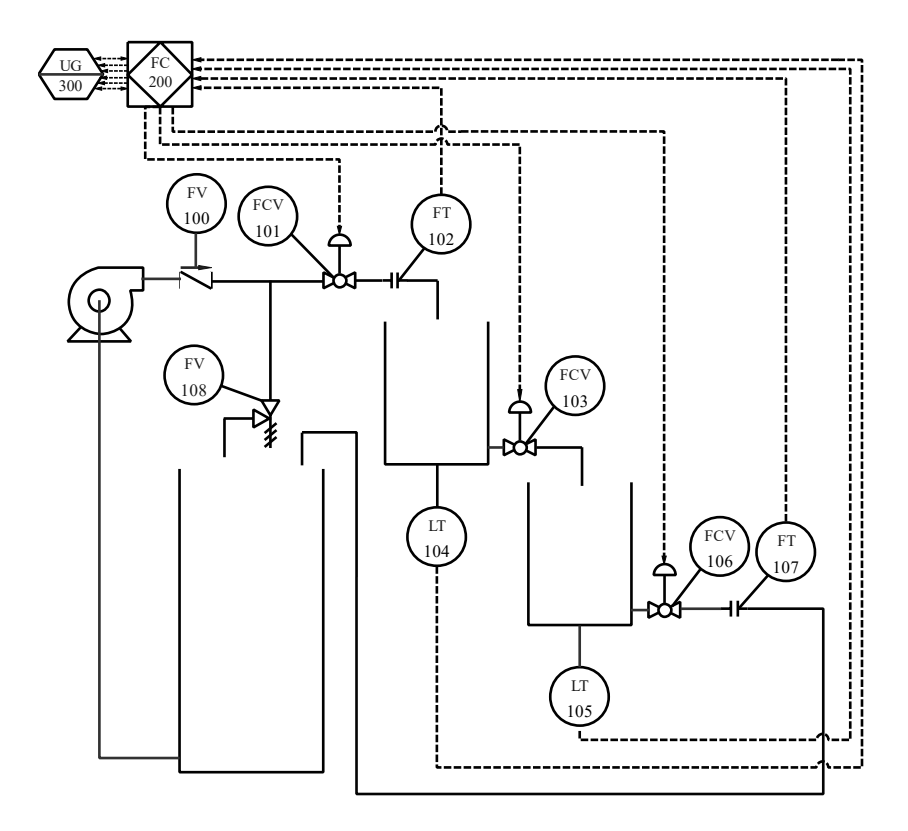


Figura 4.24: Diagrama de proceso e instrumentación del sistema multitanque y sistemas de control. *Imagen adaptada de [5]*.



# 4.4.3. Principales componentes del sistema multitanque y comunicación con el tablero de control

En esta sub-sección, se describen los principales componentes del sistema multitanque y el sistema de control. Además de aquellos componentes que permiten la comunicación entre ambos.

#### 1. Bomba Favson F3012

Favson F3012 es una bomba de agua autocebante de 12 V de alimentación, misma que soporta hasta una presión de 100 PSI y proporciona un caudal de 4 L/min. Además, la bomba es adaptada al sistema usando tuberías de 3/8", y es mostrada en la Figura 4.25.



Figura 4.25: Bomba Favson F3012. Imagen tomada de [5].

#### 2. Electroválvula Winner WVA4-3

La Electroválvula Winner WVA4-3 mostrada en la Figura 4.26 es una válvula proporcional de tipo bola. Este tipo de válvula, se alimenta con un voltaje de  $24\,\mathrm{V}$  y su apertura es controlada por un voltaje variable de 0 a  $10\,\mathrm{V}$ . Además, se conecta a la entrada del sistema usando tuberías de 1/2".



Figura 4.26: Electroválvula Winner WVA4-3. Imagen tomada de [5].



## 3. Electroválvula BACOENG 2W-15

Es una válvula de tipo solenoide, se alimenta con un voltaje de  $12\,\mathrm{V}$  y su apertura es controlada únicamente por su alimentación. Además, posee solamente dos estados, completamente abierta y completamente cerrada. Se conecta a la salida del tanque 1 usando tuberías de 1/2°, esta válvula se observa en la Figura 4.27.



Figura 4.27: Electroválvula BACOENG 2W-15. Imagen tomada de [6].

#### 4. Electroválvula U.S. SOLID USSMSV00002

Es una válvula proporcional de tipo bola (Figura 4.28), se alimenta con un voltaje de  $24 \, \text{V}$  y su apertura es controlada por el tiempo de alimentación. Se conecta a la salida del tanque 2 usando tuberías de 3/4".



Figura 4.28: Electroválvula U.S. SOLID USSMSV00002. Imagen tomada de [7].

#### 5. Sensor ultrasónico HC-SR04

Es un sensor de distancia utilizado para medir el nivel de agua de los tanques de reserva y se alimenta con un voltaje de  $5\,\text{V}$ . Además, el sensor determina la distancia de un objeto mediante el ultrasonido (onda  $40\,\text{kHz}$ ), tiene margen de error de  $\pm 3\,\text{mm}$  y su



rango de medición va desde  $2 \, \text{cm}$  a  $4.5 \, \text{m}$ . La distancia a partir de la duración de rebote de la onda ultrasónica es determinada por (4.25).

$$Distancia(m) = \frac{t_{medido} \cdot v_{sonido}}{2}$$
 (4.25)

Donde  $v_{sonido}=343\,\mathrm{m/s}$  y  $t_{medido}$  es el tiempo, determinado por el sensor, que tarda la onda en ir y regresar. El sensor se muestra en la Figura 4.29.



Figura 4.29: Sensor ultrasónico HC-SR04. Imagen tomada de [8].

#### 6. Sensor DIGITEN

El sensor mostrado en la Figura 4.30, es un sensor de flujo de agua, se alimenta con un voltaje de 5 V, es utilizado para medir flujos entre 1-30 L/min y soportar presiones de hasta 254 PSI. Así, se conecta para la medición del flujo de entrada y salida del sistema usando tuberías de 3/4".



Figura 4.30: Sensor de flujo de agua DIGITEN. Imagen tomada de [9].

# 7. STM32F413ZH núcleo-144

La placa STM32F413ZH núcleo-144 presentada en la Figura 4.31 posee un microcontrolador de  $32\,\mathrm{bits}$  basados en ARM Cortex-M4 a  $100\,\mathrm{MHZ}$ , cuenta con  $1.5\,\mathrm{Mbytes}$  de memoria Flash y  $320\,\mathrm{Kbytes}$  de SRAM, tiene dos tipos de conectores. El primero es el conector ST Zio que incluye soporte con ARDUINO Uno V3 y los cabezales ST morpho



que mejoran la funcionalidad y accesibilidad de la plataforma. La ventaja de esta plataforma es que tiene integrado depurador/programador ST-LINK/V2-1. La disposición de pines junto a otras características se presenta en manual del usuario [10].



Figura 4.31: Placa STM32F413ZH núcleo-144. Imagen tomada de [10].

#### 8. Módulo relé de 4 canales

El módulo relé permiten controlar las electroválvulas BACOENG 2W-15, U.S. SOLID USSMSV00002 y la bomba. Por ello, es necesario un voltaje de 5 V para alimentar las bobinas. El voltaje de operación se toma directamente del controlador o para reducir su consumo de una fuente externa. La señal de control puede ser de 3.3 V o 5 V, como se observa la Figura 4.32 posee aislamiento eléctrico por medio de optoacopladores e indicadores de activación mediante LEDs. Su tiempo de acción es de 5 ms/10 ms. A diferencia de su tiempo de muestreo igual a un segundo, el tiempo de activación es mucho menor, por lo que hace posible el uso de relés en el control.



Figura 4.32: Módulo relé de 4 canales. Imagen tomada de [11].

#### 9. Convertidor de PWM a voltaje

Este módulo permite convertir la señal PWM proveniente del microcontrolador a voltaje analógico  $0-10\,\mathrm{V}$ , ideal para el control de la electroválvula Winner WVA4-3. Su voltaje de operación va desde  $12\,\mathrm{V}$  hasta  $30\,\mathrm{V}$ . El rango de frecuencia de la señal PWM es de  $1\,\mathrm{kHz}-3\,\mathrm{kHz}$ . Mientras que, el voltaje de la señal PWM varía de  $5\,\mathrm{V}$  a  $24\,\mathrm{V}$  al colocar el



puente en sus respectivos voltajes. Como se observa, la Figura 4.33 permite el ajuste del voltaje de salida mediante un potenciómetro.



Figura 4.33: Convertidor de PWM a voltaje analógico 0-10V. Imagen tomada de [12].

#### 4.4.4. Descripción del hardware

El sistema multitanque presentado en la Figura 4.34 cuenta con tres tanques de color gris. El tanque ubicado en la parte inferior es el tanque de bombeo con una capacidad de 19.162 L. Además, los tanques de reserva ubicados a 61.55 cm y 19.9 cm tienen una capacidad de 12 L cada uno. Sin mencionar que, los tanques poseen una abertura de 0.95 cm que simula las fallas del sistema ante la presencia de fugas. La bomba de color naranja está ubicada por debajo del tanque 1 y en la parte posterior del tanque 2 a una altura a 19.9 cm, la bomba se encuentra fijada a la estructura por medio de 4 tornillos de 1/8". De hecho, el sistema cuenta con tres electroválvulas señaladas de color azul, la primera electroválvula está ubicada a 43 cm tomando como referencia la base del tanque 1, la válvula solenoide está ubicada a 41 cm de la base del tanque 2 y la tercera válvula se encuentra al nivel de la base del tanque de reserva 2. Los sensores son señalados con color morado. Para el caso de los sensores de nivel, son colocados a 33 cm de la base de los tanques de reserva, y para los sensores de flujo, se colocan al mismo nivel de la válvula proporcional en la entrada y la válvula de bola en la salida. El sistema se presenta con más detalle en el Apéndice D.2.3.



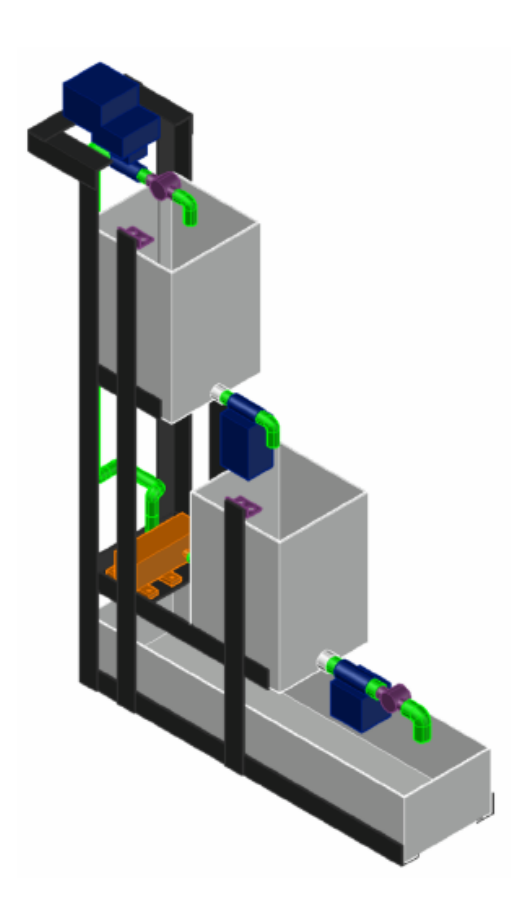


Figura 4.34: Diseño del sistema multitanque. Imagen tomada de [5].

El tablero de control presentado en la Figura 4.35, es una caja metálica de 50 cm de largo, 40 cm de alto y 15 cm de ancho. En su interior, contiene un doble fondo de 2.5 cm para ocultar los cables. En la parte frontal presenta 24 agujeros para las borneras, 10 de ellos ubicados en la parte izquierda son utilizados para conectar las electroválvulas y la bomba, y los 14 restantes ubicados en la parte inferior derecha para conectar los sensores de nivel y de flujo (véase Figura 4.36). En la parte lateral derecha se encuentran 3 agujeros, el agujero ubicado en la parte central es destinado para colocar el interruptor principal de alimentación del tablero de control. En la parte inferior del mismo lado se ubicará los agujeros para la alimentación de 110 V; mientras que, al otro costado del tablero, se encuentran cuatro interruptores separados 8 cm entre sí. Estos últimos controlan la alimentación de las 3 válvulas y la bomba. Finalmente, en el interior del tablero de control, se ubican los módulos que ajustan el voltaje en la parte superior derecha. La placa STM32-núcleo 144 se ubica en el centro y las fuentes de alimentación de 12 V y 24 V en la parte inferior. El tablero de control se presenta con más detalle en el Apéndice D.2.3.



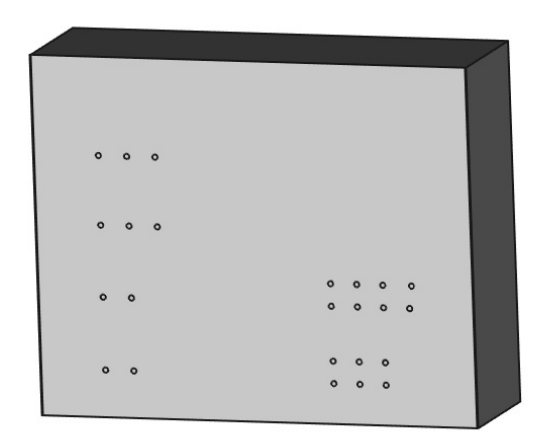


Figura 4.35: Diseño del tablero de control

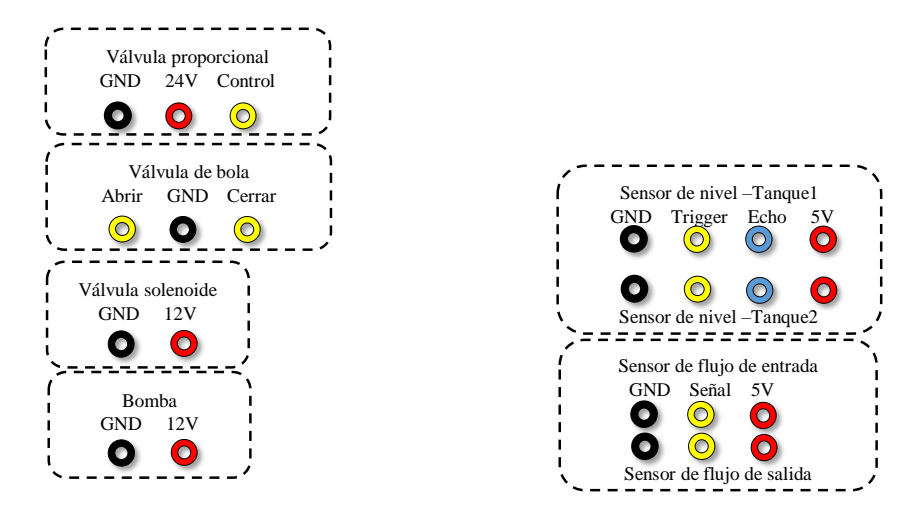


Figura 4.36: Distribución de los terminales de conexión en la parte frontal del tablero de control



#### Resultados

Este capítulo presenta los resultados del funcionamiento de los algoritmos de inteligencia artificial implementados en el proceso de control de un sistema multitanque. Además, se detallan los resultados obtenidos tanto en la simulación en MATLAB, como en el sistema real. Se realiza la comparación de los algoritmos analizando la respuesta de la planta ante cambios de referencia y usando como índice de desempeño el tiempo de estabilización y porcentaje de sobreimpulso. Además, se analiza el funcionamiento de los algoritmos cuando el sistema presenta fallas provocadas por fugas en los tanques.

#### 5.1. Resultados en la simulación

Se realiza la simulación definiendo un tiempo de muestreo de un segundo. Para ello, se considera el sistema descrito en la Figura 4.9, cuyos parámetros de configuración se presentan en la Tabla 4.2. Las pruebas en la simulación se llevan a cabo para cambios de referencia de 32 % - 8 % y de 8 % - 32 % del nivel de los tanques. Estos cambios se dan en un tiempo de 500 segundos, las gráficas resultantes muestran la respuesta del sistema (azul) y su referencia (rojo). Además, se indica el rango de error del 5 % para el tiempo de establecimiento. En la Figura 5.1, se muestra la respuesta del sistema para cambios de referencia empleando control PID. En la parte superior, se aprecia la respuesta del sistema del tanque 1 y su correcto seguimiento de la señal de referencia. De la misma forma, la respuesta del tanque 2, en la parte inferior, muestra un buen comportamiento en el seguimiento de referencia, encontrándose dentro del umbral de establecimiento en un menor tiempo que el tanque 1.



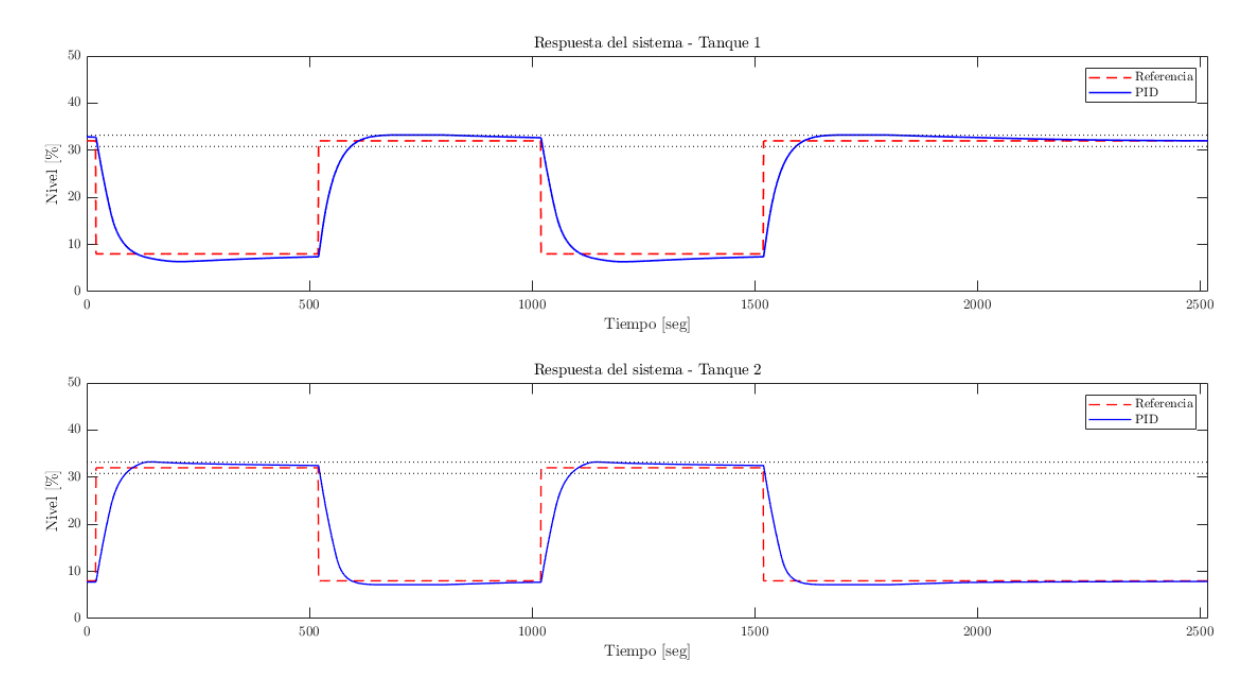


Figura 5.1: Respuesta del sistema en la simulación ante cambios de referencia utilizando el algoritmo de control PID.

La Tabla 5.1 muestra los resultados obtenidos empleando el algoritmo de control PID. Las pruebas 1 y 2 corresponden al análisis de cambios de referencia para un valor bajo a un valor alto, es decir, del 8 % - 32 %. Además, se utiliza como parámetro de evaluación el porcentaje de sobreimpulso y el tiempo de establecimiento en segundos. Los resultados de cada prueba son promediados, para el caso del tanque 1, se tiene un tiempo promedio de establecimiento de 274.67 seg y un sobreimpulso del 5.01 %. En el caso del tanque 2, el tiempo de establecimiento es menor que en el tanque 1 con un valor promedio de 132.51 seg y un sobreimpulso del 5.08 %.

Tabla 5.1: Resultados ante cambios de referencias utilizando control PID.				
Prueba 1 Prueba 2 Promed				
Tanque1	Tiempo de estabilización [seg]	277.10	272.24	274.67
ranquer	Sobreimpulso [%]	5.01	5.00	5.01
Tongue	Tiempo de estabilización [seg]	135.29	129.74	132.51
Tanque2	Sobreimpulso [%]	5.14	5.02	5.08

Utilizando la misma configuración, los valores de los cambios de referencia e intervalo de tiempo, se analiza el algoritmo de control FGS-PID. La respuesta del sistema en la simulación para cambios de referencia se muestra en la Figura 5.2. Donde se aprecia un correcto seguimiento de la señal de referencia en el nivel de los dos tanques, además una reducción del tiempo de estabilización si se compara con la respuesta obtenida con el control PID.



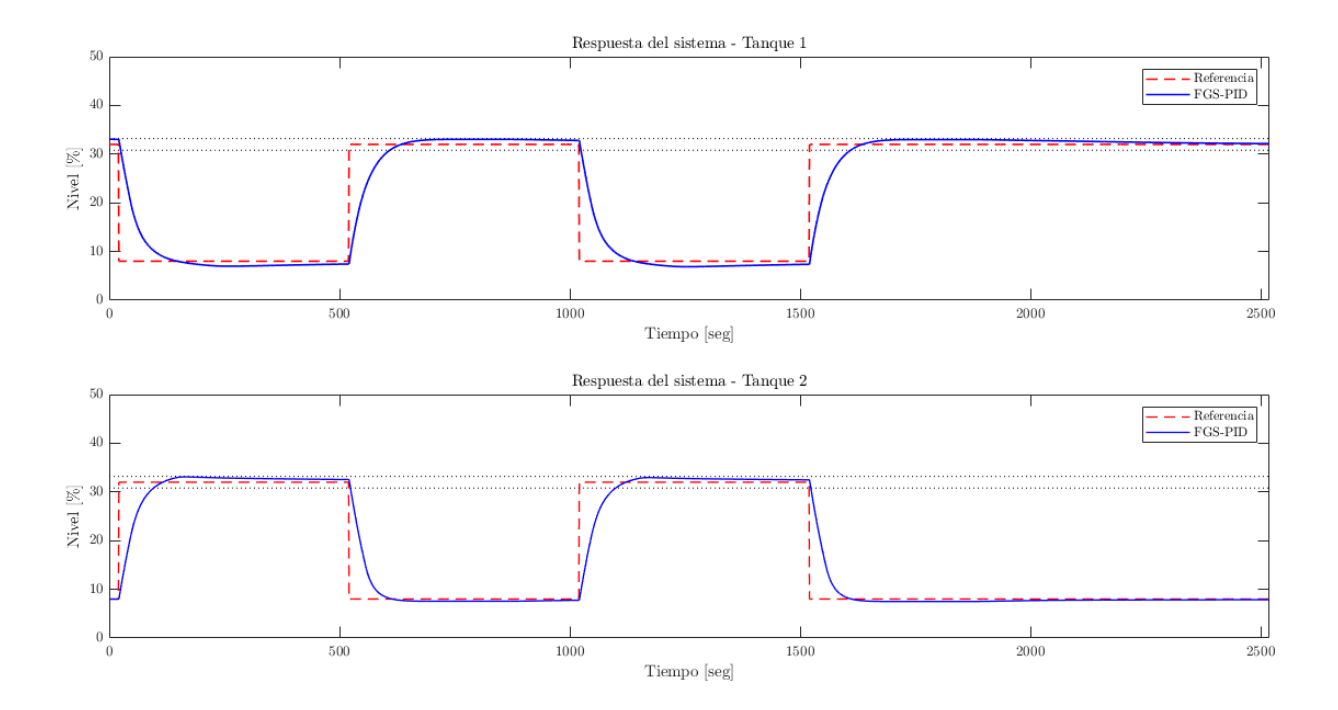


Figura 5.2: Respuesta del sistema en la simulación ante cambios de referencia utilizando el algoritmo de control FGS-PID.

Los resultados presentados en la Tabla 5.2 muestran una disminución del tiempo de estable-cimiento y sobreimpulso. Para el tanque 1, el tiempo de establecimiento promedio es de 88.35 seg y el sobreimpulso de 4.1 %. Mientras que, para el tanque 2, el tiempo de establecimiento de 77.01 seg y sobreimpulso de 4.21 %. Al comparar con el algoritmo PID, se tienen una disminución de 186.32 seg y 55.50 seg en el tiempo de establecimiento de los tanques 1 y 2. De igual manera, el sobreimpulso se reduce en un 0.91 % y 0.87 %.

Tabla 5.2: Resultados ante cambios de referencias utilizando control FGS-PID.

		Prueba 1	Prueba 2	Promedio
Tanque1	Tiempo de estabilización [seg]	87.95	88.75	88.35
ranquei	Sobreimpulso [%]	4.19	4.01	4.10
Tanque2	Tiempo de estabilización [seg]	75.33	78.70	77.01
ranquez	Sobreimpulso [%]	4.53	3.90	4.21

La respuesta del sistema para cambios de referencia del 8% - 32% usando el algoritmo SA-PID, se muestra en la Figura 5.3. Los resultados obtenidos se presentan en la Tabla 5.3. En el tanque 1, el tiempo de establecimiento promedio es de 82.80 seg y el sobreimpulso de 1.83%. Esto indica una reducción de 191.87 seg y 3.17% con respecto al algoritmo PID. En el tanque 2, el tiempo de establecimiento promedio es de 82.80 seg y el sobreimpulso de 3.63%, reduciendo en 50.37 seg y 1.45% del tiempo de establecimiento y sobreimpulso determinado



con el algoritmo PID.

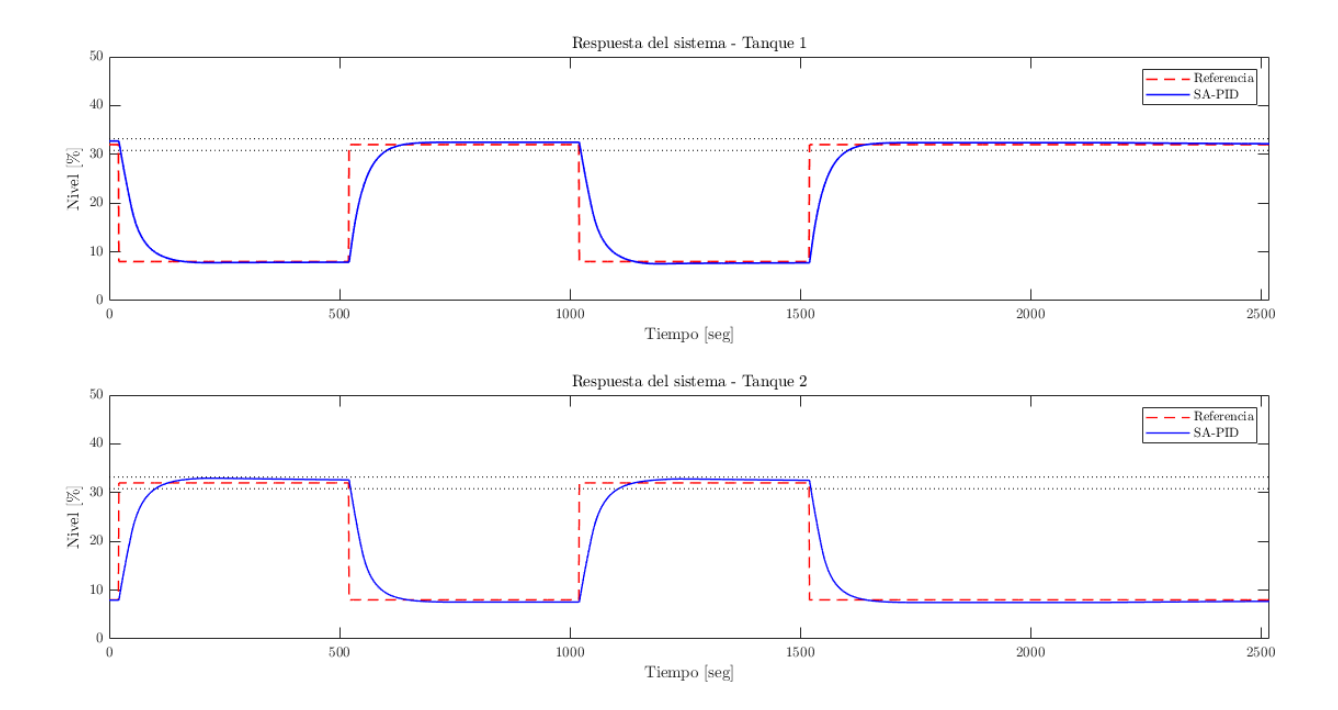


Figura 5.3: Respuesta del sistema en la simulación ante cambios de referencia utilizando el algoritmo de control SA-PID.

Tabla 5.3: Resultados ante cambios de referencias utilizando control SA-PID.				
Prueba 1 Prueba 2 Promedio				
Tanque1	Tiempo de estabilización [seg]	82.01	83.59	82.80
ranque	Sobreimpulso [%]	2.00	1.66	1.83
Tanque2	Tiempo de estabilización [seg]	79.47	84.83	82.15
ranquez	Sobreimpulso [%]	4.00	3.27	3.63

Por último, con la misma configuración de los otros algoritmos, se evalúa de la respuesta del sistema empleando el algoritmo de control A\*-PID, obteniendo la respuesta del sistema que se muestra en la Figura 5.4. Esta respuesta muestra el correcto seguimiento de referencia junto a una reducción del sobreimpulso respecto a la respuesta obtenida con el control PID.



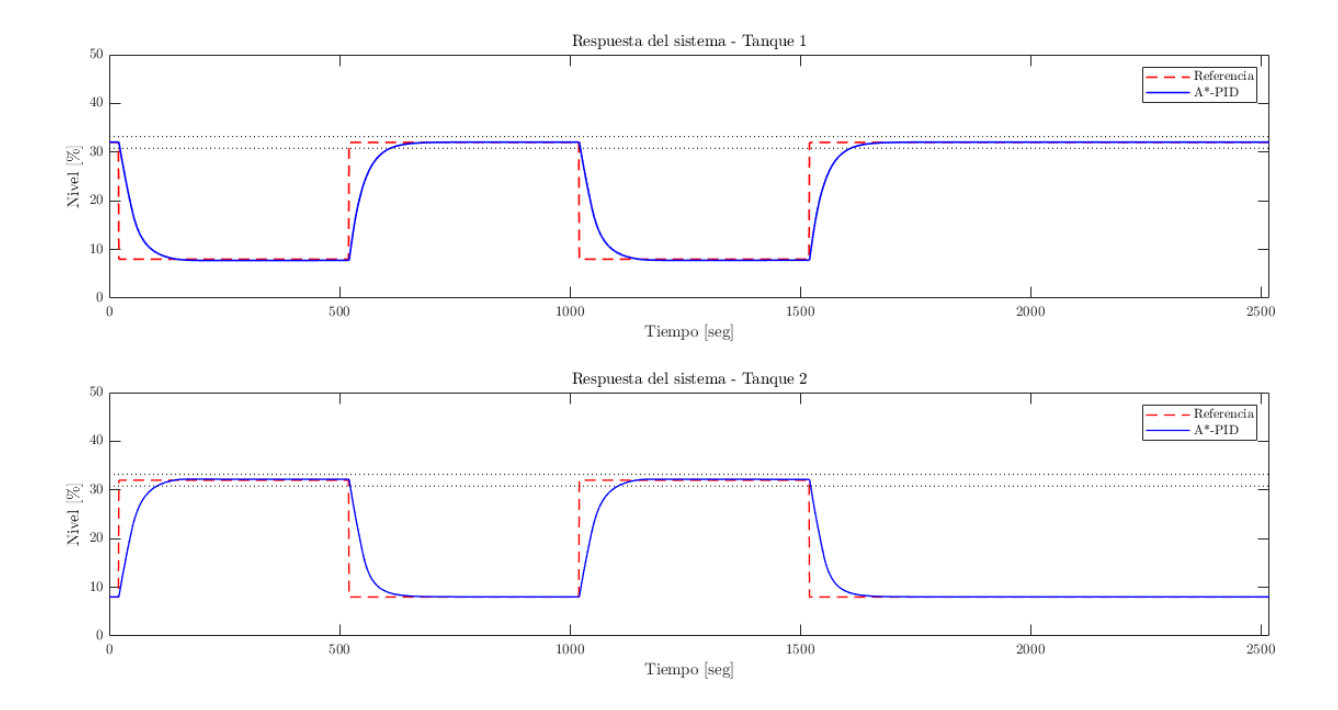


Figura 5.4: Respuesta del sistema en la simulación ante cambios de referencia utilizando el algoritmo de control A\*-PID.

Los resultados de la simulación al emplear el algoritmo de control A\*-PID, se muestran en la Tabla 5.4, donde el tiempo de establecimiento se reduce en 89.48 seg y el sobreimpulso en 0.22 % para el tanque 1 y en 83.35 seg y 0.86 % para el tanque 2.

Tabla 5.4: Resultados ante cambios de referencias utilizando control A*-PID.				
Prueba 1 Prueba 2 Promedic				
Tanque1	Tiempo de estabilización [seg]	89.50	89.45	89.48
ranque	Sobreimpulso [%]	0.22	0.23	0.22
Tanque2	Tiempo de estabilización [seg]	82.82	83.88	83.35
ranquez	Sobreimpulso [%]	0.90	0.82	0.86

Continuando con las pruebas en la simulación, se cambia el indicador de la presencia de fuga del tanque 1 a un valor de uno. Esto genera una nueva respuesta del sistema. La Figura 5.5 muestra la respuesta del sistema ante presencia de fuga del tanque 1 para el algoritmo de control PID, donde se realizan cambios de referencia en el tanque 1 del 8% - 32% y viceversa. El nivel del tanque 2 se mantiene en 0 en todo momento; por ello, el análisis se efectúa solamente sobre el tanque 1.



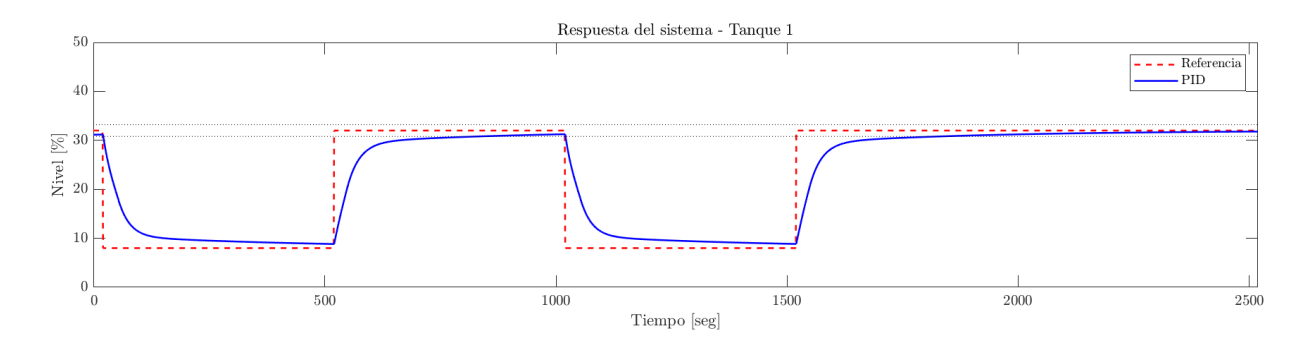


Figura 5.5: Respuesta del sistema en la simulación ante presencia de fugas en el tanque 1 utilizando un controlador PID.

En la Tabla 5.5, se muestra el valor promedio de los parámetros de evaluación, donde el tiempo de establecimiento se incrementa respecto al sistema sin fallas, a un valor de 324.04 seg. El sistema con fuga posee un flujo de salida constante, por lo que los parámetros de control PID preestablecidos inhiben la existencia de sobreimpulso.

Tabla 5.5: Resultados en la simulación ante presencia de fugas en el tanque 1 utilizando un controlador PID.

	Prueba 1	Prueba 2	Promedio
Tiempo de estabilización [seg]	325.21	322.87	324.04
Sobreimpulso [%]	0.00	0.00	0.00

Utilizando el algoritmo de control FGS-PID, se mejora la respuesta del sistema, Figura 5.6. Los resultados presentados en la Tabla 5.6, muestran una disminución del tiempo de establecimiento en 115.05 seg, sin generar sobreimpulso.

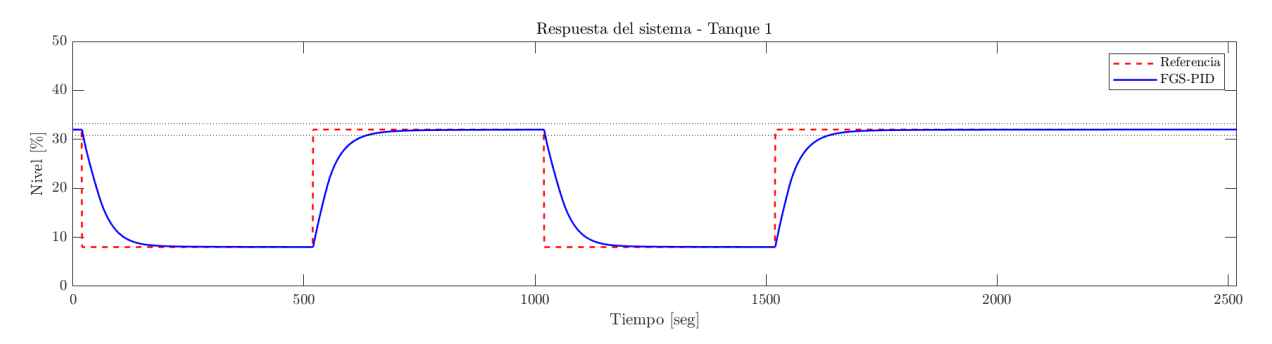


Figura 5.6: Respuesta del sistema en la simulación ante presencia de fugas en el tanque 1 utilizando un controlador FGS-PID.

Tabla 5.6: Resultados en la simulación ante presencia de fugas en el tanque 1 utilizando un controlado<u>r FGS-PID.</u>

	Prueba 1	Prueba 2	Promedio
Tiempo de estabilización [seg]	115.03	115.07	115.05
Sobreimpulso [%]	0.00	0.00	0.00



En el caso del algoritmo de control SA-PID, la respuesta del sistema ante presencia de fugas en el tanque 1, se muestra en la Figura 5.7 y su análisis en la Tabla 5.7. Los resultados muestran una reducción del tiempo de establecimiento a 130.29 seg, lo cual es mucho menor al obtenido con el algoritmo PID y ligeramente mayor que el algoritmo FGS-PID. De manera similar que con los otros algoritmos, no se produce sobreimpulso.

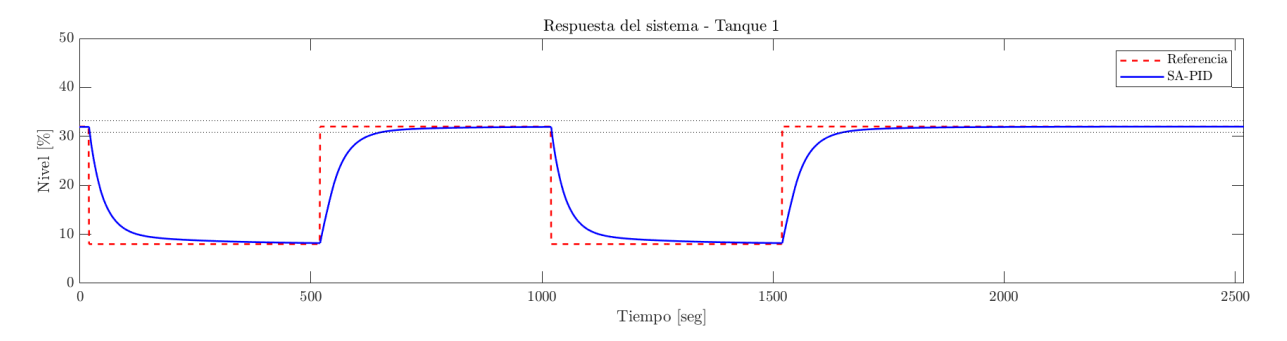


Figura 5.7: Respuesta del sistema en la simulación ante presencia de fugas en el tanque 1 utilizando un controlador SA-PID.

Tabla 5.7: Resultados en la simulación ante presencia de fugas en el tanque 1 utilizando un controlador SA-PID.

	Prueba 1	Prueba 2	Promedio
Tiempo de estabilización [seg]	130.24	130.34	130.29
Sobreimpulso [%]	0.00	0.00	0.00

Para el último caso, usando el algoritmo de control A\*-PID, la respuesta del sistema ante presencia de fugas en el tanque 1 se muestra en la Figura 5.8. Los resultados presentados en la Tabla 5.8 demuestran que, este algoritmo consigue un menor tiempo de establecimiento que el resto, con un valor de 93.70 seg. Sin embargo, a consecuencia de un ligero incremento del sobreimpulso, en un porcentaje del 0.48 %.

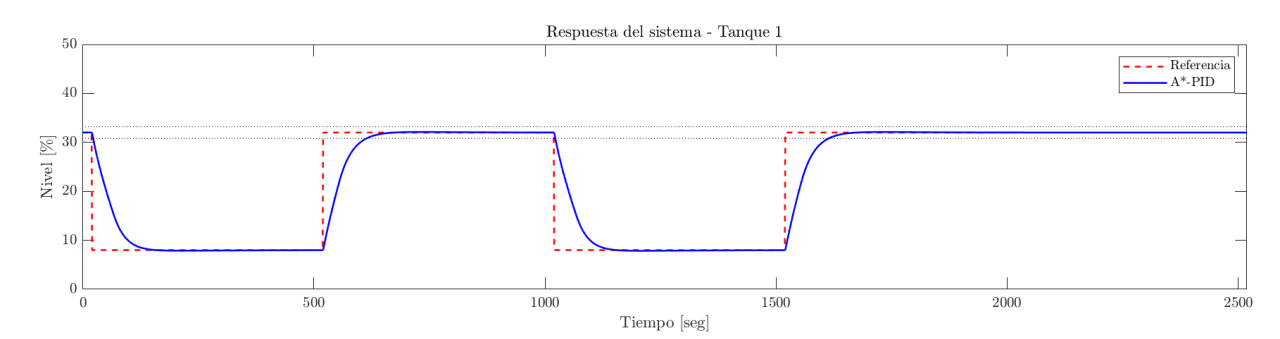


Figura 5.8: Respuesta del sistema en la simulación ante presencia de fugas en el tanque 1 utilizando un controlador A\*-PID.



Tabla 5.8: Resultados en la simulación ante presencia de fugas en el tanque 1 utilizando un controlador A\*-PID.

	Prueba 1	Prueba 2	Promedio
Tiempo de estabilización [seg]	93.68	93.72	93.70
Sobreimpulso [%]	0.48	0.48	0.48

En la simulación, se realiza pruebas para verificar el comportamiento de los algoritmos ante presencia de fugas del tanque 2. Por tanto, se activa el indicador de presencia de fugas sobre este tanque, se coloca el tanque 1 a un nivel de referencia del 60 % durante toda la simulación y se varía el nivel referencia del tanque 2 de 8 % - 32 % y viceversa, en intervalos de 500 seg a excepción del último cambio de referencia que se mantiene desde los 1500 seg a 2500 seg. En la Figura 5.9, se muestra la respuesta del sistema en el tanque 2 cuando se utiliza un controlador PID. Esta presenta un mayor tiempo de establecimiento que el sistema sin fallas, incluso el intervalo de tiempo de 500 seg no es suficiente para que la respuesta esté dentro del umbral de establecimiento.

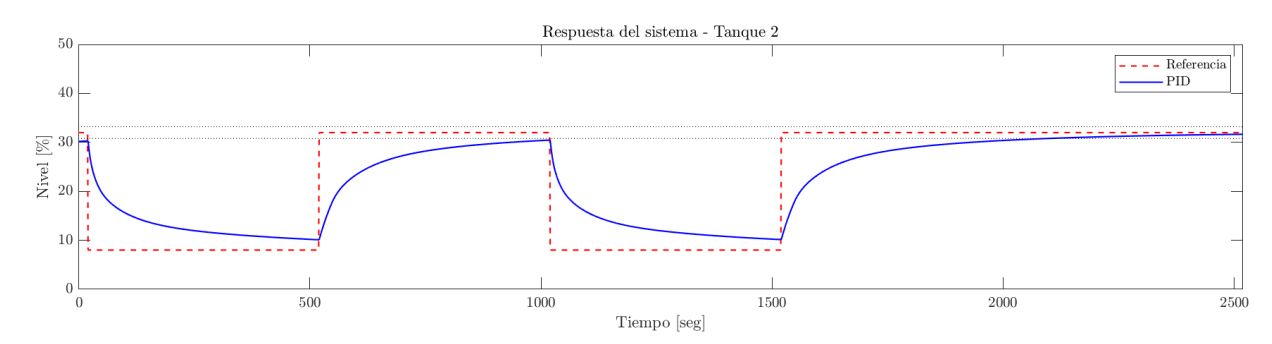


Figura 5.9: Respuesta del sistema en la simulación ante presencia de fugas en el tanque 2 utilizando un controlador PID.

Los resultados muestran que el sistema resulta afectado por la presencia de fugas en el tanque 2. El efecto es mayor que en las pruebas en el tanque 1, dando como resultado un tiempo de establecimiento de 610 seg, Tabla 5.9. La respuesta del sistema en la primera prueba no alcanza el umbral de establecimiento en el intervalo de tiempo dado, es por eso que se toma únicamente de la segunda prueba, la respuesta no posee sobreimpulso.

Tabla 5.9: Resultados en la simulación ante presencia de fugas en el tanque 2 utilizando un controlador PID.

	Prueba 1	Prueba 2	Promedio
Tiempo de estabilización [seg]	-	610.00	610.00
Sobreimpulso [%]	0.00	0.00	0.00

Al repetir la misma prueba empleando el controlador FGS-PID, Figura 5.10, se obtiene una



clara mejoría. Con esto se obtiene un tiempo de estabilización de 256.56 seg y sobreimpulso de 1.77 %, estos resultados se presentan en la Tabla 5.10.

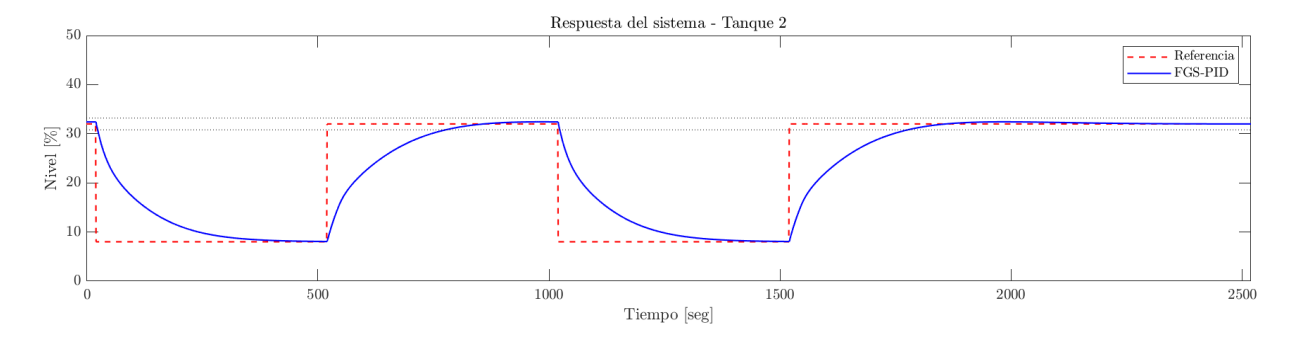


Figura 5.10: Respuesta del sistema en la simulación ante presencia de fugas en el tanque 2 utilizando un controlador FGS-PID.

Tabla 5.10: Resultados en la simulación ante presencia de fugas en el tanque 2 utilizando un controlador FGS-PID.

	Prueba 1	Prueba 2	Promedio
Tiempo de estabilización [seg]	256.56	256.56	256.56
Sobreimpulso [%]	1.77	1.77	1.77

En la Figura 5.11, se observa la respuesta del sistema empleando el algoritmo SA-PID ante presencia de fugas en el tanque 2, y su análisis de resultados en la Tabla 5.11. La respuesta no presenta sobreimpulso y tiene tiempo de establecimiento de 358.35 seg, que es menor al obtenido con el controlador PID, pero superior al valor de controlador FGS-PID.

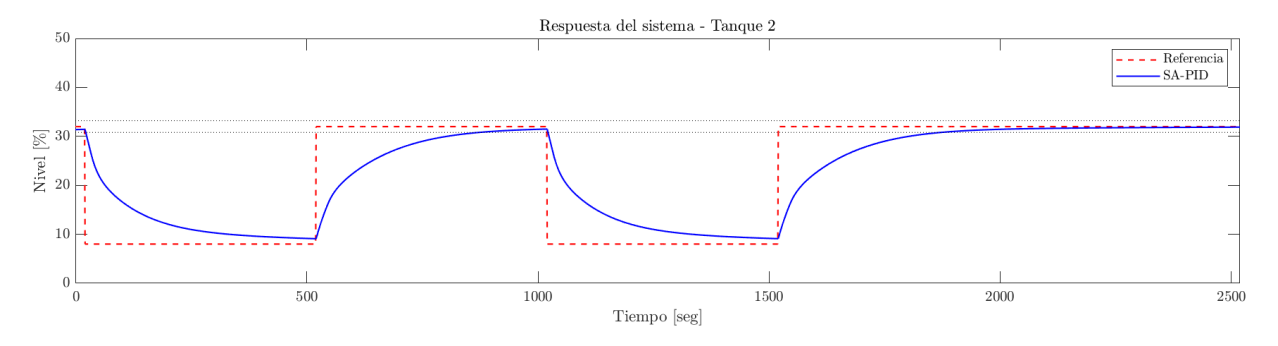


Figura 5.11: Respuesta del sistema en la simulación ante presencia de fugas en el tanque 2 utilizando un controlador SA-PID.

Tabla 5.11: Resultados en la simulación ante presencia de fugas en el tanque 2 utilizando un controlador SA-PID.

	Prueba 1	Prueba 2	Promedio
Tiempo de estabilización [seg]	358.62	358.09	358.35
Sobreimpulso [%]	0.00	0.00	0.00

La última prueba en la simulación es para el controlador A\*-PID. La respuesta ante presencia



de fugas en el tanque 2, se muestra en la Figura 5.12. Mientras que, los resultados se muestran en la Tabla 5.12, donde el tiempo de estabilización del sistema empleando este algoritmo es de 323.68 seg sin la presencia de sobreimpulso en la respuesta. El algoritmo consigue llegar a la referencia en un tiempo menor que los algoritmos PID y SA-PID.

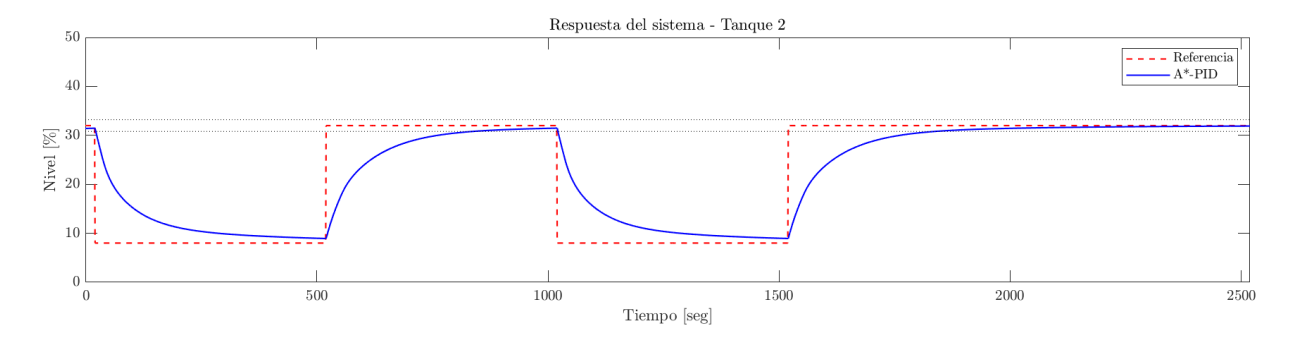


Figura 5.12: Respuesta del sistema en la simulación ante presencia de fugas en el tanque 2 utilizando un controlador A\*-PID.

Tabla 5.12: Resultados en la simulación ante presencia de fugas en el tanque 2 utilizando un controlador A\*-PID.

	Prueba 1	Prueba 2	Promedio
Tiempo de estabilización [seg]	323.76	323.59	323.68
Sobreimpulso [%]	0.00	0.00	0.00

#### 5.2. Resultados del sistema multitanque

# 5.2.1. Funcionamiento del sistema multitanque y sistema de control

El sistema multitanque construido, se muestra en la Figura 5.13, junto a todos los elementos que lo conforman como sensores, electroválvulas, bomba de agua y tubería. El tablero de control construido se muestra en la Figura 5.14, donde se presenta su vista frontal y su interior. El componente principal del tablero de control es la placa STM32F413ZH, ya que se encarga de tomar las medidas de los sensores, generar las señales de control y enviar los datos al ordenador para su visualización. Los componentes secundarios pero fundamentales son: módulo relé de cuatro canales, módulo convertidor de señal PWM a voltaje analógico, las fuentes de alimentación de  $12\,V/10\,A$  y  $24\,V/5\,A$  e interruptores para apagar las electroválvulas y la bomba, de forma manual.





Figura 5.13: Sistema multitanque construido.



Figura 5.14: Tablero de control construido.

Las mediciones del nivel de agua en los tanques presentan ciertas variaciones producto de las ondulaciones y salpicaduras. Para disminuir en gran medida estos errores, se utilizan tres estrategias. Como se observa en la Figura 5.15, se coloca una pared limitadora al costado del tanque cerca del sensor. La pared antes mencionada permite el paso del agua por la parte inferior, impide las salpicaduras y reduce las ondulaciones. Como segunda estrategia, se coloca un flotador negro de plástico de  $19 \times 3$  cm. Mientras que, la tercera estrategia consiste en realizar múltiples mediciones durante el intervalo de tiempo de muestreo y obtener su promedio.





Figura 5.15: Estrategias para reducir el error en la medición.

Para las fugas se agrega un adaptador macho para manguera presentado en la Figura 5.16; por lo que, el área de la fuga se reduce con diámetro de  $0.635 \, \mathrm{cm}$ .



Figura 5.16: Sistema de fugas del sistema multitanque construido.

## 5.2.2. Resultados de las pruebas de funcionamiento sin fugas

Las pruebas de funcionamiento del sistema multitanque, se realizan para cambios de referencia del nivel de los tanques del 8 % al 32 % y de 32 % al 8 %. Y Así, se evalúa solo para cambios de referencia de un nivel bajo a un alto, dando como resultado 3 pruebas que son promediadas. La respuesta del sistema presenta ruido en la medición, lo cual afecta al proceso de análisis de la respuesta y dificulta la determinación del tiempo de estabilización y sobreimpulso. Para esto, se efectúa previamente un filtrado de la señal, utilizando un filtro de mediana de quinto orden, donde el valor de la señal filtrada  $y_k$  es la mediana de los valores  $x_{k-2}$  hasta  $x_{k+2}$  de la señal. Además, es importante mencionar que la respuesta del sistema tarda un tiempo considerable en alcanzar la referencia, por tanto, para poder llevar a cabo las pruebas se reduce el número de iteraciones respecto a la simulación. El número de iteraciones y sub-iteraciones para el control SA-PID es de 3 y el número de iteraciones para el control  $A^*$ -PID es de 9.

La primera prueba se realiza utilizando el algoritmo de control PID. Como resultado, la Figura 5.17, muestra la respuesta del sistema para cambios de referencia en intervalos de 110 seg. Las señales son analizadas considerando los mismos parámetros de evaluación que en la simulación. Es decir, un rango de error de 5 % para el tiempo de estabilización.

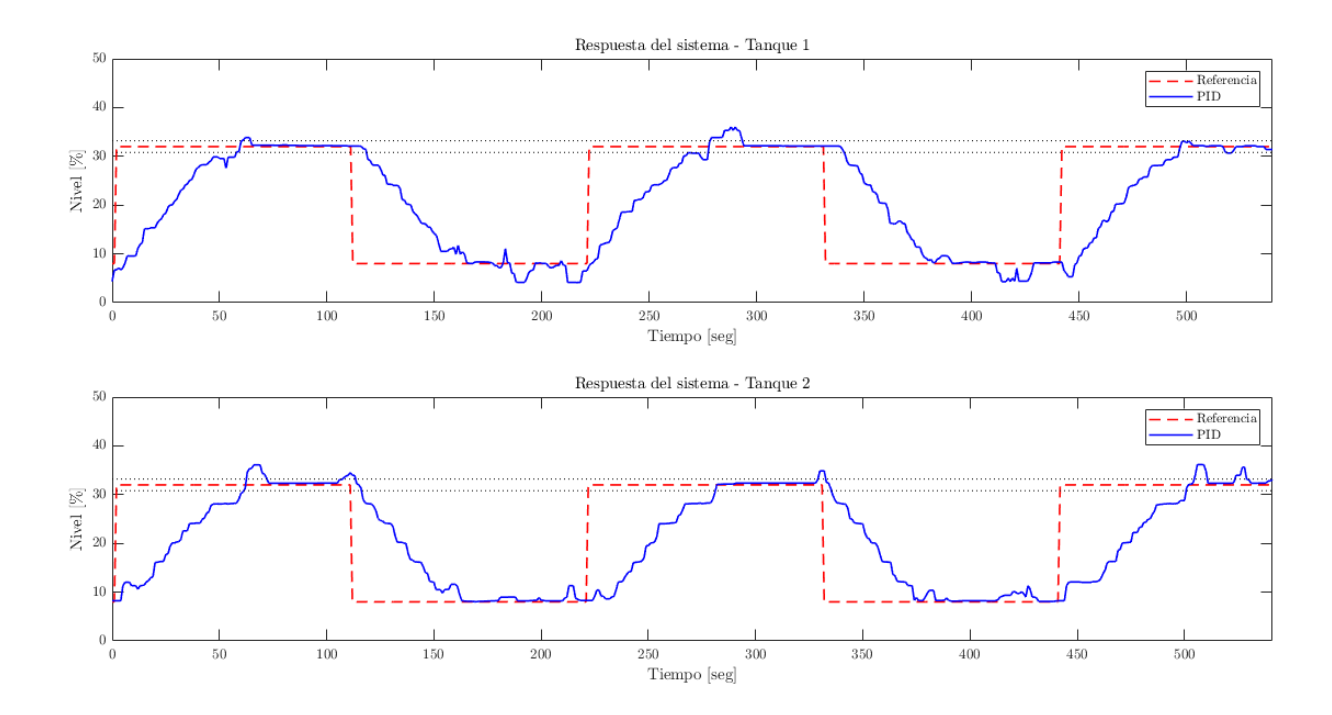


Figura 5.17: Respuesta del sistema multitanque ante cambios de referencia utilizando el algoritmo de control PID.

Los resultados son presentados en la Tabla 5.13, donde se determina que el tiempo de estabilización promedio del tanque 1 es de 61.61 seg y su sobreimpulso de 9.59 %. Mientras que, para el tanque 2, el tiempo de estabilización es de 72 seg y un sobreimpulso del 12.12 %.

Tabla 5.13: Resultados del sistema multitanque utilizando control PID.

		Prueba 1	Prueba 2	Prueba 3	Promedio
Tanque1	Tiempo de estabilización [seg]	62.38	71.29	51.1659	61.61
	Sobreimpulso [%]	7.28	16.58	4.8986	9.59
Tanque2	Tiempo de estabilización [seg]	70.17	59.24	86.9578	72.12
	Sobreimpulso [%]	17.34	1.52	17.5084	12.12

La Figura 5.18 muestra la respuesta del sistema para cambios de referencia de 32 % - 8 % y viceversa en intervalos de tiempo de 110 seg. La Tabla 5.14 muestra los resultados obtenidos al utilizar el controlador FGS-PID. En el caso del tanque 1, se obtiene un tiempo de establecimiento promedio de 59.77 seg y un sobreimpulso de 9.49 %. En el caso del tanque 2, se obtiene un tiempo de establecimiento promedio de 60.94 seg y un sobreimpulso de 6.72 %. Al



comparar con el algoritmo de control PID, se reduce en 4.17 seg y 0.10 % de valores obtenidos en el tanque 1 y 11.18 seg y 5.40 % del tanque 2.

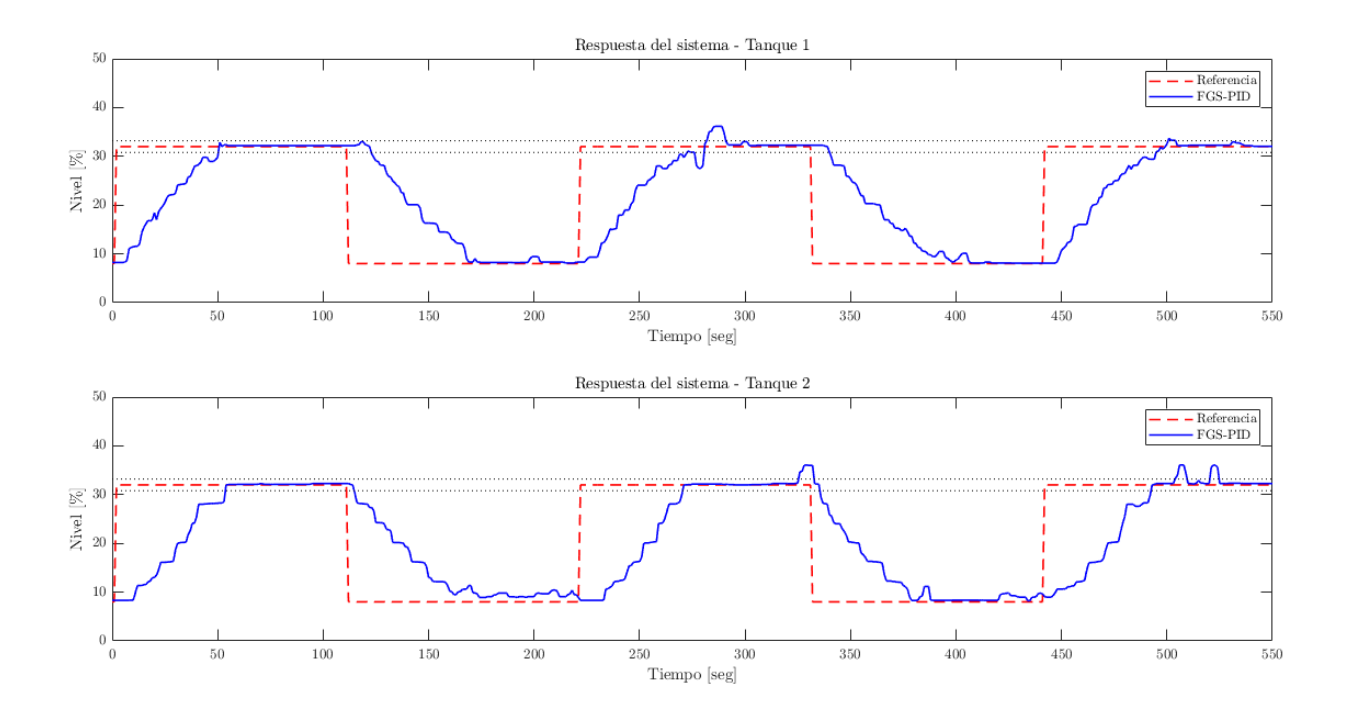


Figura 5.18: Respuesta del sistema multitanque ante cambios de referencia utilizando el algoritmo de control FGS-PID.

Tabla 5.14: Resultados del sistema multitanque utilizando control FGS-PID.

		Prueba 1	Prueba 2	Prueba 3	Promedio
Tanque1	Tiempo de estabilización [seg]	48.32	68.92	62.0778	59.77
	Sobreimpulso [%]	3.70	17.57	7.1906	9.49
Tanque2	Tiempo de estabilización [seg]	51.66	48.43	82.7373	60.94
	Sobreimpulso [%]	1.18	1.18	17.801	6.72

Al aplicar el algoritmo de control SA-PID, se genera la respuesta del sistema mostrada en la Figura 5.19. Con esto se logra una mejoría con respecto al algoritmo PID. Los resultados presentados en la Tabla 5.15 muestran que, el tiempo de estabilización promedio del tanque 1 es de 60.89 y su sobreimpulso de 0.98%. Así, el tiempo de estabilización en la respuesta del tanque 2 es de 51.61 seg y 1.35%. El algoritmo SA-PID reduce considerablemente el sobreimpulso, en comparación con el algoritmo PID. De hecho, se reduce en un 8.61% y 10.77% para el tanque 1 y 2, respectivamente. El tiempo de establecimiento en el tanque 1 de 3.05 seg es ligeramente menor. Sin embargo, en el tanque 2 existe una diferencia considerable de 20.51 seg.



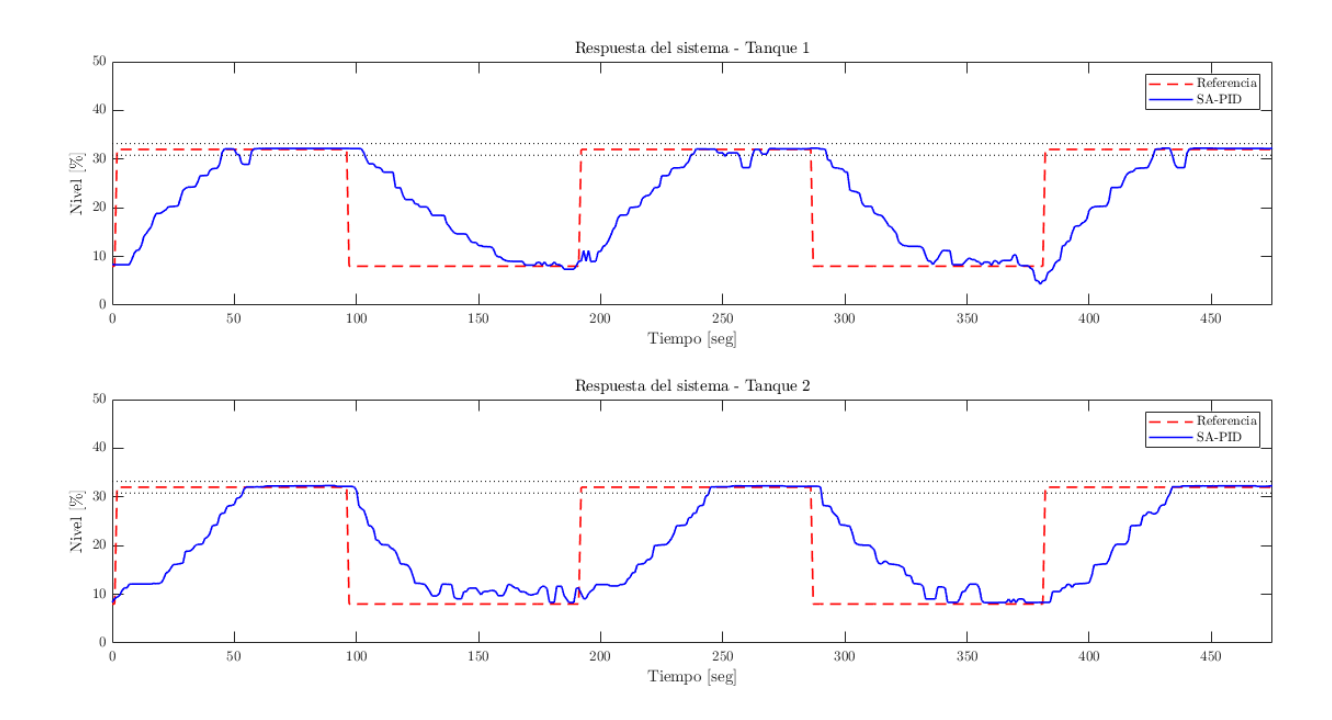


Figura 5.19: Respuesta del sistema multitanque ante cambios de referencia utilizando el algoritmo de control SA-PID.

Tabla 5.15: Resultados del sistema multitanque utilizando control SA-PID.

		Prueba 1	Prueba 2	Prueba 3	Promedio
Tanque1	Tiempo de estabilización [seg]	54.74	70.13	57.804	60.89
	Sobreimpulso [%]	0.84	1.05	1.0386	0.98
Tanque2	Tiempo de estabilización [seg]	51.42	52.28	51.1473	51.61
	Sobreimpulso [%]	1.42	1.28	1.3536	1.35

La Figura 5.20 muestra la respuesta del sistema ante cambios de referencias utilizando el algoritmo de control A\*-PID y presentando el análisis de resultados en la Tabla 5.16. Para el tanque 1, la respuesta del sistema tiene un tiempo de estabilización promedio de 52.32 seg y sobreimpulso de 3.88 %. Mientras que, para el tanque 2, el tiempo de estabilización es de 66.81 seg y sobreimpulso de 10.45 %. Al comparar los resultados obtenidos con los anteriores algoritmos; es notorio que, este algoritmo produce el menor tiempo de estabilización para el tanque 1.



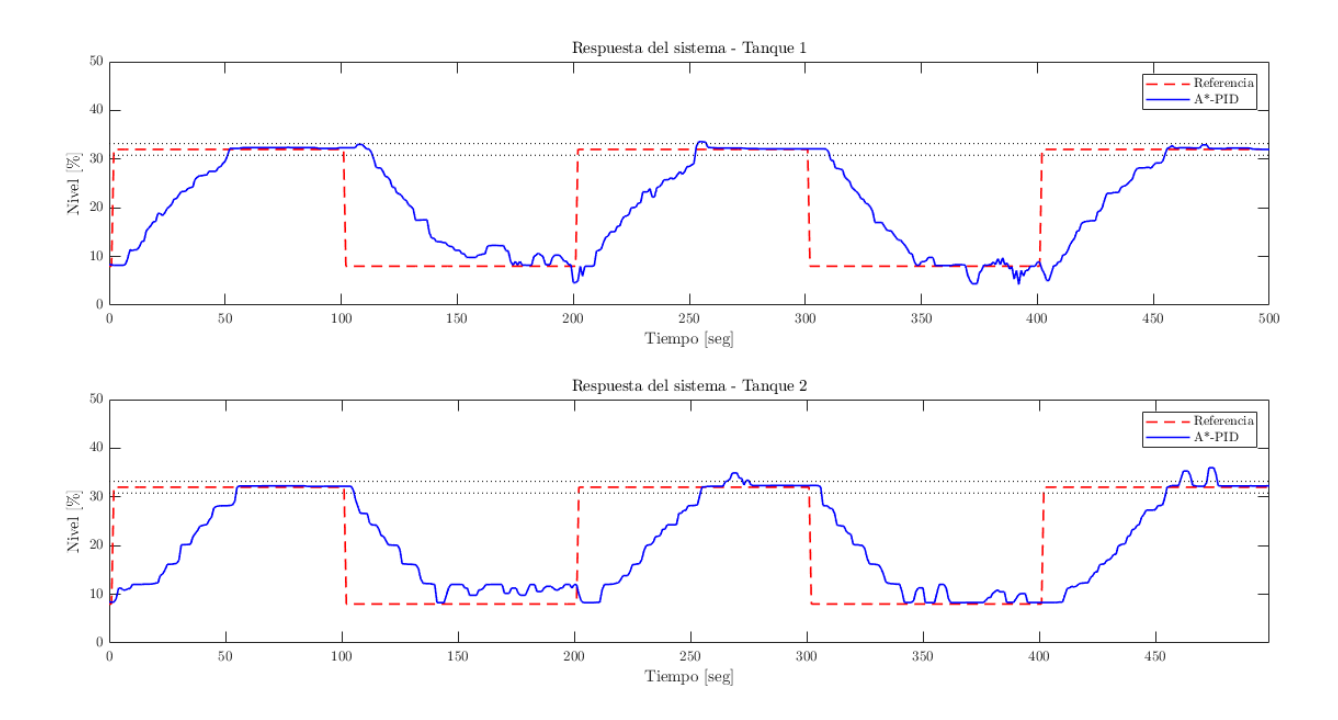


Figura 5.20: Respuesta del sistema multitanque ante cambios de referencia utilizando el algoritmo de control A\*-PID.

Tabla 5.16: Resultados del sistema multitanque utilizando control A\*-PID.

		Prueba 1	Prueba 2	Prueba 3	Promedio
Tangue1	Tiempo de estabilización [seg]	49.01	52.79	55.1518	52.32
ianquei	Sobreimpulso [%]	1.85	3.72	6.074	3.88
Tanque2	Tiempo de estabilización [seg]	52.59	74.63	73.2229	66.81
ranquez	Sobreimpulso [%]	1.19	16.89	13.2727	10.45

#### 5.2.3. Resultados de las pruebas de funcionamiento con fugas

A diferencia con las pruebas anteriores, los cambios de referencia se dan entre el 8 % y 20 % del nivel de los tanques. Esto con la finalidad de reducir el tiempo que tarda en realizar cada prueba ante la presencia de fugas.

En el primer caso, se configura el sistema en falla activando la fuga en el tanque 1. Luego, se realizan los cambios de referencia con los valores antes indicados sobre este tanque; mientras que, la referencia del tanque 2 se mantiene en cero durante las pruebas. La Figura 5.21 muestra la respuesta del sistema ante presencia de fugas en el tanque 1 al emplear un controlador PID. Se observa que, con las condiciones por defecto del controlador PID, el sistema sigue la referencia. No obstante, para el nivel de 8 % no consigue establecerse.



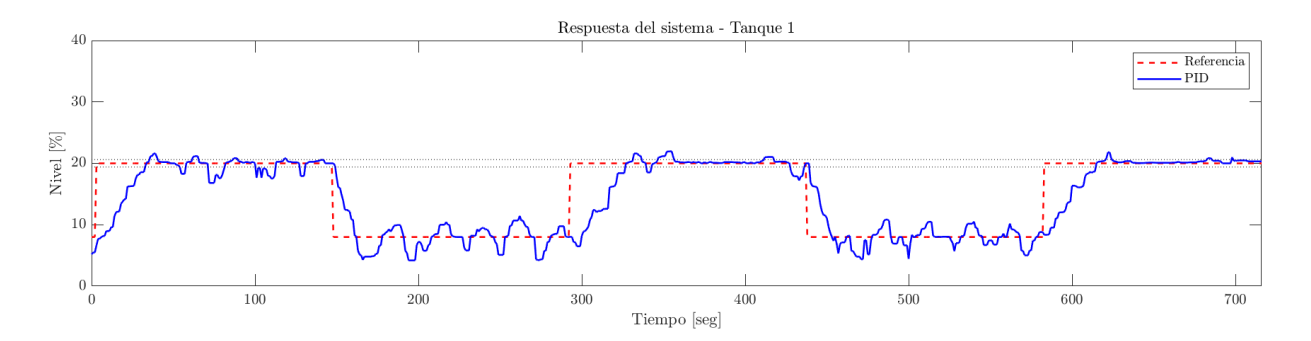


Figura 5.21: Respuesta del sistema ante presencia de fugas en el tanque 1 utilizando el algoritmo de control PID.

El tiempo de establecimiento promedio ante presencia de fugas en el tanque 1 es de 122.6 seg con un sobreimpulso de 14.61 %. Los resultados mencionados se presentan en la Tabla 5.17.

Tabla 5.17: Resultados ante presencia de fugas en el tanque 1 utilizando control PID.

·	Prueba 1	Prueba 2	Prueba 3	Promedio
Tiempo de estabilización [seg]	127.68	124.46	115.65	122.60
Sobreimpulso [%]	11.98	16.39	15.46	14.61

Usando las mismas condiciones aplicadas en el controlador PID, se evalúa la respuesta del sistema utilizando el algoritmo FGS-PID. La Figura 5.22 muestra el comportamiento del sistema sobre el tanque 1. En esta ocasión, se observa un mejor seguimiento de referencia para el nivel del 8 %.

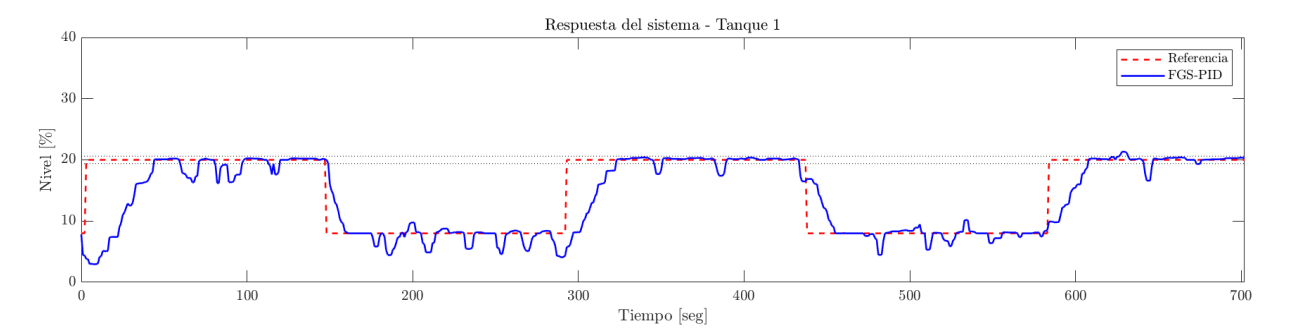


Figura 5.22: Respuesta del sistema ante presencia de fugas en el tanque 1 utilizando el algoritmo de control FGS-PID.

Los resultados del algoritmo FGS-PID, presentados en la Tabla 5.18, muestran una mejoría con respecto al algoritmo PID. En este, el tiempo de establecimiento promedio disminuye a 108.51 seg y su sobreimpulso se reduce a más de la mitad, con un valor de 5.88 %.



Tabla 5.18: Resultados ante presencia de fugas en el tanque 1 utilizando control FGS-PID.

	Prueba 1	Prueba 2	Prueba 3	Promedio
Tiempo de estabilización [seg]	95.85	116.58	113.10	108.51
Sobreimpulso [%]	2.82	1.73	13.10	5.88

La Figura 5.23 muestra la respuesta del sistema ante presencia de fugas en el tanque 1, empleando el algoritmo SA-PID. Los resultados obtenidos al aplicar este algoritmo, se resumen en la Tabla 5.19. Tal como se ha presentado, el tiempo de estabilización promedio obtenido es de 105.99 seg y el sobreimpulso de 9.63%.

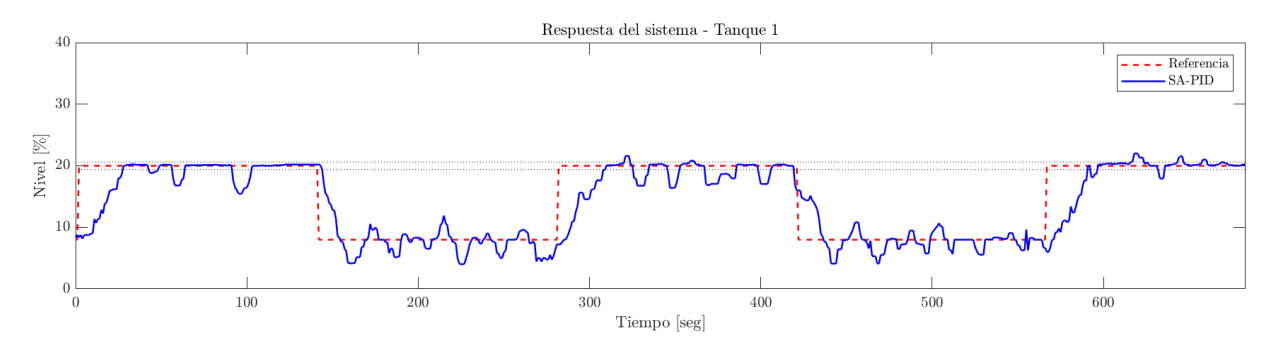


Figura 5.23: Respuesta del sistema ante presencia de fugas en el tanque 1 utilizando el algoritmo de control SA-PID.

Tabla 5.19: Resultados ante presencia de fugas en el tanque 1 utilizando control SA-PID.

	Prueba 1	Prueba 2	Prueba 3	Promedio
Tiempo de estabilización [seg]	100.72	93.33	123.94	105.99
Sobreimpulso [%]	2.06	14.29	12.54	9.63

La última prueba ha sido realizada con la configuración del sistema en falla. El desarrollo de esta prueba consiste en el análisis del algoritmo A\*-PID. En la Figura 5.24, se observa la respuesta del sistema en el tanque 1 y la Tabla 5.20 tabula sus resultados. Al comparar los resultados obtenidos; de manera similar al algoritmo de control SA-PID, se observa la mejora del algoritmo A\*-PID en el tiempo de estabilización del sistema, mismo que es de 105.98 seg. Además, se identifica una reducción considerable del sobreimpulso a un valor de 6.79 %.



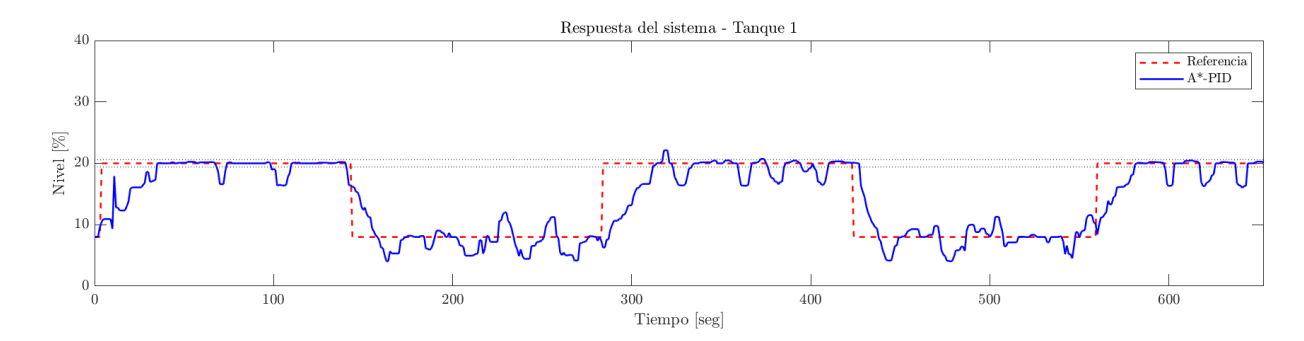


Figura 5.24: Respuesta del sistema ante presencia de fugas en el tanque 1 utilizando el algoritmo de control A\*-PID.

Tabla 5.20: Resultados ante presencia de fugas en el tanque 1 utilizando control A\*-PID.

	Prueba 1	Prueba 2	Prueba 3	Promedio
Tiempo de estabilización [seg]	105.65	125.57	86.73	105.98
Sobreimpulso [%]	2.5316	15.45	2.40	6.79

En el segundo caso, se configura el sistema en falla. Para ello, se activa la fuga en el tanque 2. Similarmente, se realizan cambios de referencias del 8% al 20% del nivel del tanque 2. Mientras tanto, para el tanque 1, se mantiene una referencia constante sobre el 32%. El análisis de resultados correspondientes a este caso, se efectúa cuando la referencia pasa de un valor alto a un valor bajo, es decir, de 20% al 8%. La Figura 5.25 muestra las primeras pruebas para esta configuración utilizando el algoritmo PID. Se examina que, en este caso, los parámetros por defecto del controlador no permiten el seguimiento de la referencia.

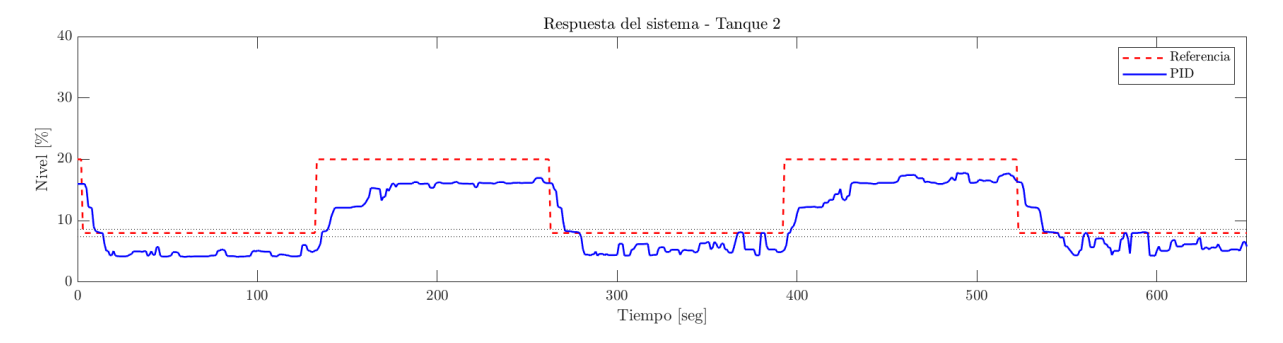


Figura 5.25: Respuesta del sistema ante presencia de fugas en el tanque 2 utilizando el algoritmo de control PID.

Debido a que el sistema no alcanza la referencia, los resultados presentados en la Tabla 5.21 para el algoritmo de control PID, no cuentan con un tiempo de estabilización. Sin embargo, el valor promedio del sobreimpulso es de 46.41 %.



Tabla 5.21: Resultados ante presencia de fugas en el tanque 2 utilizando control PID.

	Prueba 1	Prueba 2	Prueba 3	Promedio
Tiempo de estabilización [seg]	-	-	-	-
Sobreimpulso [%]	48.50	45.81	44.928	46.41

La respuesta del sistema presentado en la Figura 5.26, muestra el seguimiento de referencia empleando el algoritmo FGS-PID. En esta ocasión, el sistema sigue la referencia en el nivel de 2%, lo cual permite su análisis. El resultado del valor promedio del tiempo de establecimiento, presentado en la Tabla 5.22, es de 110.81 seg y su sobreimpulso del 34%.

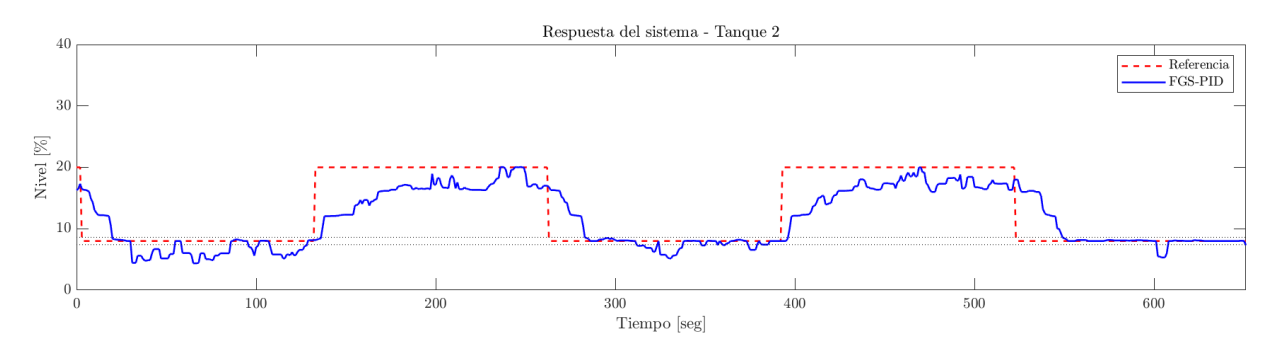


Figura 5.26: Respuesta del sistema ante presencia de fugas en el tanque 2 utilizando el algoritmo de control FGS-PID.

Tabla 5.22: Resultados ante presencia de fugas en el tanque 2 utilizando control FGS-PID.

	Prueba 1	Prueba 2	Prueba 3	Promedio
Tiempo de estabilización [seg]	125.41	122.27	84.74	110.81
Sobreimpulso [%]	42.92	32.27	26.80	34.00

De los resultados presentados, se deduce que, la respuesta del sistema en presencia de fallas mejora considerablemente al usar el algoritmo de control SA-PID, véase Figura 5.27. Así también, los resultados presentados en la Tabla 5.23 muestran que, en el mejor de los casos, el sistema se establece en 24.35 seg, sin presentar sobreimpulso. Este resultado, junto con los obtenidos en las demás pruebas, generan un promedio de tiempo de establecimiento de 80.90 y sobreimpulso de 10.58 %.



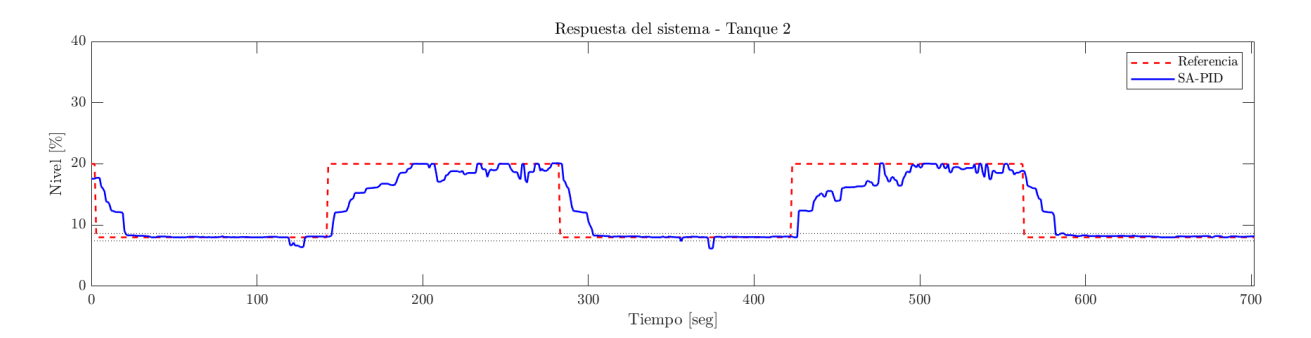


Figura 5.27: Respuesta del sistema ante presencia de fugas en el tanque 2 utilizando el algoritmo de control SA-PID.

Tabla 5.23: Resultados ante presencia de fugas en el tanque 2 utilizando control SA-PID.

	Prueba 1	Prueba 2	Prueba 3	Promedio
Tiempo de estabilización [seg]	125.70	92.66	24.35	80.90
Sobreimpulso [%]	16.46	15.28	0.00	10.58

Por último, se realizan pruebas para el algoritmo A\*-PID. La respuesta del sistema ante presencia de fugas en el tanque 2, se muestra en la Figura 5.28. Mientras que, el análisis de sus resultados se han tabulado en la Tabla 5.24. El sistema tiene un tiempo de establecimiento promedio de 62.21 seg y sobreimpulso de 11.26 %. Es importante clarificar que, en el mejor de los casos, el sistema se establece en 18.95 seg, y no genera sobreimpulso; comparando con el resto de algoritmos, este controlador presenta el menor tiempo de estabilización del sistema ante fallas. Adicionalmente, en el caso del valor de sobreimpulso, el algoritmo SA-PID tiene mejor evaluación.

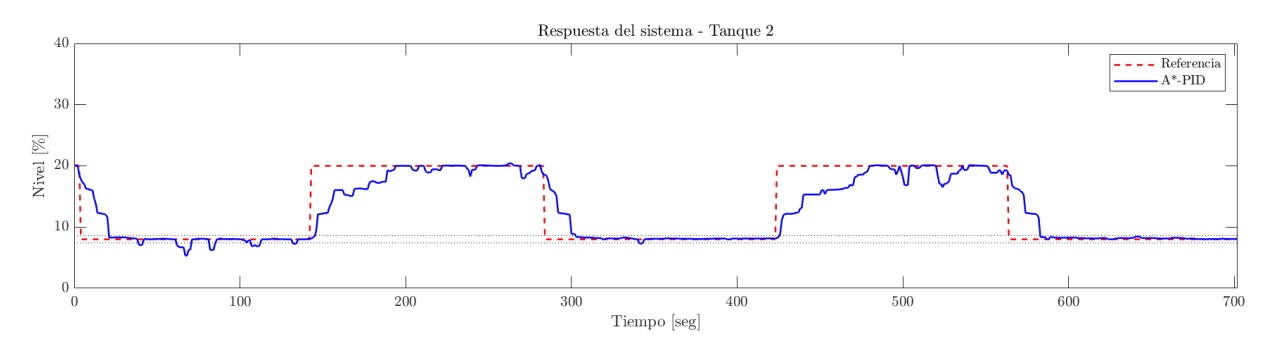


Figura 5.28: Respuesta del sistema ante presencia de fugas en el tanque 2 utilizando el algoritmo de control A\*-PID.

Tabla 5.24: Resultados ante presencia de fugas en el tanque 2 utilizando control A\*-PID.

	Prueba 1	Prueba 2	Prueba 3	Promedio
Tiempo de estabilización [seg]	108.47	59.22	18.95	62.21
Sobreimpulso [%]	27.35	6.44	0.00	11.26



Los resultados obtenidos, tanto en la simulación como las pruebas en el sistema físico del multitanque, demuestran que los algoritmos posibilitan la reducción del tiempo de establecimiento y sobreimpulso del sistema.



#### Conclusiones y trabajos futuros

En este capítulo, se describen las conclusiones obtenidas al finalizar el trabajo de investigación. Así, se resaltan los resultados obtenidos en los diferentes esquemas de control y sus limitaciones. Además, se presentan propuestas para trabajos de investigación futuros.

#### 6.1. Conclusiones

Las estrategias de control FGS-PID, SA-PID y A\*-PID, se basan en los principios de los algoritmos de inteligencia artificial. Entre ellos, se encuentran la lógica difusa, recocido simulado y el método de búsqueda A\*. El control FGS-PID ha sido arduamente usado en diversos sistemas de control. Sin embargo, en este trabajo se define un nuevo conjunto de reglas que eliminan la dependencia existente entre la ganancia derivativa y la integral. La ventaja de este sistema de control es que trabaja utilizando el error de la señal y su primera diferencia. Por ello, el sistema actúa sobre cada muestra; a diferencia del los esquemas de control SA-PID y A\*-PID que, trabajan en cada cambio de referencia. Consecuentemente, la respuesta de la señal es mejorada luego de cierto lapso. Ambos algoritmos determinan el valor de las ganancias, tomando un determinado número de muestras de la señal luego del cambio de referencia. Las ganancias son seleccionadas basándose en una función de costo u objetivo. Pese al uso de la misma función, estos algoritmos trabajan de forma diferente. Tal es el caso del algoritmo SA-PID, mismo que usa una función de temperatura exponencial y una función de probabilidad encargada de seleccionar mejores soluciones y, en algunos casos peores, para no estancarse en una solución local. Cabe recalcar que, la selección de vecinos para este algoritmo se realiza de forma aleatoria, comprendiendo un número infinito de valores dentro de un rango mínimo y máximo de ganancias. Esta última característica representa una clara diferencia con el algoritmo A\*-PID, cuyo análisis se desarrolla en un espacio finito de valores. Por ende, las ganancias vecinas son los nodos expandidos en el proceso de búsqueda.

El modelamiento del sistema multitanque y la implementación de los sistemas de control en la simulación, son una premisa del comportamiento de los algoritmos de inteligencia artificial previo a la verificación sobre el sistema real. Debido a que el sistema físico de multitanque presenta ciertas variaciones que no se pueden controlar; tales como la no linealidad de las válvulas, pérdidas provocadas en las conexiones de las tuberías, ruido en las mediciones, etc., los resultados difieren con la simulación. A pesar de ello, se deduce la misma conclusión con respecto al funcionamiento de los algoritmos, observando una disminución del tiempo de establecimiento y sobreimpulso al implementar los algoritmos de inteligencia artificial.

La placa de desarrollo STM32F413 núcleo-144 es la encargada de controlar el sistema multitanque. En efecto, su velocidad de procesamiento, capacidad de memoria y disponibilidad de pines de entradas y salidas; son suficientes para llevar a cabo el proceso de control utilizando los algoritmos de ganancia programada. Esta plataforma trabaja con el lenguaje de programación C/C++. Por lo tanto, todas las funciones implementadas en la simulación en MATLAB son adaptadas en C. Efectivamente, los resultados muestran que, las funciones son implementadas correctamente permitiendo el control del sistema multitanque.

Con la finalidad de analizar el comportamiento de los algoritmos de control GS en el sistema multitanque, se construye un tablero de control. Este último no solo cuenta con el componente principal de control, la placa STM32, sino también elementos necesarios para el funcionamiento de electroválvulas y módulos conversores. Los módulos, por su parte, adecuan las señales de control, e interruptores que manipulan la alimentación tanto del sistema, en general, como para cada válvula y bomba.

Los controladores PID, FGS-PID, SA-PID y A\*-PID, son implementados en cada válvula del sistema multitanque. De esta manera, se cumple con el objetivo de seguimiento de referencia. Tanto en la simulación como el sistema real, se muestra que la respuesta ante cambios de referencia se mejora al utilizar los controladores GS. La Tabla 6.1 sintetiza los resultados obtenidos en la simulación, donde se muestra que el controlador SA-PID obtiene un menor tiempo de estabilización en la respuesta del tanque 1, y el controlador FGS-PID en la respuesta del tanque 2. El algoritmo A\*-PID no supera a los otros algoritmos en el tiempo de estabilización; sin embargo, su mejora se ve reflejada en el sobreimpulso. Además, en presencia de fallas del sistema, el algoritmo A\*-PID posee el menor tiempo de estabilización cuando la fuga está en el tanque 1. Y el algoritmo FGS-PID posee el menor tiempo de estabilización cuando la fuga está en el tanque 2.

Tabla 6.1: Comparación de resultados del sistema multitanque simulado.

		PID	FGS-PID	SA-PID	A*-PID
Tangua 1	Tiempo de estabilización [seg]	274.67	88.35	82.80	89.48
Tanque 1	Sobreimpulso [%]	5.01	4.10	1.83	0.22
Tangua 2	Tiempo de estabilización [seg]	132.51	77.01	82.15	83.35
Tanque 2	Sobreimpulso [%]	5.08	4.21	3.63	0.86
Falla	Tiempo de estabilización [seg]	324.04	115.05	130.29	93.70
Tanque 1	Sobreimpulso [%]	0.00	0.00	0.00	0.48
Falla	Tiempo de estabilización [seg]	610.00	256.56	358.35	323.68
Tanque 2	Sobreimpulso [%]	0.00	1.77	0.00	0.00

Los resultados del sistema multitanque real se sintetizan en la Tabla 6.2, donde el algoritmo A\*-PID presenta el menor tiempo de estabilización para el tanque 1 y el algoritmo SA-PID para el tanque 2. Del mismo modo, al utilizar el algoritmo SA-PID, se obtiene la mejor evaluación en el sobreimpulso. Para el sistema con fugas, en los dos casos, el algoritmo A\*-PID presenta el menor tiempo de estabilización. Además, se evidencia que en el tanque 2, el sistema de control PID no logra cumplir con los objetivos de seguimiento de referencia. Sin embargo, los algoritmos de ganancia programada si lo hacen, demostrando que los algoritmos son tolerantes a fallas.

Tabla 6.2: Comparación de resultados del sistema multitanque real.

		PID	FGS-PID	SA-PID	A*-PID
Tangua 1	Tiempo de estabilización [seg]	61.61	59.77	60.89	52.32
Tanque 1	Sobreimpulso [%]	9.59	9.49	0.98	3.88
Tanque 2	Tiempo de estabilización [seg]	72.12	60.94	51.61	66.81
ranque 2	Sobreimpulso [%]	12.12	6.72	1.35	10.45
Falla	Tiempo de estabilización [seg]	122.60	108.51	105.99	105.98
Tanque 1	Sobreimpulso [%]	14.61	5.88	9.63	6.79
Falla	Tiempo de estabilización [seg]	-	110.81	80.90	62.21
Tanque 2	Sobreimpulso [%]	46.41	34.00	10.58	11.26

Los algoritmos de ganancia programada mejoran notablemente la respuesta del sistema en relación a su tiempo de estabilización y sobreimpulso, pese a esto establecer cuál es el mejor algoritmo resulta un desafío, ya que cada uno actúa de forma diferente. Además, la aleatoriedad que presentan los algoritmos SA-PID y A\*-PID hace que se obtengan diferentes resultados para una misma prueba. Finalmente se debe considerar que los algoritmos son sub-óptimos, la razón es que los parámetros del controlador son escogidos a partir de un rango mínimo y máximo de ganancias, lo que no quita el hecho que fuera de este rango exista mejores soluciones.

#### 6.2. Trabajos futuros

- Evaluar otros algoritmos de inteligencia artificial para la programación de ganancias del controlador PID.
- Evaluar nuevos índices de desempeño en la definición de la función objetivo de los algoritmos SA-PID y A\*-PID.
- Aumentar el número de interacciones de los algoritmos SA-PID y el espacio de búsqueda



del algoritmo A\*-PID. Para esto, se recomienda realizar las pruebas sobre un sistema con una respuesta rápida.

Buscar un método analítico para la optimización. Entre los principales parámetros de los algoritmos de control GS está el rango de ganancias, obtenido de forma experimental. Por tanto, definir un método analítico capaz determinar este rango permitiría a los algoritmos ser óptimos.



# **Apéndice**

Los apéndices A, B, C y D presentan los extractos de código de los algoritmos GS implementados en MATLAB para la simulación del sistema multitanque y los extractos de código implementados en STM32CubeIDE para el control de la placa STM32-núcleo144. Los códigos junto a sus archivos de apoyo se encuentran en los repositorios de GitHub, en [77] para MATLAB y en [78] para STM32CubeIDE. Por último, el apéndice D.2.3 muestra el diseño del sistema multitanque y tablero de control.



#### **Controlador PID**

#### A.1. MATLAB

#### A.1.1. Determinación de la respuesta del sistema en un lazo de control PID

```
function [y,t] = PIDcontrol(G,ref,Gains,dt)
      Kp = Gains(1);
      Ki = Gains(2);
      Kd = Gains(3);
5
      s = tf('s');
      Gc = Kp + Ki/s + Kd*s/(1+.001*s);
      Loop = series(Gc,G);
      ClosedLoop = feedback(Loop,1);
8
      t = 0:dt:20;
9
      [y,t] = step(ClosedLoop,t);
10
      y = ref*y;
11
12 end
```

Extracto de código A.1: Función PIDcontrol().

#### A.2. STM32CubeIDE

# A.2.1. Inicialización de variables y determinación de la señal de control del algoritmo de control PID

```
void PID_Init(pid_s *pid, int select)
1
 2
   {
            (*pid).r = 1.0;
                                             // referencia
                                              // error
            (*pid).e[0] = 0.0;
4
                                              // error anterior e(k-1)
            (*pid).e[1]= 0.0;
5
                                              // error acumulado
6
            (*pid).e[2] = 0.0;
                                              // salida de la planta
7
            (*pid).y = 0;
8
            (*pid).u = 0;
                                              // senal de control
9
10
            switch (select)
11
            // ganancias del controlador PID para la valvula 1
12
            case 1:
13
14
                     (*pid).Kp = 0.2;
15
                    (*pid).Kd = 0.01;
16
                    (*pid).Ki = 0.0005;
17
                    break;
18
            // ganancias del controlador PID para la valvula 2
19
            case 2:
20
                    (*pid).Kp = 0.2;
21
                     (*pid).Kd = 0.1;
22
                    (*pid).Ki = 0.0001;
23
                    break;
24
            // ganancias del controlador PID para la valvula 3
25
            case 3:
                    (*pid).Kp = 0.7;
26
27
                    (*pid).Kd = 0.1;
```



```
28
                     (*pid).Ki = 0.001;
29
                    break;
            // ganancias del controlador PID por defecto
30
31
            default:
32
                     (*pid).Kp = 1;
33
                     (*pid).Kd = 0;
                     (*pid).Ki = 0;
34
35
36
            (*pid).Gains[0] = (*pid).Kp; // ganancia proporcional
37
            (*pid).Gains[1] = (*pid).Ki; // ganancia integral
            (*pid).Gains[2] = (*pid).Kd; // ganancia derivativa
38
39
   }
```

Extracto de código A.2: Función PID\_Init().

```
float PID_control( float *e, float Gains[3], float Ts)
1
2
   {
3
       float u;
                                // senal de control
       float Kp = Gains[0], Ki = Gains[1], Kd = Gains[2]; // ganancias del
4
           controlador PID
5
       float error = e[0];
                               // error actual
6
       float error_ant = e[1]; // error anterior
7
       float error_sum = e[2]; // sumatoria de los errores pasados
8
       float delt_error = error - error_ant; // delta error
9
       float error_acum = error_sum+ error; // error acumulado
10
       // ley de control
11
       u = Kp * error + Ki * (Ts * error_acum) + Kd * (delt_error / Ts);
       // actualizacion de valores del error anterior y el error acumulado
12
13
       *(e+1) = error;
14
       *(e+2) = error_acum;
15
       // retorna el valor de control
16
       return u;
17
   }
```

Extracto de código A.3: Función PID\_control().



#### **Controlador FGS-PID**

#### **B.1. MATLAB**

# B.1.1. Implementación del controlador FGS-PID para un sistema representado en espacio de estados

```
fis = readfis('fuzzy_control')
  for k = N+2 : Ns
     y(k) = C*x(:,k) ;
                                 % vector de salida
     e(k) = r(k) - y(k);
                                % error
     e_acum = e_acum + e(k);
                                 % error acumulado
     delt_e = (e(k) - e(k-1)); % differencia del error
     % -----Controlador FGS-PID ------
7
     output= evalfis(fis,[e(k) delt_e]);
8
9
     Kpp = output(1);
     Kdp = output(2);
10
     Kip = output(3);
11
     Kp = (Kpmax - Kpmin) * Kpp + Kpmin;
12
13
     Kd = (Kdmax - Kdmin) * Kdp + Kdmin;
     Ki = (Kimax - Kimin) * Kip + Kimin;
     u(k) = Kp * e(k) + Ki * T * e_acum + Kd * delt_e / T;
15
16
     x(:,k+1) = A*x(:,k) + B*u(k); % vector de estados
18
 end
```

Extracto de código B.1: Algoritmo de control FGS-PID en MATLAB.

#### B.1.2. Archivo fuzzy\_control.fis

```
[System]
Name='fuzzy_control'
Type='mamdani'
Version=2.0
NumInputs=2
NumOutputs=3
NumRules=49
AndMethod='min'
OrMethod='max'
ImpMethod='min'
AggMethod='max'
DefuzzMethod='centroid'
[Input1]
Name='e'
Range=[-1 1]
NumMFs=7
MF1='NB': 'trapmf',[-1e+100 -1e+100 -0.9667 -0.7]
MF2='NM':'trimf',[-1 -0.6667 -0.3333]
MF3='NS':'trimf',[-0.6667 -0.3333 -5.551e-17]
MF4='Z0':'trimf',[-0.3333 0 0.3333]
MF5='PS':'trimf',[-5.551e-17 0.3333 0.6667]
MF6='PM':'trimf',[0.3333 0.6667 1]
MF7='PB':'trapmf',[0.7 0.9667 1e+100 1e+100]
```

# **U**CUENCA

```
[Input2]
Name='delt_e'
Range = [-1 \ 1]
NumMFs=7
MF1='NB':'trapmf',[-1e+100 -1e+100 -0.9667 -0.7]
MF2='NM':'trimf',[-1 -0.6666 -0.3334]
MF3='NS':'trimf',[-0.6666 -0.3334 0]
MF4='Z0':'trimf',[-0.3334 0 0.3334]
MF5='PS':'trimf',[0 0.3334 0.6666]
MF6='PM':'trimf',[0.3334 0.6666 1]
MF7='PB':'trapmf',[0.7 0.9666 1.034 1e+100]
[Output1]
Name='kpp'
Range=[0 1]
NumMFs=2
MF1='small':'gaussmf',[0.4247 0]
MF2='big':'gaussmf',[0.4247 1]
[Output2]
Name='kdp'
Range = [0 1]
NumMFs=2
MF1='small':'gaussmf',[0.4247 0]
MF2='big':'gaussmf',[0.4247 1]
[Output3]
Name='Kip'
Range = [0 1]
NumMFs=4
MF1='S':'gaussmf',[0.1 0]
MF2='SM':'gaussmf',[0.1 0.3]
MF3='BM':'gaussmf',[0.1 0.705]
MF4='B':'gaussmf',[0.1 1]
[Rules]
1 1, 2 1 4 (1) : 1
1 2, 2 1 4 (1) : 1
1 3, 2 1 4 (1) : 1
1 4, 2 1 4 (1) : 1
1 5, 2 1 4 (1) : 1
1 6, 2 1 4 (1) : 1
1 7, 2 1 4 (1) : 1
2 1, 1 2 3 (1) : 1
2 2, 2 2 3 (1) : 1
2 3, 2 1 4 (1) : 1
2 4, 2 1 4 (1) : 1
2 5, 2 1 4 (1) : 1
2 6, 2 2 3 (1) : 1
2 7, 1 2 3 (1) : 1
3 1, 1 2 2 (1) : 1
3 2, 1 2 3 (1) : 1
3 3, 2 2 3 (1) : 1
3 4, 2 1 4 (1) : 1
3 5, 2 2 3 (1) : 1
3 6, 1 2 3 (1) : 1
3 7, 1 2 2 (1) : 1
```

**U**CUENCA 125

```
4 1, 1 2 1 (1) : 1
4 2, 1 2 2 (1) : 1
4 3, 1 2 3 (1) : 1
4 4, 2 2 3 (1) : 1
4 5, 1 2 3 (1) : 1
4 6, 1 2 2 (1) : 1
4 7, 1 2 1 (1) : 1
5 1, 1 2 2 (1) : 1
5 2, 1 2 3 (1) : 1
5 3, 2 2 3 (1) : 1
5 4, 2 1 4 (1) : 1
5 5, 2 2 3 (1) : 1
5 6, 1 2 3 (1) : 1
5 7, 1 2 2 (1) : 1
6 1, 1 2 3 (1) : 1
6 2, 2 2 3 (1) : 1
6 3, 2 1 4 (1) : 1
6 4, 2 1 4 (1) : 1
6 5, 2 1 4 (1) : 1
6 6, 2 2 3 (1) : 1
6 7, 1 1 3 (1) : 1
7 1, 2 1 4 (1) : 1
7 2, 2 1 4 (1) : 1
7 3, 2 1 4 (1) : 1
7 4, 2 1 4 (1) : 1
7 5, 2 1 4 (1) : 1
7 6, 2 1 4 (1) : 1
7 7, 2 1 4 (1) : 1
```

Extracto de código B.2: Archivo fuzzy\_control.fis

# B.1.3. Implementación del controlador FGS-PID para el control del sistema multitanque en Simulink

```
function [sys,x0,str,ts,simStateCompliance] = sfun_fuzzycontrol(t,x,u,flag,
     fuzzy_vars)
 switch flag,
   % Initialization %
      [sys,x0,str,ts,simStateCompliance]=mdlInitializeSizes;
    % Derivatives %
    case 1,
      sys=mdlDerivatives(t,x,u);
8
    % Update %
9
10
   case 2,
     sys=mdlUpdate(t,x,u);
11
    % Outputs %
12
   case 3,
13
      sys=mdlOutputs(t,x,u,fuzzy_vars);
    % GetTimeOfNextVarHit %
15
16
    case 4,
      sys=mdlGetTimeOfNextVarHit(t,x,u);
17
    % Terminate %
18
   case 9,
      sys=mdlTerminate(t,x,u);
20
    % Unexpected flags %
```



```
otherwise
      DAStudio.error('Simulink:blocks:unhandledFlag', num2str(flag));
24
25 end
  function [sys,x0,str,ts,simStateCompliance]=mdlInitializeSizes
27
 % defined by the S-function parameters.
28
29 sizes = simsizes;
30
sizes.NumContStates = 0;
32 sizes.NumDiscStates = 0;
33 sizes.NumOutputs
34 sizes.NumInputs
 sizes.DirFeedthrough = 1;
 sizes.NumSampleTimes = 1;
                               % at least one sample time is needed
38 sys = simsizes(sizes);
40 % initialize the initial conditions
41 \times 0 = [];
 % str is always an empty matrix
43
  str = [];
 % initialize the array of sample times
45
 ts = [0 \ 0];
46
 % Specify the block simStateCompliance. The allowed values are:
47
       'UnknownSimState', < The default setting; warn and assume
48
     DefaultSimState
       'DefaultSimState', < Same sim state as a built-in block
 %
49
  %
       'HasNoSimState', < No sim state
50
       'DisallowSimState' < Error out when saving or restoring the model sim
51
     state
52 simStateCompliance = 'UnknownSimState';
54 function sys=mdlDerivatives(t,x,u)
55
 sys = [];
  function sys=mdlUpdate(t,x,u)
57
58
 sys = [];
59
  function sys=mdlOutputs(t,x,u,fuzzy_vars)
60
      Kpmin = fuzzy_vars(1);
61
      Kpmax = fuzzy_vars(2);
62
      Kdmin = fuzzy_vars(3);
63
      Kdmax = fuzzy_vars(4);
64
      Kimin = fuzzy_vars(5);
65
      Kimax = fuzzy_vars(6);
66
      e = u(1);
      delt_e = u(2);
68
      global fis
69
      %******* FSG-PID *********
70
      output= evalfis(fis,[e delt_e]);
71
      Kpp = output(1);
72
      Kdp = output(2);
73
74
      Kip = output(3);
75
      Kp = (Kpmax - Kpmin) * Kpp + Kpmin;
      Kd = (Kdmax - Kdmin) * Kdp + Kdmin;
76
      Ki = (Kimax - Kimin) * Kip + Kimin;
```



```
sys = [Kp Ki Kd];
sys = [Kp Ki Kd];
function sys=mdlGetTimeOfNextVarHit(t,x,u)
sampleTime = 1;  % Example, set the next hit to be one second later.
sys = t + sampleTime;
function sys=mdlTerminate(t,x,u)
sys = [];
```

Extracto de código B.3: Función sfun\_fuzzycontrol.

#### **B.2. STM32CubeIDE**

#### B.2.1. Generación de las funciones de membresía y definición de las reglas difusas

```
1
   void Fuzzy_Init(){
2
           // Definicion de rangos de las funciones de error, delta error, Kp',
                Kd'y Ki'
 3
            fuzzy.range_e[0] = -1;
                                            fuzzy.range_e[1] = 1;
                                                                              //
               rango del error
            fuzzy.range_de[0] = -1;
                                            fuzzy.range_de[1] = 1;
                                                                              //
 4
               rango de la diferencia del error (delta error)
 5
            fuzzy.range_kpp[0] = 0;
                                            fuzzy.range_kpp[1] = 1;
               rango de la ganancia proporcional Kp'
 6
            fuzzy.range_kdp[0] = 0;
                                                                              //
                                             fuzzy.range_kdp[1] = 1;
               rango de la ganancia derivativa Kd'
 7
            fuzzy.range_kip[0] = 0;
                                        fuzzy.range_kip[1] = 1;
                                                                              //
               rango de la ganancia integral Ki'
8
9
           // definicion de logitud maxima de los vectores para las funciones
               de membresia
           int len_e = n_max_e;
10
           int len_de = n_max_e;
11
12
           int len_kpp = n_max_kpp;
13
           int len_kdp = n_max_kpp;
14
           int len_kip = n_max_kip;
15
           fuzzy.len_MFout[0] = len_kpp;
           fuzzy.len_MFout[1] = len_kdp;
16
17
           fuzzy.len_MFout[2] = len_kip;
18
           /* generacion de los vectores de error, delta error, Kp',Kd',Ki'
19
20
               con valores dentro del rango y espacio entres valores (paso)
               presetablecido */
21
22
            float paso = PASO;
23
            generate_vector(fuzzy.error,fuzzy.range_e[0],fuzzy.range_e[1], paso
               );
            \tt generate\_vector(fuzzy.delt\_error,fuzzy.range\_de[0],fuzzy.range\_de[0])
24
               [1], paso);
25
            generate_vector(fuzzy.kpp,fuzzy.range_kpp[0],fuzzy.range_kpp[1],
               paso);
26
            generate_vector(fuzzy.kdp ,fuzzy.range_kdp[0],fuzzy.range_kdp[1],
27
            generate_vector(fuzzy.kip,fuzzy.range_kip[0],fuzzy.range_kip[1],
               paso):
```



```
// definicion de las variables de entrada de entrada y salida
28
29
           fuzzy.fun_in_out[0] = fuzzy.error;
30
            fuzzy.fun_in_out[1] = fuzzy.delt_error;
            fuzzy.fun_in_out[2] = fuzzy.kpp;
31
            fuzzy.fun_in_out[3] = fuzzy.kdp;
32
33
            fuzzy.fun_in_out[4] = fuzzy.kip;
34
           // funciones de membresia para la variable de entrada del error
35
           for (int i = 0 ; i < len_e; ++i){</pre>
36
                    fuzzy.eNB[i] = trapmf(fuzzy.error[i], -1E100, -1E100,
                        -0.9667, -0.7);
37
                    fuzzy.eNM[i] = trimf(fuzzy.error[i], -1, -0.6667, -0.3333)
                    fuzzy.eNS[i] = trimf(fuzzy.error[i], -0.6667, -0.3333,
38
                        -5.551E-17);
39
                    fuzzy.eZO[i] = trimf(fuzzy.error[i], -0.3333, 0, 0.3333);
                    fuzzy.ePS[i] = trimf(fuzzy.error[i], -5.551e-17, 0.3333,
40
                        0.6667);
                    fuzzy.ePM[i] = trimf(fuzzy.error[i], 0.3333, 0.6667, 1);
41
42
                    fuzzy.ePB[i] = trapmf(fuzzy.error[i], 0.7, 0.9667,
                         1E10);
43
            fuzzy.eMF[0] = fuzzy.eNB;
44
45
            fuzzy.eMF[1] = fuzzy.eNM;
46
            fuzzy.eMF[2] = fuzzy.eNS;
47
            fuzzy.eMF[3] = fuzzy.eZ0;
48
            fuzzy.eMF[4] = fuzzy.ePS;
49
           fuzzy.eMF[5] = fuzzy.ePM;
           fuzzy.eMF[6] = fuzzy.ePB;
50
51
            // funciones de membresia para la variable de entrada delta error
52
            for (int i = 0 ; i < len_de; ++i){</pre>
53
                    fuzzy.deNB[i] = trapmf(fuzzy.delt_error[i], -1E100, -1E100,
                         -0.9667, -0.7);
54
                    fuzzy.deNM[i] = trimf(fuzzy.delt_error[i], -1, -0.6667,
                        -0.3334);
55
                    fuzzy.deNS[i] = trimf(fuzzy.delt_error[i], -0.6666,
                        -0.3333, 0);
                    fuzzy.deZO[i] = trimf(fuzzy.delt_error[i], -0.3334, 0,
56
                        0.3334);
57
                    fuzzy.dePS[i] = trimf(fuzzy.delt_error[i], 0, 0.3334,
                        0.6667);
                    fuzzy.dePM[i] = trimf(fuzzy.delt_error[i], 0.3334, 0.6667,
58
                        1);
                    fuzzy.dePB[i] = trapmf(fuzzy.delt_error[i], 0.7, 0.9667,
59
                          1E10, 1E10);
60
61
           fuzzy.deMF[0] = fuzzy.deNB;
62
           fuzzy.deMF[1] = fuzzy.deNM;
63
           fuzzy.deMF[2] = fuzzy.deNS;
           fuzzy.deMF[3] = fuzzy.deZ0;
64
           fuzzy.deMF[4] = fuzzy.dePS;
65
           fuzzy.deMF[5] = fuzzy.dePM;
66
67
           fuzzy.deMF[6] = fuzzy.dePB;
68
           // funciones de membresia para las varaibles de salida Kp'
69
           for (int i = 0 ; i < len_kpp; ++i){</pre>
70
                    fuzzy.small1[i] = gaussmf(fuzzy.kpp[i], 0.4247, 0);
71
                    fuzzy.big1[i] = gaussmf(fuzzy.kpp[i], 0.4247, 1);
72
           }
            fuzzy.kppMF[0] = fuzzy.small1; fuzzy.kppMF[1] = fuzzy.big1;
73
```



```
74
             // funciones de membresia para las varaibles de salida Kd'
75
             for (int i = 0 ; i < len_kdp; ++i){</pre>
76
                      fuzzy.small2[i] = gaussmf(fuzzy.kdp[i], 0.4247, 0);
77
                      fuzzy.big2[i] = gaussmf(fuzzy.kdp[i], 0.4247, 1);
78
             }
79
             fuzzy.kdpMF[0] = fuzzy.small2; fuzzy.kdpMF[1] = fuzzy.big2;
80
             // funciones de membresia para las varaibles de salida Ki'
81
             for (int i = 0 ; i < len_kip; ++i){</pre>
82
                      fuzzy.S[i] = gaussmf(fuzzy.kip[i], 0.1,0);
83
                      fuzzy.MS[i] = gaussmf(fuzzy.kip[i], 0.1, 0.295);
84
                      fuzzy.MB[i] = gaussmf(fuzzy.kip[i], 0.1, 0.705);
85
                     fuzzy.B[i] = gaussmf(fuzzy.kip[i], 0.1, 1);
86
87
             fuzzy.kipMF[0] = fuzzy.S; fuzzy.kipMF[1] = fuzzy.MS;
88
             fuzzy.kipMF[2] = fuzzy.MB; fuzzy.kipMF[3] = fuzzy.B;
89
             // funciones de membresia de entrada
90
             fuzzy.MFin[0]=fuzzy.eMF;fuzzy.MFin[1]=fuzzy.deMF;
91
             // funciones de membresia de salida
92
             fuzzy.MFout[0]=fuzzy.kppMF;fuzzy.MFout[1]=fuzzy.kdpMF;fuzzy.MFout
                 [2]=fuzzy.kipMF;
             // definicion de las reglas difusas
93
94
             char *valores[N_RULES]= {
95
                              "1 1, 2 1 4"
                              "1 2, 2 1 4"
96
97
                              "1 3, 2 1 4",
                              "1 4, 2 1 4",
98
                              "1 5, 2 1 4"
99
                              "1 6, 2 1 4"
100
                              "1 7, 2 1 4"
101
                              "21,
102
                                    1 2 3"
103
                              "2 2, 2 2 3"
                              "2 3, 2 1 4",
104
                              "2 4, 2 1 4",
105
                              "2 5, 2 1 4",
106
                              "2 6, 2 2 3"
107
                              "2 7, 1 2 3"
108
                              "31,
                                    1 2 2"
109
                              "3 2, 1 2 3"
110
                              "3 3, 2 2 3"
111
                              "3 4, 2 1 4"
112
                              "3 5, 2 2 3",
113
                              "3 6, 1 2 3",
114
                              "3 7, 1 2 2"
115
                              "4 1, 1 2 1"
116
                              "4 2, 1 2 2"
117
                              "4 3, 1 2 3"
118
119
                              "4 4, 2 2 3"
                              "4 5, 1 2 3",
120
                              "4 6, 1 2 2",
121
                              "47, 121",
122
                              "5 1, 1 2 2"
123
                              "5 2, 1 2 3"
124
                              "5 3, 2 2 3"
125
                              "5 4, 2 1 4"
126
                              "5 5, 2 2 3",
127
                              "5 6, 1 2 3",
128
129
                              "5 7, 1 2 2",
130
                              "6 1, 1 2 3",
```



```
"6 2, 2 2 3",
131
                                "6 3, 2 1 4",
132
                                "6 4, 2 1 4",
133
                                "6 5, 2 1 4"
134
                                "6 6, 2 2 3"
135
                                "67,
136
                                       1 1
                                "7 1,
137
                                      2 1 4"
                                "72,
138
                                      2 1 4"
                                "7 3, 2 1 4"
139
                                "7 4, 2 1 4",
140
                                "7 5, 2 1 4",
141
                                "7 6, 2 1 4",
142
                                "7 7, 2 1 4"};
143
144
                       for (int i = 0 ; i < N_RULES; ++i) {</pre>
145
                                fuzzy.reglas[i] = valores[i];
                       }
146
147
```

Extracto de código B.4: Función Fuzzy\_Init.

```
// standard deviation: sigma, and mean: m,
float gaussmf(float x, float sigma, float media){
    float y , value;
    value = -pow(x-media,2)/(2*pow(sigma,2));
    y = exp(value);
    return y;
}
```

Extracto de código B.5: Función gaussmf.

```
float trimf(float x, float a, float b, float c){
    float y;
    y = max(min((x-a)/(b-a),(c-x)/(c-b)),0);
    return y;
}
```

Extracto de código B.6: Función trimf.

```
float trapmf(float x, float a, float b, float c, float d) {
    float y;
    y = max(min((x-a)/(b-a), min(1,(d-x)/(d-c))),0);
    return y;
}
```

Extracto de código B.7: Función trapmf.

#### B.2.2. Evaluación del sistema de inferencia difuso

```
void eval_fuzzy(float *entradas, float *salidas){
    float paso = PASO;
    int n_entradas = num_MFin;
    int n_salidas = num_MFout;
    int n_rules = N_RULES;
    int index_in[n_entradas];
    float aux_var;
    float **out;
```



```
9
            float fuzzy_value;
10
            int selec_MFin[n_entradas], selec_MFout[n_salidas];
11
12
            // reservamos espacio de memoria para out
            out = (float **) calloc(n_salidas, sizeof(float *));
13
14
            for(int k = 0; k < n_salidas; ++k)</pre>
                     out[k] = (float * ) calloc(fuzzy.len_MFout[k], sizeof(float)
15
                        );
16
17
            //buscamos el indice correspondiente para cada variable de entrada;
18
            for (int i = 0; i < n_entradas;++i)</pre>
                     index_in[i] = find_index(*(entradas + i), fuzzy.error[0],
19
                        paso);
20
21
            for(int i = 0 ; i < n_rules; ++i ){</pre>
                     /* Las salidas son selecionadas de acuerdo a las reglas
22
                        difusas. Ejem: IF (e is NB) and (de is NB) THEN (kpp is
                         big ) and (kdp is small) and (Kpi is B)*/
23
                     Reglas_str2num(selec_MFin, selec_MFout, i);
24
                     //fusificacion
                     fuzzy_value = fuzz(n_entradas, selec_MFin, index_in);
25
26
                     for (int k = 0; k< n_salidas;++k){</pre>
27
                             for (int j = 0; j < fuzzy.len_MFout[k]; ++j) {</pre>
28
                                      // inferencia difusa de mandani (and =>
                                         min)
29
                                      aux_var = min(*(*(fuzzy.MFout[k]+
                                          selec_MFout[k])+ j),fuzzy_value);
                                      // agrupacion
30
                                      if (i == 0)
31
32
                                               (*(*(out +k)+j)) = aux_var;
                                      else
33
34
35
                                               *(*(out +k)+j) = max(*(*(out +k)+j)
                                                  ,aux_var);
                             }
36
                     }
37
38
            //Defuzzificacion
39
            for (int k = 0; k < n_salidas; ++k)
40
41
            *(salidas+k) = defuzz(fuzzy.fun_in_out[n_entradas + k], out[k],
                fuzzy.len_MFout[k]);
42
43
        //liberamos espacio de memoria de out
44
            for (int k = 0;k < n_salidas;++k)</pre>
45
                     free(out[k]);
46
            free(out);
47
   }
```

Extracto de código B.8: Función eval\_fuzzy.



## Extracto de código B.9: Función fuzz.

```
1
   //defuzzifiacion, metodo del centroide
   float defuzz(float *x, float *mf,int len){
2
3
             float out;
            float suma = 0;
4
5
            float Area = 0;
6
            for (int i = 0; i < len; ++i){</pre>
7
                     suma = suma + (*(x+i))*(*(mf+i));
8
                     Area = Area + (*(mf+i));
9
            }
10
            out = suma/Area;
11
            return out;
12
   }
```

### Extracto de código B.10: Función defuzz.

```
1
   // convierte la expresion de las reglas en forma string a valores numericos
2
   void Reglas_str2num(int *v1, int *v2, int i){
3
            int n = 0, cont1 = 0, cont2 = 0;
            while (fuzzy.reglas[i][n] != ','){
4
                    if (fuzzy.reglas[i][n] != ' '){
5
6
                             *(v1+cont1) = fuzzy.reglas[i][n] - '0'-1;
7
                             cont1++;
                    }
8
9
                    n++;
10
11
            while (fuzzy.reglas[i][n] != '\0'){
                    if (fuzzy.reglas[i][n] != ' ' && fuzzy.reglas[i][n] != ',')
12
13
                             *(v2+cont2) = fuzzy.reglas[i][n] - '0'-1;
14
                             cont2++;
                    }
15
16
            n++;
17
            }
18
   }
```

Extracto de código B.11: Función Reglas\_str2num.

```
1
  // encuentra la posicion de un elemento en un vector ordenado;
2
  int find_index(float x, float inicio, float paso){
3
           int index;
4
           index = (x-inicio)/paso + 0.5;
5
           if (index > n_max_e-1)
6
                    index = n_max_e-1;
7
           else if (index < 0)</pre>
8
                    index = 0;
9
           return index;
```



```
10 | }
```

Extracto de código B.12: Función find\_index.

#### B.2.3. Determinación de las ganancias mediante el algoritmo FGS-PID

```
1
   void FGS_Init(fgs_s *fgs, int select){
2
       pid_s pid;
       PID_Init(&pid, select);
3
       (*fgs).Kpmin =
                       0.533 * pid.Kp;
5
       (*fgs).Kpmax =
                          1 * pid.Kp;
       (*fgs).Kdmin = 1.067 * pid.Kd;
6
7
       (*fgs).Kdmax =
                         2 * pid.Kd;
8
       (*fgs).Kimin=
                         0.01 * pid.Ki;
9
       (*fgs).Kimax =
                         0.85 * pid.Ki;
       Fuzzy_Init();
10
11
```

Extracto de código B.13: Función FGS\_Init.

```
1
   void FGS_control(fgs_s *FGS,pid_s *pid){
2
       float delt_e = pid->e[0] - pid->e[1];
       float in[2], out[3];
3
       in[0] = pid->e[0] ; in[1] = delt_e;
4
5
       // ajuste del error y diferencia del error a valores en el rango de
           [-1,1]
       if (pid->r != 0)
6
7
8
            in[0] = in[0]/pid->r;
9
            in[1] = in[1]/pid->r;
10
       // evalucion del sistema difuso
11
12
       eval_fuzzy(in,out);
13
       float kpp = out[0], kdp = out[1], kip = out[2];
       // desnormalizacion de las ganancias
14
15
       out[0] = (FGS->Kpmax - FGS->Kpmin) * kpp + FGS->Kpmin;
       out[2] = (FGS->Kdmax - FGS->Kdmin) * kdp + FGS->Kdmin;
16
       out[1] = (FGS->Kimax - FGS->Kimin) * kip + FGS->Kimin;
17
       for (int i =0; i <3; ++i)
18
19
            pid->Gains[i]=out[i];
20
   }
```

Extracto de código B.14: Función FGS\_control.



#### **Controlador SA-PID**

#### C.1. MATLAB

#### C.1.1. Implementación del algoritmo de control SA-PID

```
Objetivo
 % ****** Parametros SA
     **********
3 iter = 50;
                 % Nnmero de iterationes
 subiter = 5;
                 % Numero of Sub-iterationes
                 % Temperatura inicial
 T0 = 0.025;
 alpha = 0.99;
                  % Temp. Reduction Rate
8
 % ***************** Inicializacion ********************
 sol.Gain = [Kp Ki Kd];
sol.Cost = ObjectiveFunction(Gains);
BestSol = sol;
                               % mejor solucion inicial encontrada
BestCost = zeros(iter, 1);
                              % vector de los mejores valores de costo
13 T = T0;
                               % temperatura inicial
 for i = 1:iter
     for subit = 1:subiter
         % Creacion de una nueva solucion
16
         newsol.Gain = CreateNeighbor(sol.Gain,range_gains);
         newsol.Cost = ObjectiveFunction(newsol.Gain);
18
         if newsol.Cost <= sol.Cost % verificamos si la nueva solicion es</pre>
19
     mejor
             sol = newsol;
20
         else % si no es mejor solucion
21
            DELTA = (newsol.Cost-sol.Cost)/sol.Cost;
22
             P = \exp(-DELTA/T);
             if rand <= P
24
                sol = newsol;
25
             end
26
27
         end
         % actualiza la mejor solucion encontrada
28
         if sol.Cost <= BestSol.Cost</pre>
29
            BestSol = sol;
30
         end
31
33
     BestCost(i) = BestSol.Cost;
34
     T = alpha*T; % actualiza el valor de temperatura
 end
```

Extracto de código C.1: Algoritmo de control SA-PID en MATLAB.

# C.1.2. Determinación del costo de la función objetivo

```
function J = CostFunction(y,ref,select_costF,dt)
muestras = length(y);
yfinal = ref;
t = linspace(0,(muestras-1)*dt,muestras);
e = ref-y;
```



Extracto de código C.2: Función CostFunction.

#### C.1.3. Determinación de valores vecinos de ganancia

```
function new_gain = CreateNeighbor(gain,range_gains)
      Kpmin = range_gains(1);
3
      Kpmax = range_gains(2);
      Kdmin = range_gains(3);
      Kdmax = range_gains(4);
5
      Kimin = range_gains(5);
      Kimax = range_gains(6);
      new_gain = gain;
8
      pKp = 0.2;
9
      pKi = 0.5;
10
      pKd = 1-pKp-pKi;
11
      r = rand;
12
      c = cumsum([pKp pKi pKd]);
13
      variacion = find(r <= c, 1, 'first');</pre>
14
           switch variacion
15
               case 1
16
17
                   Kp = Kpmin + (Kpmax-Kpmin)*rand;
18
                   new_gain(1) = Kp;
19
                   Ki = Kimin + (Kimax-Kimin)*rand;
20
21
                   new_gain(2) = Ki;
               case 3
                   Kd = Kdmin + (Kdmax-Kdmin)*rand;
23
                   new_gain(3) = Kd;
24
           end
25
  end
```

Extracto de código C.3: Función CreateNeighbor.

# C.1.4. Implementación del controlador SA-PID para el control del sistema multitanque en Simulink

```
function [sys,x0,str,ts,simStateCompliance] = sfun_SA(t,x,u,flag,SA_vars)
switch flag,
% Initialization %
case 0,
   [sys,x0,str,ts,simStateCompliance]=mdlInitializeSizes;
% Derivatives %
case 1,
```



```
sys=mdlDerivatives(t,x,u);
    % Update %
10
    case 2,
      sys=mdlUpdate(t,x,u);
11
    % Outputs %
12
    case 3.
13
      sys=mdlOutputs(t,x,u,SA_vars);
14
    % GetTimeOfNextVarHit %
15
16
    case 4,
      sys=mdlGetTimeOfNextVarHit(t,x,u);
17
    % Terminate %
18
    case 9,
19
      sys=mdlTerminate(t,x,u);
20
21
    % Unexpected flags %
    otherwise
22
      DAStudio.error('Simulink:blocks:unhandledFlag', num2str(flag));
23
25 end
26
27 function [sys,x0,str,ts,simStateCompliance]=mdlInitializeSizes
 % defined by the S-function parameters.
 sizes = simsizes;
29
30
sizes.NumContStates = 0;
32 sizes.NumDiscStates = 0;
33 sizes.NumOutputs
                       = 4;
34 sizes.NumInputs
                       = 9;
sizes.DirFeedthrough = 1;
                              % at least one sample time is needed
 sizes.NumSampleTimes = 1;
37
38 sys = simsizes(sizes);
40 % initialize the initial conditions
41 \times 0 = [];
42 % str is always an empty matrix
 str = [];
  % initialize the array of sample times
  ts = [0 \ 0];
45
 % Specify the block simStateCompliance. The allowed values are:
46
       'UnknownSimState', < The default setting; warn and assume
     DefaultSimState
       'DefaultSimState', < Same sim state as a built-in block
48 %
       'HasNoSimState', < No sim state
49
       'DisallowSimState' < Error out when saving or restoring the model sim
     state
simStateCompliance = 'UnknownSimState';
52 function sys=mdlDerivatives(t,x,u)
53 | sys = [];
54 function sys=mdlUpdate(t,x,u)
55 sys = [];
56 function sys=mdlOutputs(t,x,u,SA_vars)
     alpha = SA_vars(1); % constante alpha
58
     Temp = SA_vars(2); % temperatura
59
    select = SA_vars(3); % selection de la funcion de costo
        Ts = SA_vars(4); % tiempo de muestreo
 r_gains = SA_vars(5:end); % rango de ganancias (Kpmin, Kpmax...)
       e = u(1); % error
```



```
ref = u(2); % referencia
    enable = u(3); % habilitar algoritmo
       iter = u(4); % numero de iteracion
66
  subiter = u(5); % numero de subiteracion
  sol.Cost = u(6); % costo de la solucion
  sol.Gain = u(7:9); % ganancias de la solucion
          y = ref - e; % respuesta del sistema
70
71
  if enable == 1 && length(SA(select).y) > 1 % si SA-PID esta habilitado
72
       Temp = Temp * (alpha)^(iter-1);
                                                % actualiza la temperatura
       if subiter == 0 && iter == 0
                                                % si es la primera vez que usa
74
      el algoritmo
           % calcula el costo inicial
76
           sol.Cost = CostFunction(SA(select).y,ref,Ts,SA(select).selectCostF)
           % define las ganacia inicial
77
           sol.Gain = [SA(select).Kp SA(select).Ki SA(select).Kd];
           SA(select).BestSol = sol; % define la mejor solicion incial
79
           newsol.Gain = CreateNeighbor(sol.Gain,r_gains); % determina
80
      soluciones vecinas
           SA(select).Kp = newsol.Gain(1); % nueva ganancia Kp
           SA(select).Ki = newsol.Gain(2); % nueva ganancia Ki
82
           SA(select).Kd = newsol.Gain(3); % nueva ganancia Kd
83
           SA(select).y = []; % vector de muestras
84
           SA(select).subiter = 1; % primera sub-iteracion
           SA(select).iter = 1;  % primera iteracion
86
           SA(select).sol = sol; % guarda la solucion
87
           % salida del funcion sfun_SA
88
           sys = [sol.Cost newsol.Gain(1) newsol.Gain(2) newsol.Gain(3) ];
       else
90
           if iter <= SA(select).iter_max % si no supera el numero de</pre>
91
      iteraciones max
92
               % determina el nuevo costo
               newsol.Cost = CostFunction(SA(select).y,ref,Ts,SA(select).
93
      selectCostF);
                % define las nuevas ganancias
               newsol.Gain = [SA(select).Kp SA(select).Ki SA(select).Kd];
95
               if newsol.Cost <= sol.Cost % verificamos si la nueva solucion</pre>
96
      es mejor
                   sol = newsol; % si lo es actualizamos
97
               else % si no es mejor solucion
98
                   % la solucion se acepta con probablidad P
99
                   DELTA = (newsol.Cost-sol.Cost)/sol.Cost;
100
                   P = exp(-DELTA/Temp);
101
                   if rand <= P
102
                       sol = newsol;
103
                   end
104
               end
               % actualizamos la mejor solucion encontrada
106
               if sol.Cost <= SA(select).BestSol.Cost</pre>
107
                   SA(select).BestSol = sol;
108
109
               SA(select).y = []; % reinicia el vector de muestras
110
               % determina soluciones vecinas
111
               newsol.Gain = CreateNeighbor(sol.Gain,r_gains);
112
113
               % guarda la nueva soluciones
               SA(select).Kp = newsol.Gain(1);
114
               SA(select).Ki = newsol.Gain(2);
```



```
116
               SA(select).Kd = newsol.Gain(3);
               SA(select).sol = sol;
117
               % salida de la funcion sfun_SA
118
               sys = [SA(select).sol.Cost newsol.Gain(1) newsol.Gain(2) newsol
119
      .Gain(3) ];
               % si termina el algoritmo la salida de la funcion sfun_SA es
120
               if iter == SA(select).iter_max
                   % la mejor solucion
                   sys = [SA(select).BestSol.Cost SA(select).BestSol.Gain(1)
123
                           SA(select).BestSol.Gain(2) SA(select).BestSol.Gain
124
      (3)];
125
               end
           end
126
      end
127
  else
128
       % si no se habilita el algoritmo
      SA(select).subiter = subiter;
                                        % guarda el numero de sub-iteracion
130
       SA(select).iter = iter;
                                        % guarda el numero de iteracion
131
       SA(select).y = [SA(select).y y ];  % guarda la muestra
132
       sys = [SA(select).sol.Cost SA(select).Kp SA(select).Ki SA(select).Kd ];
133
       % salida de la funcion sfun_SA
134
  end
       % si termina el algoritmo la salida de la funcion sfun_SA es
135
  if iter > SA(select).iter_max
136
       % la mejor solucion
137
       sys = [SA(select).BestSol.Cost SA(select).BestSol.Gain(1) SA(select).
138
      BestSol.Gain(2) SA(select).BestSol.Gain(3)];
139
  end
140
  function sys=mdlGetTimeOfNextVarHit(t,x,u)
141
  sampleTime = 1;  % Example, set the next hit to be one second later.
  sys = t + sampleTime;
  function sys=mdlTerminate(t,x,u)
145
  sys = [];
```

Extracto de código C.4: Función sfun\_SA.

#### C.2. STM32CubeIDE

#### C.2.1. Inicialización del algoritmo SA-PID

```
1
    void SA_Init(sa_s *SA, int select){
2
              SA-> iniciar = 0;
 3
              SA \rightarrow enable = 0;
                                                // habilita el algoritmo SA
4
5
              SA \rightarrow iter[0] = 0;
                                                     // Inicio
                                                     // Fin
              SA \rightarrow iter[1] = 3;
 6
 7
                                                     // Inicio
8
              SA->subiter[0] = 0;
9
              SA \rightarrow subiter[1] = 3;
                                                     // Fin
10
                                                // Inicio
11
              SA->muestra_i = 0;
12
              SA->muestras = 70;
                                                     // Fin
```



```
13
           SA->selectCostF = 2; // Selecion de la funcion objetivo
14
           SA -> Temp = 0.025;
                                        // Temperatura Inicial
           SA -> alpha = 0.99;
15
16
           SA->y = (float *)malloc((SA->muestras+1)*sizeof(float));
           SA->BestCost = (float *)malloc((SA->iter[1])*sizeof(float));
17
18
19
           pid_s pid;
20
           PID_Init(&pid, select);
21
           SA->rangeGains[0] = 0.533 * pid.Kp; // Kp minimo
22
           SA->rangeGains[1] =
                                1 * pid.Kp;
                                                     // Kp maximo
           SA->rangeGains[2] = 1.067 * pid.Kd;
                                                     // Kd minimo
23
           SA->rangeGains[3] =
                                    2 * pid.Kd; // Kd maximo
24
           SA->rangeGains[4] = 0.01 * pid.Ki;
                                                 // Ki minimo
25
26
           SA->rangeGains[5] = 0.85 * pid.Ki;
                                                 // Kd maximo
27
           srand(time(NULL));
                                                  // establece la semilla
                                                                           para
               generar numeros aleatorios.
28
   }
```

Extracto de código C.5: Función SA\_Init.

#### C.2.2. Determinación de las ganancias mediante el algoritmo SA-PID

```
1
   void Simulated_Annealing(sa_s *SA,pid_s *pid,float dt)
2
   {
3
       if (SA->iniciar == 1) // se inicializa en el primer cambio de
           referencia
4
       {
5
            if (SA->enable == 1) // se habilita en cada cambio de referencia
6
7
                solSA_s newsol;
                // se determina la solucion inicial
8
                if (SA->iter[0] == 0 && SA->subiter[0] == 0)
9
10
11
                    for (int i = 0; i < 3; ++i){
12
                    SA->sol.Gain[i] = (*pid).Gains[i];}
13
                    SA->sol.Cost = calcule_cost((SA->muestras)-1, SA->y, SA->r,
                         dt, SA->selectCostF);
14
                    SA->BestSol = SA->sol;
                    // crea nuevos valores de Kp , Kd o Ki
15
16
                    CreateNeighbor(pid->Gains,SA->rangeGains);
17
                    (SA->iter[0])++;
                                                               // primera
                        iteracion
                    (SA->subiter[0])++;
                                                               // primera
18
                        subiteracion
                }
19
                else
20
21
22
                    if (SA->iter[0] <= SA->iter[1]) // realiza si aun no se
                        cumple con numero de iteraciones
23
                    {
24
                        if (SA->subiter[0]<=SA->subiter[1]) // realiza si aun
                            no se cumple con numero de sub-iteraciones
25
                        {
26
                             for (int i =0; i <3; ++i) {
                             newsol.Gain[i] = (*pid).Gains[i];} //nuevos valores
27
                                 de ganancias
```



```
28
                             newsol.Cost = calcule_cost((SA->muestras)-1, SA->y,
                                 SA->r, dt, SA->selectCostF); //evaluacion de la
                                 funcion objetivo
29
                             // la nueva solucion pasa ha ser la solucion actual
                                 si tiene un costo menor
30
                             if (newsol.Cost <=SA->sol.Cost){SA->sol = newsol;}
31
32
                             { // caso contrario la nueva solucion puede ser
                                aceptada o no con probabilidad P
33
                                 float DELTA = (newsol.Cost-SA->sol.Cost)/SA->
                                     sol.Cost;
                                 float P = exp(-DELTA/SA->Temp);
34
                                 if (randf() <= P){SA->sol = newsol;}
35
36
                             }
37
                             // actualiza la mejor solucion encontrada
                             if (SA->sol.Cost <= SA->BestSol.Cost)
38
39
                             {
                                 SA->BestSol = SA->sol;
40
41
                             CreateNeighbor(pid->Gains,SA->rangeGains);// crea
42
                                sol. vecinas
43
                        }
44
                        int cont = 0;
45
                        // actualiza el valor de las sub-iteracones
46
                         if (SA->subiter[0] == SA->subiter[1]){(SA->subiter[0])
                            =1; cont = 1;
                        else {(SA->subiter[0])++;}
47
48
                        if (cont == 1)
49
                             // actualiza el valor de temperatura
                             SA->Temp = SA->alpha*SA->Temp;
50
51
                             // guarda la mejor solucion
                             SA->BestCost[(SA->iter[0])-1] = SA->BestSol.Cost;
52
53
                             // actualiza el valor de las iteraciones
54
                             (SA->iter[0])++;
                             cont = 0;
55
                        }
56
57
                    else // al finalizar el numero de iteraciones
58
59
                         // se fija las ganancias del controlador PID con la
                        mejor solucion
                        for(int i = 0; i < 3; i++)
60
61
                             pid->Gains[i] = SA->BestSol.Gain[i];
                    }
62
63
                SA->muestra_i = 0; SA->enable = 0;
64
65
            }
            else // se toma determinadas muestras
66
67
            {
                if (SA->muestra_i < SA->muestras-1) {SA->muestra_i ++};
68
69
            }
70
       }
71
   }
```

Extracto de código C.6: Función Simulated\_Annealing.



### C.2.3. Evaluación de la función objetivo

```
1
   float calcule_cost(int muestras, float y[muestras], float ref, float dt,
               int select){
2
            float J,t[muestras] , e[muestras],OS,tr,tss,ISE ,ITSE , IAE, ITAE,
               y_aux[muestras];
3
            float yinit = y[0],yfinal = ref;
            linspace(t, 0,(muestras-1)*dt+0, muestras);
4
5
            prod_vector_escalar(muestras, y, -1, y_aux);
6
            sum_vector_escalar(muestras, y_aux, ref, e);
7
                    switch (select) {
8
                             case 1:
9
                                     IAE = IAE_calc(muestras, e, dt);
10
                                     OS = Overshoot(muestras, y, yinit, yfinal);
11
                                     tss = SettlingTime(muestras, t, y, yinit,
                                         yfinal, 0.05);
12
                                     J = 0.10*IAE + 0.60*OS + 0.20*tss;
13
                                     break;
                             case 2:
14
15
                                     IAE = IAE_calc(muestras, e, t, dt);
16
                                     tss = SettlingTime(muestras, t, y, yinit,
                                         yfinal, 0.05);
17
                                     OS = Overshoot(muestras, y, yinit, yfinal);
                                     J = 0.05*IAE + 0.05*tss + 0.90*OS;
18
19
                                     break:
                             default:
20
21
                                     ISE = ISE_calc(muestras, e, dt);
22
                                     ITSE = ITSE_calc(muestras, e, t, dt);
                                     IAE = IAE_calc(muestras, e, dt);
23
24
                                     ITAE = ITAE_calc(muestras, e,t, dt);
25
                                     OS = Overshoot(muestras, y, yinit, yfinal);
26
                                     tss = SettlingTime(muestras, t, y, yinit,
                                         yfinal, 0.05);
                                     tr = RiseTime(muestras, t, y, yinit, yfinal
27
                                     J = tr + tss + OS + ITSE + IAE + IAE +
28
                                         ITAE;
29
                                     break;
30
                    if (J != J){
31
32
                             J = INFINITY;
33
                    }
            return J;
34
35
```

Extracto de código C.7: Función calcule\_cost.

```
float SettlingTime(int muestras,float *t, float *y,float yinit, float
1
       yfinal, float porcentaje) {
2
            float tss = NAN, yaux = yfinal;
3
            float ajuste=0;
4
5
            int i = muestras-1;
6
7
            while (fabsf((y[i]-yfinal)/(yfinal-yinit)) <= porcentaje && i >= 0) {
8
                    i--;
9
10
            //ajuste lineal para un valor mas aproximado del tiempo;
```



```
11
            if (i != muestras-1)
12
13
14
            if ((y[i]-yfinal)/(yfinal-yinit)>0)
15
                     yaux = yfinal*(1+porcentaje);
16
            else if ((y[i]-yfinal)/(yfinal-yinit)<0)</pre>
17
                     yaux = yfinal*(1-porcentaje);
18
19
            ajuste = (t[i+1]-t[i])/(y[i+1]-y[i])*(yaux-y[i]);
20
21
            tss = t[i]+ajuste;
22
            }
23
24
            return tss;
25
   }
```

Extracto de código C.8: Función SettlingTime.

```
1
   float Overshoot(int muestras, float *y, float yinit, float yfinal){
2
            float OS = INFINITY;
3
4
            float max_num = 0;
5
            for (int i=0 ; i<muestras;++i)</pre>
6
7
                     if ((y[i]-yinit)/(yfinal-yinit)-1 > max_num)
8
                              max_num = ((y[i]-yinit)/(yfinal-yinit)-1);
9
            }
            if (max_num>0)
10
11
                     OS = max_num*100;
12
            return OS;
13
   }
```

Extracto de código C.9: Función Overshoot.

```
float IAE_calc(int muestras, float e[muestras], float dt)
1
2
   {
3
             float IAE = 0;
            for (int i=1;i<muestras;++i)</pre>
4
5
            {
6
                 IAE += ((fabsf(e[i])+fabsf(e[i-1]))/2)*dt;
7
            }
8
9
            return IAE;
10
```

Extracto de código C.10: Función IAE\_calc.

```
float ITAE_calc(int muestras, float e[muestras], float t[muestras], float dt)
1
2
   {
3
            float ITAE = 0;
4
5
            for (int i=1;i<muestras;++i){</pre>
                              ITAE += ((t[i]*fabsf(e[i])+t[i-1]*fabsf(e[i-1]))/2)
6
                                  *dt;
7
            }
8
9
            return ITAE;
10
   }
```



#### Extracto de código C.11: Función ITAE\_calc.

Extracto de código C.12: Función ISE\_calc.

```
float ITSE_calc(int muestras,float e[muestras],float t[muestras], float dt)
1
2
   {
3
            float ITSE = 0;
4
            for (int i=1;i<muestras;++i)</pre>
5
            ITSE += ((t[i]*e[i]*e[i]+t[i-1]*e[i-1]*e[i-1])/2)*dt;
6
7
8
9
            return ITSE;
10
```

Extracto de código C.13: Función ITSE\_calc.

```
1
   float RiseTime(int muestras, float *t, float *y, float yinit, float yfinal){
            float tr = 0;
2
3
            int i1 = 0, i2 = 0;
            int i = 0;
4
5
6
            while((y[i]-yinit)/(yfinal-yinit) <= 0.1 && i<muestras){</pre>
 7
8
            }
            i1 = i;
9
10
            while((y[i]-yinit)/(yfinal-yinit) <= 0.9 && i<muestras){</pre>
11
12
            i2 = i;
13
14
            if ((i1 !=0 || i1 != muestras )&& (i2!=0 ||i2!=muestras) )
15
                     tr = t[i2]-t[i1];
16
17
18
            return tr;
19
```

Extracto de código C.14: Función RiseTime.

# C.2.4. Determinación de valores vecinos de ganancia



```
5
            float Kimin = range_gains[4],
                                                             Kimax = range_gains[5];
6
7
            float pKp = 0.2, pKi = 0.5, pKd = 1-pKp-pKi;
8
9
            float r = randf();
10
            int variacion = 0;
11
            if (r <=pKp)</pre>
12
                     variacion = 1;
13
            if (r>pKp && r<=pKp+pKi)</pre>
14
                     variacion = 2;
15
            if (r>pKp+pKi && r<=pKp+pKi+pKd)</pre>
16
                     variacion = 3;
17
            switch (variacion) {
18
19
                     case 1:
                 Gains[0] = Kpmin + (Kpmax-Kpmin)*randf();
20
21
                              break;
22
                     case 2:
23
                              Gains[1] = Kimin + (Kimax-Kimin)*randf();
24
                              break;
                     case 3:
25
                              Gains[2] = Kdmin + (Kdmax-Kdmin)*randf();
26
27
                              break;
                     default:
28
29
                              break;
30
            }
31
   }
32
```

Extracto de código C.15: Función CreateNeighbor.



#### Controlador A\*-PID

#### D.1. MATLAB

#### D.1.1. Determinación de las ganancias mediante el algoritmo A\*-PID

```
function [Kp, Ki, Kd] = Aestrella(space, X1, Y1, Z1, X2, Y2, Z2, ID,
     Kp_values,Kd_values,Ki_values,funtion_H)
      [dim1,dim2,dim3] = size(space);
                                             % espacio de busqueda
      F = nan*ones(dim1, dim2, dim3);
                                             % F = G + H
      G = zeros(dim1, dim2, dim3);
                                             % Costo
      H = nan*ones(dim1, dim2, dim3);
                                              % Heuristica
      y_cifras = 10^length(num2str(dim1));
      z_cifras = 10^(length(num2str(dim1)) + length(num2str(dim2)));
      padre= zeros(dim1, dim2, dim3);
                                                    % nodos padres
8
9
      Lista_a = ID(X1,Y1,Z1);
                                                    % lista abierta
      Lista_aF = nan*ones(dim1*dim2*dim3,1);
                                                    % lista F (costos totales)
      Lista_aF(1) = ID(X1,Y1,Z1);
11
      Lista_c = [];
                                             % lista cerrada
12
                                             % bandera de salida
      fin = 0;
13
      G_X1 = X1; G_Y1 = Y1; G_Z1 = Z1;
                                            % guarda el valor del punto
     inicial
      while fin == 0
                       % mientras no encuntre el punto final
15
          for z = Z1-1:Z1+1
              for y = Y1-1 : Y1+1 \% busca en los pixeles vecinos el valor F
17
     con menor costo
                  for x = X1-1 : X1+1
                       if x \le dim1 \& y \le dim2 \& z \le dim3 \& x >= 1 \& y
19
                           if space(x,y,z) == 0 && isempty(find(Lista_c == ID(
20
     x,y,z), 1)) == 1
                               pos_a = find(Lista_a == ID(x,y,z),1);
21
                               if isempty(pos_a) == 1 % si se tiene nuevos
22
     vecinos
                                   % calculaa el costo G y la heuristica H
23
                                   Gains = [Kp_values(x) Ki_values(z)
     Kd_values(y)];
                                   H(x,y,z) = funtion_H(Gains);
25
                                   G(x,y,z) = G(X1,Y1,Z1) + sqrt((x-X1)^2+(y-Y1)
26
     )^2+(z-Z1)^2;
                                   F(x,y,z) = G(x,y,z) + H(x,y,z);
27
                                   % nodo de donde provino
28
                                   padre(x,y,z) = ID(X1,Y1,Z1);
29
                                   % se agrega a la lista de pixel de vecinos
30
     conocidos
31
                                   Lista_a = cat(1, Lista_a, ID(x,y,z));
32
                                   Lista_aF(length(Lista_a)) = F(x,y,z);
                               else
33
                                 G_a = G(X1,Y1,Z1) + sqrt((x-X1)^2+(y-Y1)^2)+(z
34
     -Z1)^2;
                                 if G_a < G(x,y,z)
35
36
                                    G(x,y,z) = G_a;
                                    padre(x,y,z) = ID(X1,Y1,Z1); % si el
37
     gasto es menor
                                    F(x,y,z) = G(x,y,z) + H(x,y,z); % coloca
     su nuevo padre
                                    Lista_aF(pos_a) = F(x,y,z); % y costo
39
```



```
40
                                  end
                                end
                            end
42
                       end
43
                   end
44
               end
45
          end
46
           ID_XYZ = find(Lista_aF == min(Lista_aF),1);
                                                            % busca su
47
      indentificador
          if isempty(ID_XYZ) ~= 1
                                                             % si se encontro la
48
     posicion del valor minimo
               ZYX = Lista_a(ID_XYZ);
                                                             % determina las
49
      cordenadas
50
               Z1 = fix(ZYX / z\_cifras);
               YX = ZYX - Z1 * z\_cifras;
51
               Y1 = fix(YX / y\_cifras);
52
               X1 = YX - Y1 * y\_cifras;
               % quita el elemento encontrado de la lista de vecinos
54
               % abiertos y lo coloca en los cerrados
55
               Lista_c = cat(1, Lista_c, ID(X1, Y1, Z1));
56
               Lista_a = [Lista_a(1:ID_XYZ-1,1); Lista_a(ID_XYZ+1:end,1)];
57
               Lista_aF = [Lista_aF(1:ID_XYZ-1,1); Lista_aF(ID_XYZ+1:end,1)];
58
          end
59
60
          % si llega al destino o si se ha analziado todos los valores de
     espacio de busqueda
           % termina el bucle
61
           if ((X1 == X2 && Y1 == Y2 && Z1 == Z2)||isempty(ID_XYZ) == 1)
62
               fin = 1;
63
               [x_min, yz_min] = find(H == min(H,[],'all'),1);
               y_min = (mod(yz_min-1, dim2)+1);
65
               z_{min} = fix((yz_{min}-1)/dim2)+1;
66
               Kp = Kp\_values(x\_min);
               Kd = Kd_values(y_min);
               Ki = Ki_values(z_min);
69
           end
70
71
      end
  end
```

Extracto de código D.1: Algoritmo de control A\*-PID en MATLAB

#### D.1.2. Generación de un identificador único a cada nodo

```
function ID = GenerateID(dim1,dim2,dim3)
      ID = zeros(dim1,dim2,dim3);% matriz de ceros
      x_cifras = 1;
3
      y_cifras = 10^length(num2str(dim1));
      z_cifras = 10^(length(num2str(dim1)) + length(num2str(dim2)));
          for i = 1:dim1
                                 % para cada fila de la matriz
              for j = 1:dim2
                                 % para cada columna de la matriz
8
9
                  for k = 1:dim3
                       % el numero de identifacion es una transfomacion linal
                       % de a fila i columna j y capa k
11
                          ID(i,j,k) = i*x\_cifras + j * y\_cifras + k * z\_cifras
12
```



```
14 end
15 end
16 end
```

Extracto de código D.2: Funcion GenerateID

## D.1.3. Implementación del controlador A\*-PID para el control del sistema multitanque en Simulink

```
function [sys,x0,str,ts,simStateCompliance] = sfun_Astar(t,x,u,flag,AS_vars
  switch flag,
    % Initialization %
      [sys,x0,str,ts,simStateCompliance]=mdlInitializeSizes;
    % Derivatives %
6
    case 1,
      sys=mdlDerivatives(t,x,u);
8
    % Update %
9
    case 2,
10
11
      sys=mdlUpdate(t,x,u);
    % Outputs %
12
    case 3,
13
      sys=mdlOutputs(t,x,u,AS_vars);
14
    % GetTimeOfNextVarHit %
15
    case 4,
16
      sys=mdlGetTimeOfNextVarHit(t,x,u);
17
18
    % Terminate %
    case 9,
19
     sys=mdlTerminate(t,x,u);
20
    % Unexpected flags %
21
    otherwise
22
      DAStudio.error('Simulink:blocks:unhandledFlag', num2str(flag));
24
25 end
  function [sys,x0,str,ts,simStateCompliance]=mdlInitializeSizes
28 % defined by the S-function parameters.
29 sizes = simsizes;
sizes.NumContStates = 0;
sizes.NumDiscStates = 0;
33 sizes.NumOutputs
 sizes.NumInputs
 sizes.DirFeedthrough = 1;
36 sizes.NumSampleTimes = 1; % at least one sample time is needed
38 sys = simsizes(sizes);
40 % initialize the initial conditions
41 \times 0 = [];
 % str is always an empty matrix
 str = [];
44 % initialize the array of sample times
45 | ts = [0 0];
```



```
46
  % Specify the block simStateCompliance. The allowed values are:
      'UnknownSimState', < The default setting; warn and assume
48
     DefaultSimState
 %
       'DefaultSimState', < Same sim state as a built-in block
49
       'HasNoSimState', < No sim state
50
       'DisallowSimState' < Error out when saving or restoring the model sim
51
     state
 simStateCompliance = 'UnknownSimState';
52
 function sys=mdlDerivatives(t,x,u)
54
sys = [];
57
  function sys=mdlUpdate(t,x,u)
  sys = [];
58
59
 function sys=mdlOutputs(t,x,u,AS_vars)
61
    select = AS_vars(1); % selection de la funcion H
        Ts = AS_vars(2); % tiempo de muestreo
63
         e = u(1);
                          % error
64
       ref = u(2);
                          % referencia
65
    enable = u(3);
                          % bandera habilita el algoritmo
66
      iter = u(4);
67
                          % numero de iteracion
         y = ref - e;
                         % respuesta del sistema
68
  if AS(select).fin == 0 % si el algoritmo aun no finaliza
69
      if enable == 1 && length(AS(select).y) > 1  % si esta habilitado
70
                                                  % define la dimension
          dim = size(AS(select).space);
71
          y_cifras = 10^length(num2str(dim(1)));  % j de columnas
72
          z_cifras = 10^(length(num2str(dim(1))) + length(num2str(dim(2))));
73
     % k capas
          salir = 0; % bandera de salida
74
75
          posActual = [AS(select).X1 AS(select).Y1 AS(select).Z1];
76
     posicion actual
              % si no es el nodo destino
              if ~( (AS(select).X1 == AS(select).X2 && AS(select).Y1 == AS(
78
     select).Y2 ...
                  && AS(select).Z1 == AS(select).Z2)|| AS(select).iter > AS(
79
     select).iter_max)
                  % es la primera vez que inicia el algoritmo
80
                  if (AS(select).cont == 0)
81
                      cont_next = 1; % siguiente numero de conteo
82
                      AS(select).pause = 1; % bandera de pausar
                                            % coordenana actual
                      coord = posActual;
84
                  else % si no lo es
85
                      % delimita las coordenadas para que esten dentro del
86
                      % espacio de busqueda
                      AS(select).cont = delimitar_coord(dim,posActual,AS(
88
     select).cont );
                      cont_next = delimitar_coord(dim, posActual, AS(select).
89
     cont +1);
                      subiter = contador(AS(select).cont);
90
                      coord = posActual + subiter -2 ;
91
92
                  end
93
                  % cambio de variable a (x,y,z)
                  x = coord(1); y = coord(2); z = coord(3);
94
                  if AS(select).space(x,y,z) == 0 \&\& ...
```



```
isempty(find(AS(select).ListaC == AS(select).ID(x,y,z),
       1)) == 1
                        pos_a = find(AS(select).ListaA == AS(select).ID(x,y,z)
97
      ,1);
                        if isempty(pos_a) == 1 % si tiene nuevos vecino
                            if AS(select).pause == 1
99
                                 % calculamos el costo G y la heuristica H
100
                                 AS(select).H(x,y,z) = CostFunction(AS(select).
101
      у,...
                                 ref,Ts,AS(select).selectH );
102
                                 AS(select).G(x,y,z) = AS(select).G(AS(select).
103
      X1,...
104
                                 AS(select).Y1,
                                 AS(select).Z1)+ sqrt((x-AS(select).X1)^2+...
105
                                 (y-AS(select).Y1)^2+(z-AS(select).Z1)^2);
106
                                 AS(select).F(x,y,z) = AS(select).G(x,y,z) + ...
107
                                 AS(select).H(x,y,z);
                                 % idicamos su predecesor
109
                                 AS(select).padre(x,y,z) = AS(select).ID(AS(
      select).X1,...
                                 AS(select).Y1,AS(select).Z1);
111
                                 % agreamos a la lista de pixel de vecinos
112
      conocidos
                                 AS(select).ListaA = cat(1,AS(select).ListaA,...
113
                                 AS(select).ID(x,y,z));
114
                                 AS(select).ListaAF =cat(1,AS(select).ListaAF
115
116
                                 AS(select).F(x,y,z));
                                 AS(select).pause = 0; % no detiene el algoritmo
117
                                 AS(select).y = []; % reinicia el vector de
118
      muestras
                            else
119
120
                                 AS(select).pause = 1; % detiene el algoritmo
                                 salir = 1; % acitva la bandera de salida
121
                            end
122
                        else
                            % si no actulizamos G si es menor
124
                            G = AS(select).G(AS(select).X1,AS(select).Y1,AS(
125
      select).Z1)+...
                            sqrt((x-AS(select).X1)^2+(y-AS(select).Y1)^2)+(z-AS(select).Y1)^2)
126
      (select).Z1)^2;
                            if G < AS(select).G(x,y,z) % si es mejor solucion
                                 AS(select).G(x,y,z) = G;\% guarda G
128
                                 % actualiza el predecesor, F y su costo
129
                                 AS(select).padre(x,y,z) = AS(select).ID(AS(
130
      select).X1,...
                                 AS(select).Y1,AS(select).Z1);
131
                                 AS(select).F(x,y,z) = AS(select).G(x,y,z) + ...
                                 AS(select).H(x,y,z);
133
                                 AS(select).ListaAF(pos_a) = AS(select).F(x,y,z)
134
                            end
135
                        end
136
                    end
137
                    if (((mod(AS(select).cont-1,27)>mod(cont_next-1,27)) && ...
138
139
                        AS(select).pause == 0) | |AS(select).cont == 0)
                        % buscamos su indentificador
140
```



```
141
                        ID_XYZ = find(AS(select).ListaAF == min(AS(select).
      ListaAF),1);
                            isempty(ID_XYZ) ~= 1% si se encontro la posicion
142
      del valor minimo
                             ZYX = AS(select).ListaA(ID_XYZ);% determinamos las
143
      coordenadas
                            AS(select).Z1 = fix(ZYX / z_cifras);
144
                            YX = ZYX - AS(select).Z1 * z_cifras;
145
                            AS(select).Y1 = fix(YX / y_cifras);
146
                            AS(select).X1 = YX - AS(select).Y1 * y_cifras;
147
                             % quitamos el elemento encontrado de la lista de
148
      vecinos
                             % abiertos y colocamos en los cerrados
149
                            AS(select).ListaC = cat(1,AS(select).ListaC,...
150
                            AS(select).ID(AS(select).X1,AS(select).Y1,AS(select
151
      ).Z1));
                            AS(select).ListaA = [AS(select).ListaA(1:ID_XYZ
152
      -1,1);...
                            AS(select).ListaA(ID_XYZ+1:end,1)];
                            AS(select).ListaAF = [AS(select).ListaAF(1:ID_XYZ)]
154
      -1,1);...
                            AS(select).ListaAF(ID_XYZ+1:end,1)];
                             if (length(AS(select).ListaC) == dim(1)*dim(2)*dim
156
      (3))
                                 AS(select).fin = 1;
157
                                 salir = 1;
158
                             end
159
                        end
160
161
                    end
                    % si la bandera de pause se activa no aumenta el contador
162
                    if (AS(select).pause == 0)
163
                       AS(select).cont = AS(select).cont+1;
165
               % si encuentra el destino termina.
166
               else
167
                    AS(select).fin = 1;
168
                    salir = 1;
169
               end
           end
171
           if AS(select).fin == 1 % Si finaliza el algoritmo
172
                % busca el min H determinado en la busqueda
173
               [x_min, yz_min] = find( AS(select).H == min(AS(select).H,[],'
174
      all'),1);
               y_min = (mod(yz_min-1, dim(2))+1);
175
               z_{min} = fix((yz_{min}-1)/dim(2))+1;
176
               % define las ganancias con mejor evaluacion
177
               AS(select).Kp = AS(select).Kp_values(x_min);
178
               AS(select).Kd = AS(select).Kd_values(y_min);
               AS(select).Ki = AS(select).Ki_values(z_min);
180
           else
181
               % si no finaliza las ganancias vecinas son de la coordenada
182
      actual
               AS(select).Kp = AS(select).Kp_values(x);
183
               AS(select).Kd = AS(select).Kd_values(y);
184
185
               AS(select).Ki = AS(select).Ki_values(z);
186
           end
           % salida de la funcoin sfun_Astar
187
           sys = [ AS(select).Kp AS(select).Ki AS(select).Kd ];
```



```
189
       else
            AS(select).iter = iter;
                                       % guarda el numero de iteracion
190
            AS(select).y = [AS(select).y y ]; % guarda una muestra
191
            % salida de la funcoin sfun_Astar
192
            sys = [ AS(select).Kp AS(select).Ki AS(select).Kd ];
       end
194
  else
195
       % salida de la funcion sfun_Astar
196
       sys = [ AS(select).Kp AS(select).Ki AS(select).Kd ];
197
198
  end
199
  % delimita el espacio de busqueda
200
201
     function iter = delimitar_coord(dim,posActual,iter)
       while true
202
         subiter = contador(iter);
203
         coord = posActual + subiter -2;
204
          for i = 1:3
              if (coord(i) <= 0 | | coord(i) > dim(i))
206
                   iter = iter + 3^{(i-1)};
207
              end
208
          end
209
         if ~(coord(1)<=0 ||coord(1)>dim(1) ||coord(2)<=0 ...</pre>
210
          || coord(2) > dim(2) || coord(3) <= 0 || coord(3) > dim(3) |
211
              break;
212
         end
213
       end
214
215
  % contador de 3 cifra (111, 112 ... 333,111)
217
   function subiter = contador(iter)
       base = 3; cifras = 3;
218
       cont = zeros(1, cifras);
219
       subiter = zeros(1,cifras);
       for i = 1:cifras
221
            cont(i) = mod((iter -1), base^i)+1;
222
            subiter(i) = fix((cont(i)-1)/(base^(i-1)))+1;
223
       end
224
225
   function sys=mdlGetTimeOfNextVarHit(t,x,u)
226
   sampleTime = 1;
227
                        % Example, set the next hit to be one second later.
  sys = t + sampleTime;
229
  function sys=mdlTerminate(t,x,u)
230
  sys = [];
231
```

Extracto de código D.3: Función sfun\_Astar.

#### D.2. STM32CubeIDE

#### D.2.1. Inicialización del algoritmo A\*-PID

```
void Astar_Init(Astar_s *Astar,int select){
    Astar->muestra_i = 0;  // contador de muestras

    Astar->muestras = 70;  // numero de muestras

Astar->iter[0] = 1;  // contador de iteraciones

Astar->iter[1] = 6;  // numero maximo de iteraciones
```



```
// bandera que habilita el algoritmo
6
           Astar-> enable = 0;
7
           Astar-> fin = 0;
                                     // bandera que finaliza el algoritmo
           Astar->pausar = 0;
8
                                     // bandera que pausa el algoritmo
9
           Astar-> lenC = 0;
                                     // longitud inicial de la lista de
               cerrados
10
           Astar -> lenA = 0;
                                     // longitud inicial de la lista de
               abiertos
11
           Astar -> cont = 0;
                                     // numero de valores analizados de Kp
12
           Astar -> dim_x = 3;
13
           Astar -> dim_y = 3;
                                    // numero de valores analizados de Kd
14
           Astar -> dim_z = 3;
                                    // numero de valores analizados de Ki
15
       // rango de valores que puede tocar cada una de las ganancias
16
17
           pid_s pid; PID_Init(&pid, select);
18
           Astar->Kpmin = 0.533 * pid.Kp; // valor minimo de Kp
                              1 * pid.Kp; // valor maximo de Kp
19
           Astar->Kpmax =
           Astar->Kdmin = 1.067 * pid.Kd; // valor minimo de Kd
20
                                2 * pid.Kd; // valor maximo de Kd
21
           Astar->Kdmax =
                             0.01 * pid.Ki; // valor minimo de Ki
22
           Astar->Kimin=
23
                             0.85 * pid.Ki; // valor maximo de Ki
           Astar->Kimax =
24
       // reservamos espacio de memoria dinamica
25
           reserve_memory_Astar(Astar);
           // funcion generadora de identificador de los nodos
26
27
            generate_ID(Astar->dim_x, Astar->dim_y, Astar->dim_z, Astar->ID,
               Astar->cifras);
28
           zerosR3(Astar->dim_x, Astar->dim_y, Astar->dim_z, Astar->space);
29
           zerosR3(Astar->dim_x, Astar->dim_y, Astar->dim_z, Astar->padre);
           zerosR3f(Astar->dim_x, Astar->dim_y, Astar->dim_z,
30
                                                                 Astar->G);
31
           onesR3f(Astar->dim_x, Astar->dim_y, Astar->dim_z, Astar->F);
32
           prod_escalarMatrizR3(Astar->dim_x, Astar->dim_y, Astar->dim_z,
               Astar->F, NAN);
33
            prod_escalarMatrizR3(Astar->dim_x, Astar->dim_y, Astar->dim_z,
               Astar->H, NAN);
           linspace(Astar->Kp_values, Astar->Kpmin, Astar->Kpmax,Astar->dim_x)
34
            linspace(Astar->Kd_values, Astar->Kdmin, Astar->Kdmax,Astar->dim_y)
35
            linspace(Astar->Ki_values, Astar->Kimin, Astar->Kimax, Astar->dim_z)
36
               ;
37
38
39
           // nodo de inicio, se encuentra en el vector el indice mas cercano
               al valor dado
40
           Astar->X1 = find(pid.Gains[0], Astar->dim_x, Astar->Kp_values, -1);
41
           Astar->Y1 = find(pid.Gains[2], Astar->dim_y, Astar->Kd_values, -1);
42
           Astar->Z1 = find(pid.Gains[1], Astar->dim_z, Astar->Ki_values, -1);
       // nodo destino, se asigna un nodo que no es encuentra en el espacio de
43
            busqueda
44
           Astar -> X2 = -1;
45
           Astar->Y2 = -1;
46
           Astar->Z2 = -1;
47
```

Extracto de código D.4: Función Astar\_Init.

```
void reserve_memory_Astar(Astar_s *Astar){
//Asignacion dinamica de memoria para F
Astar->F = (float***) malloc(Astar->dim_x*sizeof(float**));
```



```
4
            for (int i = 0 ; i<Astar->dim_x;++i){
                    Astar->F[i] = (float**) malloc(Astar->dim_y*sizeof(float*))
 5
 6
                    for(int j = 0 ; j<Astar->dim_y;++j){
 7
                             Astar->F[i][j] = (float*) malloc(Astar->dim_z*
                                 sizeof(float));
8
                    }
9
            }
        //Asignacion dinamica de memoria para H
10
11
            Astar->H =(float***) malloc(Astar->dim_x*sizeof(float**));
12
            for (int i = 0 ; i < Astar -> dim_x; ++ i) {
                    Astar->H[i] = (float**) malloc(Astar->dim_y*sizeof(float*))
13
14
                    for(int j = 0 ; j<Astar->dim_y;++j){
15
                             Astar->H[i][j] = (float*) malloc(Astar->dim_z*
                                 sizeof(float));
16
                    }
17
            }
18
        //Asignacion dinamica de memoria para G
19
            Astar->G =(float***) malloc(Astar->dim_x*sizeof(float**));
20
            for (int i = 0 ; i<Astar->dim_x;++i){
                    Astar->G[i] = (float**) malloc(Astar->dim_y*sizeof(float*))
21
22
                    for(int j = 0 ; j<Astar->dim_y;++j){
23
                             Astar->G[i][j] = (float*) malloc(Astar->dim_z*
                                 sizeof(float));
24
                    }
25
            }
26
        //Asignacion dinamica de memoria para el espacio de busqueda
27
            Astar -> space = (int ***) malloc(Astar -> dim_x * size of (int **));
                    for (int i = 0 ; i<Astar->dim_x;++i){
28
29
                             Astar->space[i] = (int**) malloc(Astar->dim_y*
                                 sizeof(int*));
30
                             for(int j = 0 ; j<Astar->dim_y;++j){
31
                                     Astar->space[i][j] = (int*) malloc(Astar->
                                         dim_z*sizeof(int));
                             }
32
33
        //Asignacion dinamica de memoria para matriz de padres
34
35
            Astar->padre=(int***) malloc(Astar->dim_x*sizeof(int**));
                    for (int i = 0 ; i < Astar -> dim_x; ++ i) {
36
37
                             Astar->padre[i] = (int**) malloc(Astar->dim_y*
                                 sizeof(int*));
38
                             for(int j = 0 ; j<Astar->dim_y;++j){
39
                                     Astar->padre[i][j] = (int*) malloc(Astar->
                                         dim_z*sizeof(int));
                             }
40
41
        //Asignacion dinamica de memoria para matriz ID
42
            Astar->ID=(int***) malloc(Astar->dim_x*sizeof(int**));
43
                    for (int i = 0 ; i < Astar -> dim_x; ++i){
44
45
                             Astar->ID[i] = (int**) malloc(Astar->dim_y*sizeof(
                                 int*));
46
                             for(int j = 0 ; j<Astar->dim_y;++j){
                                     Astar->ID[i][j] = (int*) malloc(Astar->
47
                                         dim_z*sizeof(int));
48
                             }
                    }
49
```



```
//Asignacion dinamica de memoria para los valores de Kp, Kd y Ki
50
51
           Astar->Kp_values = (float *) malloc(Astar->dim_x*sizeof(float));
           Astar->Kd_values = (float *) malloc(Astar->dim_y*sizeof(float));
52
53
           Astar -> Ki_values = (float *) malloc(Astar -> dim_z * size of (float));
       //Asignacion dinamica de memoria para listas de abiertos, cerrados y
54
           costos de abiertos
55
           int max_valores =
                                    (Astar->iter[1]<(Astar->dim_x*Astar->dim_y*
               Astar->dim_z)?Astar->iter[1]:(Astar->dim_x*Astar->dim_y*Astar->
               dim_z));
56
           Astar->ListaA = (int *) malloc(max_valores*sizeof(int));
57
           Astar->ListaC = (int *) malloc(max_valores*sizeof(int));
           Astar->ListaAF = (float *) malloc(max_valores*sizeof(float));
58
       //Asignacion dinamica de memoria la senal de salida "y"
59
60
           Astar->y= (float *)malloc((Astar->muestras+1)*sizeof(float));
61
   }
```

Extracto de código D.5: Función reserve\_memory\_Astar.

#### D.2.2. Generación de un identificador único a cada nodo

```
1
   void generate_ID(int filas,int columnas,int capas, int ***ID,int *cifras){
 2
             int x_cifras = 1,y_cifras, z_cifras;
 3
            char text1[10], text2[10];
 4
 5
 6
             sprintf(text1, "%d", filas-1);
 7
            y_{cifras} = (pow(10, strlen(text1)) + 0.000001);
8
9
             sprintf(text2, "%d", columnas -1);
10
            z_{cifras} = (pow(10, strlen(text1) + strlen(text2)) + 0.000001);
11
            cifras[0] = x_cifras;
12
            cifras[1] = y_cifras;
13
14
            cifras[2] = z_cifras;
            for (int k = 0; k < capas; ++k){
15
16
                      for (int i = 0;i<filas;++i){</pre>
17
                               for (int j = 0; j < columnas; ++j){}
18
                                       ID[i][j][k] = i*x\_cifras+j*y\_cifras+k*
                                           z_cifras;
                               }
19
                     }
20
21
            }
22
   }
```

Extracto de código D.6: Función generate\_ID.

#### D.2.3. Determinación de las ganancias mediante el algoritmo A\*-PID



```
7
                int *coord[] = {&x,&y,&z}; // vector de la coordenada actual
8
                // dimension del espacio de busqueda
                int dim[] ={Astar->dim_x, Astar->dim_y, Astar->dim_z};
9
10
                int posActual[3]; // definicion del nodo de inicio
                                   // sub-iterciones para la expacion de nodos
                int subiter[3];
11
                                   // bandera de salida
12
                int salir = 0;
13
                // variables auxiliares
14
                int lenAF,pos,cont_next, find_indexC, find_indexA,ID_XYZ,ZYX,
                    YX ;
15
                float G;
16
                do{ // establece el nuevo nodo de inicio
                     posActual[0] = Astar->X1;posActual[1] = Astar->Y1;posActual
17
                        [2] = Astar -> Z1;
18
                     // si no es el nodo destino hacer
19
                     if (!((Astar->X1 == Astar->X2 && Astar->Y1 == Astar->Y2 &&
                        Astar->Z1 == Astar->Z2)|| Astar->iter[0] > Astar->iter
                        [1]))
20
                    {
21
                         // si es la primera vez que se activa el algoritmo
22
                         if (Astar->cont == 0)
                             // nodo actual es igual al nodo de inicio
23
24
                             for (int i = 0;i<3;++i){(*coord[i]) = (posActual[i]);</pre>
                                 ]);}
25
                             cont_next = 1;
                                                  // actualiza el contador
26
                             Astar->pausar = 1; // se detiene
27
                         }
                         else
28
29
                         {// Delimita las coordenadas que se encuentren fuera
                             del rango 0 < (x,y,z) < \dim(x,y,z)
30
                             Astar->cont = delimitar_coordenadas(dim, posActual,
                                  Astar->cont );
31
                             cont_next = delimitar_coordenadas(dim, posActual,
                                  Astar -> cont +1);
                             //Determina la coordenada (x,y,z) actual
32
33
                             contador(Astar->cont, subiter);
34
                             for (int i = 0; i < 3; ++i) \{(*coord[i]) = (posActual[i]) \}
                                 ]) + subiter[i]-2;}
35
                         }
36
                         // busca el nodo esta en la lista de cerrados
37
                         find_indexC=find_int(Astar->ID[x][y][z], Astar->lenC,
                            Astar->ListaC, 0);
38
                         // si no esta en la lista de cerrados
                         if (Astar->space[x][y][z] == 0 && find_indexC ==-1)
39
40
                             // busca en la lista de abiertos
41
                             find_indexA = find_int(Astar->ID[x][y][z], Astar->
                                 lenA, Astar->ListaA, 0);
                             if (find_indexA == -1)
42
43
44
                                  if (Astar->pausar == 1)
45
46
                                      Astar -> H[x][y][z] =
47
                                      calcule_cost((Astar->muestras)-1, Astar->y,
                                          Astar->r, dt,2);
48
                                      Astar -> G[x][y][z] = Astar -> G[Astar -> X1][
                                          Astar->Y1][Astar->Z1] + sqrtf(powf(x-
                                          Astar \rightarrow X1, 2) + powf(y - Astar \rightarrow Y1, 2) + powf(z -
                                          Astar->Z1,2));
```



```
49
                                     Astar -> F[x][y][z] = Astar -> G[x][y][z] +
                                         Astar->H[x][y][z];
                                      Astar->padre[x][y][z] = Astar->ID[Astar->X1
50
                                         ][Astar->Y1][Astar->Z1];
51
                                      Astar->lenA++;
                                      Astar->ListaA[Astar->lenA-1] = Astar->ID[x
52
                                         ][y][z];
                                      Astar->ListaAF[Astar->lenA-1] = Astar->F[x
53
                                         ][y][z];
54
                                      Astar->pausar = 0;
55
                                      Astar-> iter[0] ++;
                                 }
56
57
                                 else
58
                                 {
59
                                     Astar->pausar = 1;
60
                                      salir = 1;
61
                                 }
                             }
62
                             else
63
64
                             {
65
                                 G = Astar->G[Astar->X1][Astar->Y1][Astar->Z1] +
                                      sqrtf(powf(x-Astar->X1,2)+powf(y-Astar->Y1
                                     ,2)+powf(z-Astar->Z1,2));
66
                                 if (G < Astar->G[x][y][z] )
67
                                 {
68
                                      Astar -> G[x][y][z] = G;
                                      Astar->padre[x][y][z] = Astar->ID[Astar->X1
69
                                         ][Astar->Y1][Astar->Z1];
70
                                      Astar - F[x][y][z] = Astar - G[x][y][z] +
                                         Astar->H[x][y][z];
                                      Astar->ListaAF[find_indexA] = Astar->F[x][y
71
                                         ][z];
72
                                 }
73
                             }
                         }
74
75
                         if ((((Astar->cont-1)%(27))>((cont_next-1)%(27)) &&
                            Astar->pausar == 0)||Astar->cont == 0)
76
                         {
77
                             ID_XYZ = find(min_v(Astar->lenA, Astar->ListaAF),
                                 Astar->lenA, Astar->ListaAF, 0);
78
                             if
                                 (ID_XYZ !=-1)
79
                             {
80
                                 ZYX = Astar->ListaA[ID_XYZ];
81
                                 Astar->Z1 = (int) (ZYX / Astar->cifras[2]);
                                 YX = ZYX - Astar->Z1 * Astar->cifras[2];
82
83
                                 Astar->Y1 = (int) YX / Astar->cifras[1];
                                 Astar->X1 = YX - Astar->Y1 * Astar->cifras[1];
84
85
                                 Astar->lenC++;
                                 Astar->ListaC[Astar->lenC-1] = Astar->ID[Astar
86
                                     ->X1][Astar->Y1][Astar->Z1];
87
                                 lenAF = Astar->lenA;
88
                                 pos = setdiff_int(&Astar->lenA, Astar->ListaA,
                                     Astar -> ID[Astar -> X1][Astar -> Y1][Astar -> Z1]);
89
                                 remove_value_position(&lenAF, Astar->ListaAF,
                                     pos);
90
                                 if (Astar->lenC ==(Astar->dim_x*Astar->dim_y*
                                     Astar->dim_z)){Astar->fin = 1; salir= 1;}
91
                             }
```



```
92
                          if (Astar->pausar == 0){Astar-> cont ++;}
93
                      }
94
95
                      else
96
                      {
97
                          Astar->fin = 1; salir= 1;
98
99
                 }while (salir == 0);
100
                 //Selecciona los nuevos valores de ganacia para la siguiente
                     iteracion
101
                     la funcion menor Costo
                 if (Astar->fin == 1)
102
103
104
                      int out[3];
105
                      findminMatrizR3(Astar->dim_x, Astar->dim_y, Astar->dim_z,
                         Astar->H, out);
106
                      if (out[0]!=-1)
107
                      {
108
                          pid->Gains[0] = Astar->Kp_values[out[0]];
109
                          pid->Gains[1] = Astar->Ki_values[out[2]];
110
                          pid->Gains[2] = Astar->Kd_values[out[1]];
111
                      }
112
                 }
113
                 else
114
                 {
                      pid->Gains[0] = Astar->Kp_values[x];
115
116
                      pid->Gains[1] = Astar->Ki_values[z];
                     pid->Gains[2] = Astar->Kd_values[y];
117
118
119
                 Astar->muestra_i = 0; Astar->enable = 0;
             }
120
             else
121
122
             {
123
                 if (Astar->muestra_i < Astar->muestras-1){Astar->muestra_i ++;}
124
             }
125
         }
126
    }
```

Extracto de código D.7: Función Aestrella.

```
1
   int delimitar_coordenadas(int dim[3], int posActual[3],int iter){
2
            int subiter[3];
            int coord[3];
3
4
            do {
                    contador(iter, subiter);
5
6
                    for (int i = 0; i < 3; ++i){
7
                             coord[i] = (posActual[i]) + subiter[i]-2;
                             if (coord[i] <0 || coord[i] >= dim[i]){iter += (int
8
                                ) powf(3,i);}}
9
            } while (coord[0]<0 || coord[0]>=dim[0] || coord[1]<0 || coord[1]>=
10
               dim[1] || coord[2]<0 || coord[2]>=dim[2]);
11
12
            return iter;
13
   }
```

Extracto de código D.8: Función delimitar\_coordenadas.



Extracto de código D.9: Función contador.



#### **Bibliografía**

- [1] K. Ogata, *Ingenieria de Control Moderna*. Pearson Educación, 2013.
- [2] West Instruments, "Controladores de procesos industriales." 2016. [Online]. Available: http://www.sapiensman.com/tecnoficio/electricidad/instrumentacion\_industrial4.php
- [3] C. Veloso, "Que es el Duty Cycle o ciclo de trabajo de una señal PWM," 2016. [Online]. Available: https://www.electrontools.com/Home/WP/que-es-el-duty-cycle-o-ciclo-de-trabajo/
- [4] Z.-Y. Zhao, M. Tomizuka, and S. Isaka, "Fuzzy gain scheduling of pid controllers," *IEEE transactions on systems, man, and cybernetics*, vol. 23, no. 5, pp. 1392–1398, 1993.
- [5] R. S. E. Bustos and F. E. L. Alvarado, "Diseño e implementación de los sistemas de instrumentación, comunicaciones y control de un sistema multitanque," B.S. Thesis, Universidad de Cuenca, 2018. [Online]. Available: http://dspace.ucuenca.edu.ec/handle/123456789/31493
- [6] BACOENG, "VITON Brass Solenoid Valve," 2022. [Online]. Available: https://bacoeng.com/products/bacoeng-1-4-dc12v-solenoid-valve1-4-3-8-1-2-3-4-dc12v-ac100v-220v-available
- [7] U.S. Solid, "Motorized Ball Valve in Stainless Steel- 3/4 inch Full port Electrical Ball Valve with a 3 Wire, 9-24V Setup," 2022. [Online]. Available: https://ussolid.com/u-s-solid-mot orized-ball-valve-3-4-stainless-steel-electrical-ball-valve-with-full-port-9-24-v-ac-dc-3-w ire-setup.html
- [8] L. Llamas, "Medir Distancia Con Arduino Y Sensor De Ultrasonidos Hc-Sr04," p. 1, 2017.
  [Online]. Available: https://www.luisllamas.es/medir-distancia-con-arduino-y-sensor-de-ultrasonidos-hc-sr04/
- [9] AliExpress, "Interruptor de Sensor de flujo de agua G1/2", medidor de flujo, contador de 1 30L/min|water flow|flow meterwater flow hall sensor," 2010-2022. [Online]. Available: https://es.aliexpress.com/item/2052758715.html
- [10] ST, "User manual STM32 Nucleo-144 boards," 2022, [Online]. Available: https://www.st.c om/en/evaluation-tools/nucleo-f413zh.html and https://www.digikey.com/en/products/de tail/stmicroelectronics/NUCLEO-F413ZH/6559189.

[11] Mecatronium, "Módulo Relay, 4 canales 5VDC," p. 1, 2017. [Online]. Available: https://naylampmechatronics.com/drivers/152-modulo-relay-4-canales-5vdc.html

- [12] UNIT Electronics, "Convertidor de PWM a Voltaje Analógico 0-10V PLC," 2016. [Online]. Available: https://uelectronics.com/producto/convertidor-de-pwm-a-voltaje-analogico-0-1 0v-plc/
- [13] A. Rosillo Meseguer, "Capítulo 6: Sintonía experimental de controladores." Universidad Politécnica de Cartagena, 2008. [Online]. Available: https://repositorio.upct.es/handle/1 0317/174
- [14] O. A. Orozco and V. M. A. Ruiz, "Sintonización de controladores pi y pid utilizando los criterios integrales iae e itae," *Ingeniería. Revista de la Universidad de Costa Rica*, vol. 13, no. 1-2, pp. 31–39, 2003.
- [15] E. P. Bazzetti de los Santos, "Diseño de un controlador PID con autosintonía basado en un modelo de redes neuronales dinámicas y control adaptativo." *Universidad Ricardo Palma*, p. 149, 2019. [Online]. Available: https://repositorio.urp.edu.pe/handle/20.500.14138/1516
- [16] S. Russell and P. Norvig, Artificial Intelligence: A Modern Approach, 3rd ed. Prentice Hall, 2010.
- [17] R. Kurzweil, R. Richter, R. Kurzweil, and M. L. Schneider, *The age of intelligent machines*. MIT press Cambridge, 1990, vol. 580.
- [18] N. J. Nilsson and N. J. Nilsson, *Artificial intelligence: a new synthesis*. Morgan Kaufmann, 1998.
- [19] D. Poole, A. Mackworth, and R. Goebel, "Computational intelligence: a logical approach. 1998," *Digital Library*, 1998.
- [20] J. Haugeland, Artificial intelligence: The very idea. MIT press, 1989.
- [21] R. Bellman, Artificial Intelligence: Can Computers Think? Course Technology, 1978.
- [22] E. Charniak and D. McDermott, "Introduction to artificial," *Intelligence (Addison Wesley, Reading, MA, 1984)*, 1985.
- [23] P. H. Winston, Artificial intelligence. Addison-Wesley Longman Publishing Co., Inc., 1992.
- [24] L. A. Zadeh, "Fuzzy sets, department of electrical engineering and electrics research laboratory," *University of California, Berkeley, California*, 1965.

[25] C. Eduardo, E. L. De Vito *et al.*, "Introducción al razonamiento aproximado: lógica difusa," *Revista Americana de Medicina Respiratoria*, vol. 6, no. 3, pp. 126–136, 2006.

- [26] O. G. Duarte, "Sistemas de lógica difusa: fundamentos," *Ingeniería e Investigación*, pp. 22–30, 1999.
- [27] H. T. Nguyen, C. Walker, and E. A. Walker, *A first course in fuzzy logic*. Chapman and Hall/CRC, 2018.
- [28] F. Vidal-Verdu, A. Rodríguez-Vázquez, and B. Linares-Barranco, "Circuits and algorithms for adaptive neuro-fuzzy analog chips," in *Proceedings of the Fourth International Con*ference on Microelectronics for Neural Networks and Fuzzy Systems. IEEE, 1994, pp. 331–338.
- [29] L. A. Zadeh, "The concept of a linguistic variable and its application to approximate reasoning—i," *Information sciences*, vol. 8, no. 3, pp. 199–249, 1975.
- [30] —, "Fuzzy logic and approximate reasoning," *Synthese*, vol. 30, no. 3, pp. 407–428, 1975.
- [31] C. G. Morcillo, "Lógica difusa una introducción práctica: Técnicas de soft computing," p. 21, 2015. [Online]. Available: https://www.esi.uclm.es/www/cglez/downloads/docencia/2011\_Softcomputing/LogicaDifusa.pdf
- [32] L. A. Gutiérrez Álvarez, "Metodología de identificación difusa basada en el estudio de controlabilidad de sistemas dinámicos," *Facultad de Ciencias Físicas y Matemáticas*, 2016.
- [33] Jesus Alfonso Lopez, "Lógica Difusa: Introduccion y conceptos basicos," p. 12, 2003. [Online]. Available: https://members.tripod.com/jesus\_alfonso\_lopez/FuzzyIntro2.html
- [34] F. O. Tellez, "Control con Lógica Difusa: Control difuso," *Facultad de Ingeniería Eléctrica*, pp. 1–27, 2018.
- [35] D. A. Almeida Viteri, "Simulación digital de un control difuso para el problema de la bola suspendida," B.S. thesis, Quito: EPN, 2001.
- [36] M. V. Espí, "Un nuevo algoritmo para la optimación de estructuras: el recocido simulado," *Informes de la Construcción*, vol. 46, no. 436, pp. 49–69, 1995.
- [37] J. H. Wilches-Visbal and A. Martins Da Costa, "Algoritmo de recocido simulado generalizado para matlab," *Ingeniería y Ciencia*, vol. 15, no. 30, pp. 117–140, 2019.

[38] K. A. Dowsland and B. A. Díaz, "Diseño de heurística y fundamentos del recocido simulado," *Inteligencia Artificial. Revista Iberoamericana de Inteligencia Artificial*, vol. 7, no. 19, p. 0, 2003.

- [39] R. Marin and P. Jose, *Inteligencia artificial. Técnicas, métodos y aplicaciones*. McGraw-Hill Interamericana de España S.L., 2008. [Online]. Available: https://books.google.com.ec/books?id=cB8PPwAACAAJ
- [40] J. d. C. P. Abarca, J. E. Urbano, and B. M. Bahena, "Esquema de enfriamiento en la metaheurística de recocido simulado," *Inventio. La génesis de la cultura universitaria en Morelos*, 2019.
- [41] P. E. Hart, N. J. Nilsson, and B. Raphael, "the Heuristic Determination," *IEEE Transactions of systems science and cybernetics*, pp. 100–107, 1968.
- [42] W. J. Seo, S. H. Ok, J. H. Ahn, S. Kang, and B. Moon, "An efficient hardware architecture of the A-star algorithm for the shortest path search engine," NCM 2009 - 5th International Joint Conference on INC, IMS, and IDC, pp. 1499–1502, 2009.
- [43] C. Malagón, "Búsqueda heurística," *Universidad de Nebrija*, pp. 1–25, 2017.
- [44] N. Minorsky, "Directional stability of automatically steered bodies," *Journal of the American Society for Naval Engineers*, vol. 34, no. 2, pp. 280–309, 1922.
- [45] M. A. Moreno, "Apuntes de control pid," La Paz Enero, vol. 8, pp. 6-7, 2001.
- [46] M. A. Johnson and M. H. Moradi, *PID control*. Springer, 2005.
- [47] Carlos Pardo Martín, "Controlador PID Control Automático," 2018. [Online]. Available: https://www.picuino.com/ sources/es/control-pid.rst.txt
- [48] V. Mazzone, "Controladores pid," Quilmes: Universidad Nacional de Quilmes, 2002.
- [49] A. Lopez, "Tuning controllers with error-integral criteria," *Instrumentation Technology*, vol. 14, pp. 57–62, 1967.
- [50] J. Villajulca, "Control ON/OFF o Todo/Nada Instrumentacion y Automatizacion Industrial," 2019. [Online]. Available: https://instrumentacionycontrol.net/control-on-off-o-todo-nada/
- [51] E. M. A. Perona, "Sistemas Conceptos de control," Instituto Politécnico Nacional, p. 54, 2016. [Online]. Available: http://dea.unsj.edu.ar/cea1/Sistemas.pdf

[52] O. Serrano-Pérez, M. G. Villarreal-Cervantes, J. C. González-Robles, and A. Rodríguez-Molina, "Meta-heuristic algorithms for the control tuning of omnidirectional mobile robots," *Engineering Optimization*, 2019.

- [53] H. Taghavifar and B. Li, "Pso-fuzzy gain scheduling of pid controllers for a nonlinear half-vehicle suspension system," *SAE International Journal of Passenger Cars-Mechanical Systems*, vol. 12, no. 1, pp. 5–21, 2019.
- [54] A. Mewara and G. Parmar, "Comparison of de optimized pid controllers for agc of interconnected power system," in 2017 International Conference on Computer, Communications and Electronics (Comptelix). IEEE, 2017, pp. 178–182.
- [55] R. J. M. Ordoñez, "Sintonización de un controlador pid utilizando algoritmos genéticos aplicada a una planta concentradora de cobre," Thesis, Pontificia Universidad Catolica del Peru-CENTRUM Catolica (Peru), 2021.
- [56] Z. Yachen and H. Yueming, "On pid controllers based on simulated annealing algorithm," in 2008 27th Chinese control conference. IEEE, 2008, pp. 225–228.
- [57] J. G. Hoyos, J. E. Cardona, and R. Arango, "Control en línea con algoritmos genéticos y recocido simulado," *Scientia et technica*, vol. 1, no. 35, 2007.
- [58] L. F. Fraga-Gonzalez, R. Q. Fuentes-Aguilar, A. Garcia-Gonzalez, and G. Sanchez-Ante, "Adaptive simulated annealing for tuning pid controllers," *AI Communications*, vol. 30, no. 5, pp. 347–362, 2017.
- [59] J. Jantzen, Foundations of Fuzzy Control: A Practical Approach. Wiley, 2013. [Online]. Available: https://books.google.com.ec/books?id=nlEuBjPvjxQC
- [60] M. Emarah, "Design of gain scheduled fuzzy PID controller for multi-link robot manipulators," *IOP Conference Series: Materials Science and Engineering*, vol. 973, no. 1, 2020.
- [61] I. M. Mehedi, H. S. Shah, U. M. Al-Saggaf, R. Mansouri, and M. Bettayeb, "Fuzzy pid control for respiratory systems," *Journal of Healthcare Engineering*, vol. 2021, 2021.
- [62] R. Wen and M. Tong, "Mecanum wheels with astar algorithm and fuzzy pid algorithm based on genetic algorithm," in 2017 International Conference on Robotics and Automation Sciences (ICRAS). IEEE, 2017, pp. 114–118.
- [63] O. A. R. A. Wahhab and A. S. Al-Araji, "Path planning and control strategy design for mobile robot based on hybrid swarm optimization algorithm," *International Journal of Intelligent Engineering and Systems*, vol. 14, no. 3, pp. 565–579, 2021.

[64] A. Yufka and A. YAZICI, "An intelligent pid tuning method for an autonomous mobile robot," in *International workshop on Unmanned vehicles*, 2010, pp. 130–133.

- [65] Z. Asani and S. Rexhepi, "Designing a controller via Simulated Annealing," in *UBT International Conference*, University of Tetova. Macedonia: Faculty of Applied Sciences, 2018, p. 8. [Online]. Available: https://knowledgecenter.ubt-uni.net/conference/2018/all-events/337/
- [66] M. Jain, V. Singh, and A. Rani, "Performance Analysis of Multi-objective Genetic Algorithm Tuned PID Controller for Process Control," *International Journal on Advanced Computer Theory and Engineering*, vol. 1, no. 2, pp. 2319–2526, 2013.
- [67] L. A. Armijos and D. R. Chicaiza, "Diseño e implementación de controladores inteligentes en el control de nivel de un sistema multi-tanque," Thesis, Escuela Politécnica del Ejército, Sangolquí, 2011. [Online]. Available: http://repositorio.espe.edu.ec/bitstream/21 000/4945/1/T-ESPE-033010.pdf
- [68] F. I. Robayo, A. M. Barrera, and L. C. Polanco, "Desarrollo de un controlador basado en redes neuronales para un sistema multivariable de nivel y caudal," *Ingeniería y Región*, pp. 43–54, 2015.
- [69] STMicroelectronics, "STM32 32-bit ARM Cortex MCUs STMicroelectronics," 2014.
  [Online]. Available: https://www.st.com/en/microcontrollers-microprocessors/stm32-32-bit-arm-cortex-mcus.html
- [70] J. Zhang, H. Li, K. Ma, L. Xue, B. Han, Y. Dong, Y. Tan, and C. Gu, "Design of pid temperature control system based on stm32," *IOP Conference Series: Materials Science and Engineering*, vol. 322, no. 7, p. 072020, 2018.
- [71] J. Yan, W. Chen, and X. Hou, "Adaptive water temperature control system based on stm32," in *International Conference on Electronic Information Technology (EIT 2022)*, vol. 12254. SPIE, 2022, pp. 175–181.
- [72] B. Zhou and J. Zhang, "Design of dc motor pid control system based on stm32 single chip microcomputer," *International Core Journal of Engineering*, vol. 6, no. 7, pp. 62–67, 2020.
- [73] X. Cai, S. Cui, L. He, Y. Zhang, Y. Wang, and X. Lv, "Research on automatic ph control system of nutrient solution in smart plant factory based on stm32," in 2020 IEEE 9th Joint International Information Technology and Artificial Intelligence Conference (ITAIC), vol. 9. IEEE, 2020, pp. 1837–1840.

[74] V. M. Sandeep, "When and why to use P, PI, PD and PID Controller?" 2021. [Online]. Available: https://medium.com/@svm161265/when-and-why-to-use-p-pi-pd-and-pid-con troller-73729a708bb5

- [75] M. K. Heris, "Simulated Annealing in MATLAB Yarpiz," 2015. [Online]. Available: https://yarpiz.com/223/ypea105-simulated-annealing
- [76] S. A. Castaño Giraldo, "Todo sobre Ziegler Nichols Sintonia de Control PID," 2019. [Online]. Available: https://controlautomaticoeducacion.com/control-realimentado/ziegle r-nichols-sintonia-de-control-pid/
- [77] M. Criollo, "michaelcriollo98/PID-GS-MATLAB: Algoritmos GS-PID en Matlab," Sep. 2022, uRL https://doi.org/10.5281/zenodo.7084111 and https://github.com/michaelcriollo98/PI D-GS-MATLAB.git.
- [78] ——, "michaelcriollo98/PID-GS-STM32CubeIDE: Algoritmos **GS-PID** en STM32CubeIDE," Sep. 2022, uRL https://doi.org/10.5281/zenodo.7084121 and https://github.com/michaelcriollo98/PID-GS-STM32CubeIDE.git.



#### **Anexos**

# Anexo A: Diseño de los tanques, armazón de la planta del sistema multitanque y tablero de control

En este anexo, se presentan las láminas técnicas del diseño de la planta del sistema multitanque (tanques de reserva y tanque de bombeo); así como el montaje completo del sistema (armazón, tuberías, sensores y actuadores) elaborado por los autores de [5] . Además, se presentan las laminas técnicas del tablero de control construido.

